### **ARBEITSGEMEINSCHAFT**



DR. BRENNER INGENIEURGESELLSCHAFT MBH

# ERARBEITUNG EINER INTEGRATIVEN VERKEHRLICHEN UND STÄDTEBAULICHEN KONZEPTION FÜR DAS LEIPZIGER DREIECK IN DER LANDESHAUPTSTADT POTSDAM (FORTSCHREIBUNG 2014)

### - VERKEHRS- UND LUFTSCHADSTOFFTECHNISCHE UNTERSUCHUNG -



### **Endbericht**

Im Auftrag der



Stadtverwaltung der Landeshauptstadt Potsdam Fachbereich Grün- und Verkehrsflächen Bereich Verkehr und Technik (475)

### ERARBEITUNG EINER INTEGRATIVEN VERKEHRLICHEN UND STÄDTE-BAULICHEN KONZEPTION FÜR DAS LEIPZIGER DREIECK IN DER LAN-DESHAUPTSTADT POTSDAM (FORTSCHREIBUNG 2014): VERKEHRS- UND LUFTSCHADSTOFFTECHNISCHE UNTERSUCHUNG

**Endbericht** 

Auftraggeber:

Landeshauptstadt Potsdam

Geschäftsbereich 4 Fachbereich Grün- und Verkehrsflächen Bereich Verkehr und Technik Hegelallee 6-10

Hegelallee 6-10 14467 Potsdam

Auftragnehmer:

ARBEITSGEMEINSCHAFT

DR. BRENNER INGENIEURGESELLSCHAFT MBH

BERNARD Gruppe Niederlassung Berlin Nordlichtstraße 17 13405 Berlin

Tel.: 030 . 41 77 99 0 Fax: 030 - 41 77 99 33

info.berlin@brenner-ingenieure.de Ansprechpartner: Dipl.-Ing. Matthias Eirich

und

STADT + VERKEHR

Ingenieurbüro Terfort Gutenbergstr. 76 14467 Potsdam

Tel.: 03 31 . 200 27 30 Fax: 03 31 . 200 27 31

Email: terfort@stadtundverkehr.de

Ansprechpartner: Dipl.-Ing. Thorsten Terfort

Potsdam, den 03.07.2014

### **ARBEITSGEMEINSCHAFT**



Ingenieurbüro Terfort



# ERARBEITUNG EINER INTEGRATIVEN VERKEHRLICHEN UND STÄDTEBAULICHEN KONZEPTION FÜR DAS LEIPZIGER DREIECK IN DER LANDESHAUPTSTADT POTSDAM (FORTSCHREIBUNG 2014)

### - TEIL 1: VERKEHRSTECHNISCHE UNTERSUCHUNG -



### **Endbericht**

Im Auftrag der



Stadtverwaltung der Landeshauptstadt Potsdam Fachbereich Grün- und Verkehrsflächen Bereich Verkehr und Technik (475)

### ERARBEITUNG EINER INTEGRATIVEN VERKEHRLICHEN UND STÄDTEBAULICHEN KONZEPTION FÜR DAS LEIPZIGER DREIECK IN DER LANDESHAUPTSTADT POTSDAM (FORTSCHREIBUNG 2014)

Teil 1: Verkehrstechnische Untersuchung

Endbericht

Auftraggeber:

Arbeitsgemeinschaft:

Landeshauptstadt Potsdam

Geschäftsbereich 4
Fachbereich Grün- und Verkehrsflächen
Bereich Verkehr und Technik
Hegelallee 6-10
14467 Potsdam

DR. BRENNER INGENIEURGESELLSCHAFT MBH

BERNARD Gruppe Niederlassung Berlin Nordlichtstraße 17 13405 Berlin

Tel.: 030 . 41 77 99 0 Fax: 030 - 41 77 99 33

info.berlin@brenner-ingenieure.de

Ansprechpartner: Dipl.-Ing. Matthias Eirich

### STADT + VERKEHR

Ingenieurbüro Terfort Gutenbergstr. 76 14467 Potsdam

Tel.: 03 31 . 200 27 30 Fax: 03 31 . 200 27 31

Email: terfort@stadtundverkehr.de

Ansprechpartner: Dipl.-Ing. Thorsten Terfort

Potsdam, den 03.07.2014

### **INHALTSVERZEICHNIS**

l	Einleitung	1
1.1	Ausgangslage und Zielsetzung	1
1.2	Räumliche Abgrenzung des Untersuchungsraumes	2
1.3	Arbeitsprogramm und Untersuchungsmethodik	2
2	Bestandsaufnahme und -analyse	5
2.1	Planungsvorgaben	5
2.1.1	Bebauungsplan Nr. 36-1 'Speicherstadt/Leipziger Straße'	5
2.1.2	Bebauungsplan Nr. 36-2 ´Leipziger Straße/Brauhausberg´	5
2.1.3	Gebäudeplanung 'Sport- und Freizeitbad'	6
2.1.4	Außenanlagenplanung 'Sport- und Freizeitbad'	6
2.2	Verkehrsanalyse und -prognose	8
2.2.1	Verkehrsanalyse	8
2.2.2	Verkehrsprognose	8
3	Bestehende Verkehrsstruktur	9
3.1	Verkehrsangebot	9
3.2	Verkehrsnachfrage	10
1	Ermittlung der zukünftigen Verkehrsnachfrage	12
1.1	Verkehrserzeugung	12
1.1.1	Sport- und Freizeitbad/Wohngebiet Am Brauhausberg	12
4.1.1.1	Sport- und Freizeitbad (Tiefgarage)	13
1.1.1.2	Wohngebiet 'Am Brauhausberg' und Sport- und Freizeitbad (ebenerdige Stellplätze)	15
1.1.2	Speicherstadt	15
1.2	Verkehrsverteilung	19

Erarbeitung einer integrativen verkehr- und städtebaulichen Konzeption für das Leipziger Dreieck in Potsdan
Teil 1: Verkehrstechnische Untersuchung (Endbericht)

6	Fazit	32
5.4	KPx Leipziger Str./Planstr. B.3 (Speicherstadt)/Tiefgaragenzu- und -ausfahrt (SFB)	31
5.3	KP 412 Straße Brauhausberg/Max-Planck-Straße/Albert-Einstein-Straße	30
5.2	KP 411 Heinrich-Mann-Allee/Straße Brauhausberg	30
5.1	KP 410 Lange Brücke/Leipziger Straße/Heinrich-Mann-Allee/Friedrich-Engels-Straße	29
5	Wirkungsanalyse	29
4.3.2	Verkehrsführungs- und Gestaltungsvariante 2	24
4.3.1	Verkehrsführungs- und Gestaltungsvariante 1	23
4.3	Verkehrsumlegung	19
4.2.2	Quellverkehr	19
4.2.1	Zielverkehr	19

**Anhang I:** Bewertung der Verkehrsqualität im MIV differenziert nach Verkehrsführungs-/Gestaltungsvarianten und Knotenpunkte

### **ABKÜRZUNGSVERZEICHNIS**

DTV/24 Std.: durchschnittlich tägliche Verkehrsbelastung in Kfz/24 Std.

FSP: Frühspitzenstunde

Kfz: Kraftfahrzeuge

KP: Knotenpunkt

LSA: Lichtsignalanlage

MIV: Motorisierter Individualverkehr

NMIV: Nicht motorisierter Individualverkehr

NSP: Nachmittagsspitzenstunde

ÖPNV: Öffentlicher Personennahverkehr

SFB: Sport- und Freizeitbad

QSV: Verkehrsqualitätsstufen

ZOB: Zentraler Omnibusbahnhof

### **ABBILUNGSVERZEICHNIS**

Abb. 1: Untersuchungsgebiet	ı
Abb. 2: Untersuchungsmethodik	3
Abb. 3: B-Plan Nr. 36-1 'Speicherstadt/Leipziger Straße'	5
Abb. 4: B-Plan Nr. 36-1 Leipziger Straße/Brauhausberg´	6
Abb. 5: Gebäudeplanung 'Sport- und Freizeitbad': Tiefgarage	7
Abb. 6: Außenanlagenplanung 'Sport- und Freizeitbad'	7
Abb. 7: Durchschnittliche tägliche Querschnittsverkehrsbelastung in Kfz/24 Std.: Status-Quo	10
Abb. 8: KP 410 und 411 Früh- und Nachmittagsspitzenstundenbelastung in Kfz/Std.: Status-Qu	o 11
Abb. 9: KP 412 Früh- und Nachmittagsspitzenstundenbelastung in Kfz/Std.: Status-Quo	11
Abb. 10: Neubau KP Leipziger Str./Planstr. B.3 (Speicherstadt Nord)/Tiefgaragenzu- und –ausfa (SFB): Verkehrsführungs- und Gestaltungsvariante 1	ahrt 20

Abb. 11: Umbau KP 412 Str. Brauhausberg/Albert-Einstein-Str./Max-Planck-Str.: Verkehrsführungs- und Gestaltungsvariante 1	20
Abb. 12: Umbau der Leipziger Str. zwischen Persiusspeicher und KP 410: Verkehrsführungs- Gestaltungsvariante 2	und 22
Abb. 13: Umbau des Leipziger Dreiecks: Verkehrsführungs- und Gestaltungsvariante 2	23
Abb. 14: Durchschnittliche tägliche Querschnittsverkehrsbelastung in Kfz/24 Std.: Verkehrsführungs- und Gestaltungsvariante 1	25
Abb. 15: Früh- und Nachmittagsspitzenstundenbelastung in Kfz/Std. in Knotenpunktbereichen Verkehrsführungs- und Gestaltungsvariante 1	: 26
Abb. 16: Durchschnittliche tägliche Querschnittsverkehrsbelastung in Kfz/24 Std.: Verkehrsführungs- und Gestaltungsvariante 2	27
Abb. 17: Früh- und Nachmittagsspitzenstundenbelastung in Kfz/Std. in Knotenpunktbereichen Verkehrsführungs- und Gestaltungsvariante 2	: 28
Abb. 18: Prüfung der knotenpunktbezogenen Verkehrsqualität: Status-Quo und Verkehrsführu sowie Gestaltungsvariante 1 und 2	ings- 30
TARELLENVERZEIGUNIG	
TABELLENVERZEICHNIS	
Tab. 1: Ziel- und Quellverkehrsaufkommen des Sport- und Freizeitbades sowie des Wohngeb ´Am Brauhausberg´ differenziert nach Verkehrszwecken in Kfz/24 Std.	ietes 13
Tab. 2: Tagesganglinien des mittleren Ziel- und Quellverkehrsaufkommens der Tiefgarage de Sport- und Freizeitbades differenziert nach Verkehrszwecken in Kfz/Std.	s 14
Tab. 3: Tagesganglinien des mittleren Quellverkehrsaufkommens des Wohngebietes 'Am Brauhausberg' und der ebenerdigen Stellplätze des SFB differenziert nach Verkehrszwecken in Kfz/Std.	16
Tab. 4: Tagesganglinien des mittleren Zielverkehrsaufkommens des Wohngebietes ´Am Brauhausberg´ und der ebenerdigen Stellplätze des SFB differenziert nach Verkehrszwecken in Kfz/Std.	17
Tab. 5: Ziel- und Quellverkehrsaufkommen der Speicherstadt differenziert nach Verkehrszwed in Kfz/24 Std.	ken 18
Tab. 6: Tagesganglinien des mittleren Ziel- und Quellverkehrsaufkommens der Speicherstadt	

18

### 1 Einleitung

### 1.1 Ausgangslage und Zielsetzung

Im Rahmen der nachhaltigen Quartiersentwicklung plant die Landeshauptstadt Potsdam die städtebauliche Revitalisierung des nördlichen Standortes der 'Speicherstadt' und des angrenzenden 'Brauhausberges' sowie die Optimierung der intermodalen Verkehrs- und Erschließungsqualität im Bereich des 'Leipziger Dreckecks' mit dem angebundenen Hauptstraßennetz (vgl. Abb. 1).



Abb. 1: Untersuchungsgebiet

Quelle: ARGE STADT+VERKEHR/DR. BRENNER Ing.-GmbH

Die Grundlage für die städtebauliche und verkehrliche Neuordnung des innerstädtischen Quartiers erfordert die Entwicklung und Festschreibung eines integrierten planerischen Orientierungs- und Handlungsrahmens in Vorbereitung der Durchführung des baurechtlichen Verfahrens für die Umsetzung der entsprechenden zukünftigen Bebauungsplanung.

Ausgehend von dem vorstehend genannten Planungshintergrund ist es das Ziel, im Rahmen der Fortschreibung der vorliegenden integrierten verkehrsplanerischen und städtebaulichen Konzeption (Stand 26.10.2011) den favorisierten verkehrstechnische, -organisatorische und gestalterische Lösungsansatz für die zukünftige Bereichsverkehrserschließung im Hinblick auf die aktuellen Erschließungsanforderungen des geplanten Neubaus eines Sport- und Freizeitbades/Wohngebiet 'Am Brauhausberg' und der Speicherstadt unter dem Aspekt der Verkehrsqualität zu prüfen.

Entsprechend dem integrativen Planungsansatz wird der Entwicklung und Bewertung von alternativen Verkehrsführungs- und Gestaltungsvarianten das folgende Zielsystem zugrunde gelegt:

- Stärkung des Umweltverbundes und Optimierung der Verkehrsqualität für den Radund Fußgängerverkehr sowie den straßen- und schienengebundenen öffentlichen Personennahverkehr.
- Reduzierung der Luft- und Lärmbelastung.
- Sicherstellung der lokalen und überörtlichen Verkehrserschließung im motorisierten Individual- und Wirtschaftsverkehr.
- Sicherstellung der inneren und äußeren Verkehrserschließung der angrenzenden bestehenden und geplanten Quartiere.

### 1.2 Räumliche Abgrenzung des Untersuchungsraumes

Im Rahmen einer großräumigen Betrachtungsweise wird im Zuge der Fortschreibung der Konzeption für das Leipziger Dreieck der Untersuchungsrahmen auf die folgende Knotenpunkte mit den angebundenen Straßenabschnitten und Teilquartieren begrenzt.

- KPxLeipziger Straße/Planstraße B.3 (Speicherstadt Nord)/Tiefgaragenzu- und –ausfahrt (SFB),
- KP 410 Lange Brücke/Leipziger Straße/Heinrich-Mann-Allee/Friedrich-Engels-Straße,
- KP 411 Straße Brauhausberg/Heinrich-Mann-Allee und
- KP 412 Straße Brauhausberg/Max-Planck-Straße/Albert-Einstein-Straße.

### 1.3 Arbeitsprogramm und Untersuchungsmethodik

Der Fortschreibung der integrierten verkehrlichen und städtebaulichen Konzeption für die Neuordnung der Verkehrsverhältnisse im Bereich des Leipziger Dreiecks liegt die nachfolgende Untersuchungsmethodik zugrunde (vgl. Abb.2).

In einem ersten Arbeitsschritt werden im Rahmen der Grundlagenermittlung die vorhandenen nutzungs- und verkehrsrelevanten Planungsvorgaben (B-Pläne, Kenndaten zur Nutzungs- und Verkehrsstruktur, Gebäude- und Außenanlagenplanung, sonstige Fachplanungen) erfasst.

Im Rahmen der Bestandsaufnahme und –analyse werden das Verkehrsangebot und die Verkehrsstruktur im Zuge der betrachteten Streckenabschnitte und Knotenpunkte qualitativ und quantitativ analysiert. Im Einzelnen beinhaltet diese Bearbeitungsphase die folgenden Arbeitsschritte:

- Erfassung/Analyse des bestehenden und zukünftigen Verkehrsangebotes.
- Ermittlung der bestehenden und zukünftigen Verkehrsnachfrage (Verkehrsanalyse und -prognose).

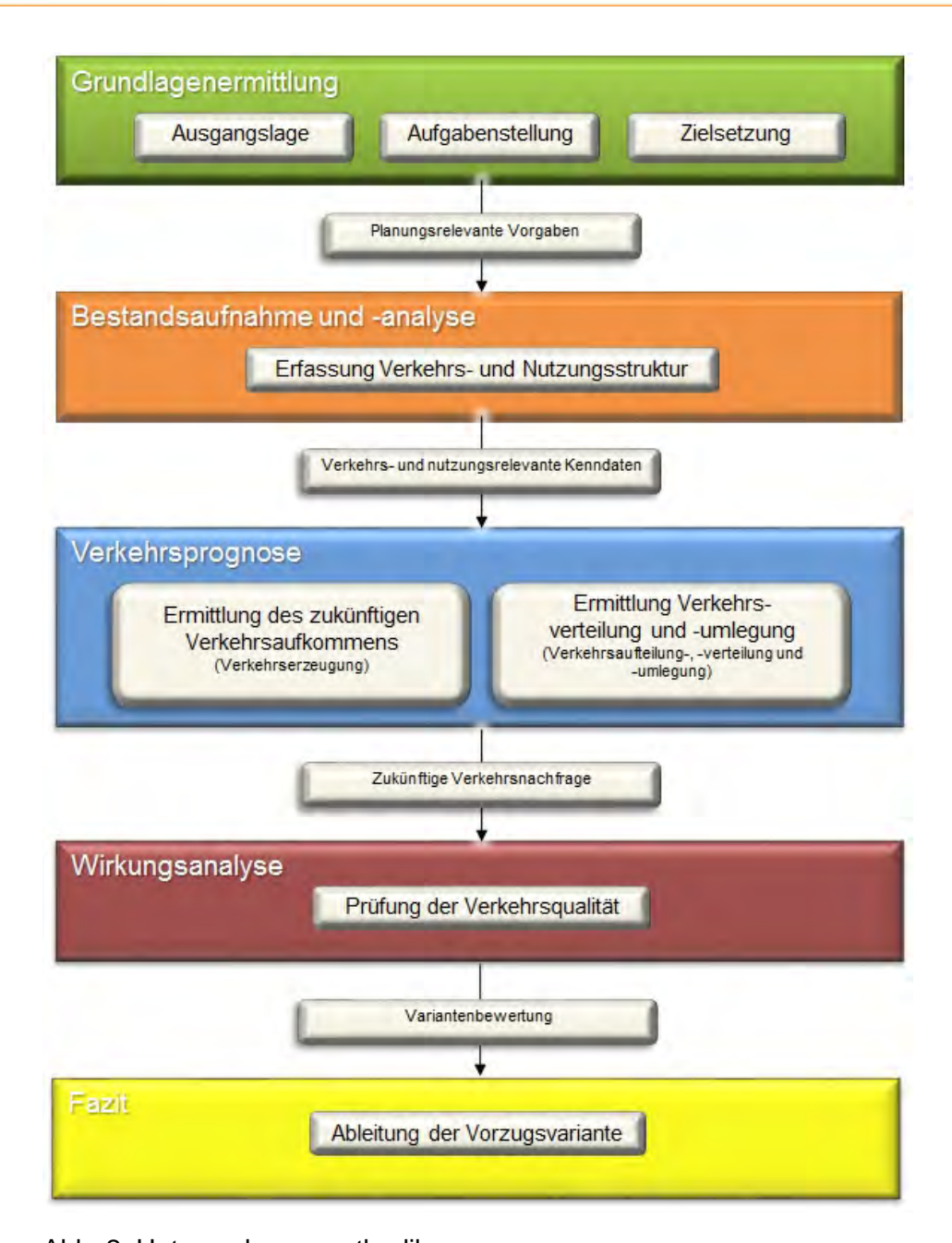


Abb. 2: Untersuchungsmethodik

Aufbauend auf den Ergebnissen der Bestandsaufnahme und -analyse wird in einem nachgeordneten Arbeitsschritt die zukünftige standort- und streckenbezogene Verkehrsnachfrage unter Ansatz:

- der Bestimmung des zukünftigen standortbezogenen Verkehrsaufkommens und der knotenpunkt-/streckenspezifischen Verkehrsbelastung sowie
- der Aufteilung, Verteilung und Umlegung des Verkehrs

unter Ansatz verschiedener Verkehrsführungs- und Gestaltungsvarianten ermittelt.

Auf der Grundlage der Ergebnisse der Verkehrsprognose erfolgt in einer nachfolgenden Bearbeitungsphase die Prüfung der Verkehrsqualität im Bereich der vorstehend genannten Knotenpunkte.

In einem abschließenden Arbeitsschritt wird im Ergebnis der Wirkungsanalyse die Vorzugsvariante für die zukünftige Gestaltung der Verkehrserschließungssysteme im Bereich des Leipziger Dreiecks definiert.

### 2 Bestandsaufnahme und -analyse

### 2.1 Planungsvorgaben

Für die Erarbeitung der integrierten verkehrlichen und städtebaulichen Konzeption für das Leipziger Dreieck lassen sich verkehrs- und nutzungsrelevante Planungsvorgaben aus den nachfolgenden Untersuchungen ableiten.

### 2.1.1 Bebauungsplan Nr. 36-1 'Speicherstadt/Leipziger Straße'

Auf der Grundlage der Festsetzungen des B-Planes Nr. 36-1 'Speicherstadt/Leipziger Straße' der STADTVERWALTUNG POTSDAM (Stand: 23.10.2013) ist u.a. nördlich des Standortes des geplanten Sport- und Freizeitbades die Anbindung des Straßenerschließungssystems der nördlichen Speicherstadt im Zuge der Planstraße B3 im Zuge der Leipziger Straße geplant (vgl. Abb. 3).



Abb. 3: B-Plan Nr. 36-1 'Speicherstadt/Leipziger Straße'

Quelle: Stadtverwaltung Potsdam

### 2.1.2 Bebauungsplan Nr. 36-2 'Leipziger Straße/Brauhausberg'

Im Rahmen der Erarbeitung des B-Plan Nr. 36-2 (Stand: 17.06.2014) werden die folgenden verkehrs- und nutzungsspezifischen Vorgaben für die zukünftige Standortentwicklung definiert (vgl. Abb. 4):

- Errichtung eines Sport- und Freizeitbades nördlich der Max-Planck-Straße, südlich der Leipziger Straße, westlich der Heinrich-Mann-Allee und der Straße Brauhausberg.
- Umbau der Max-Planck-Straße mit Anlage einer Wendeanlage im westlichen Straßenabschnitt und mit folgender Querschnittsaufteilung und Dimensionierung:
  - Fahrbahn (6,50 m breit) und
  - straßenbegleitende Gehwege (jeweils 2,25 m breit).



- Anbindung der geplanten Tiefgarage des Sport- und Freizeitbades mittels Anlage einer Zu- und Ausfahrt im Zuge der Leipziger Straße.
- Errichtung eines allgemeinen Wohngebietes im Bereich des bestehenden Standortes des Schwimmbades 'Brauhausberg' und des ehemaligen Restaurants 'Minsk' südlich der Max-Planck-Straße und westlich der Straße Brauhausberg.



Abb. 4: B-Plan Nr. 36-1 Leipziger Straße/Brauhausberg

Quelle: Stadtverwaltung Potsdam

### 2.1.3 Gebäudeplanung 'Sport- und Freizeitbad'

Auf der Basis der vorliegenden Gebäudeplanung für das Sport- und Freizeitbades (Stand: 06.2014), erarbeitet von der GMP Generalplanungsgesellschaft mbH, sind der Erschließung im motorisierten ruhenden/fließenden Verkehr die folgenden Vorgaben zugrunde zu legen (vgl. Abb. 5):

- Sicherstellung der Stellplatznachfrage im Besucherverkehr im Zuge der Errichtung einer Tiefgarage mit 118 Stellplätzen mit Anbindung an die Leipziger Straße im nordwestlichen Bereich des Gebäudes.
- Ausbildung einer leistungsfähigen Zu- und Ausfahrtsrampe mit einer Länge von ca. 60 m im Bereich der Tiefgarage.

### 2.1.4 Außenanlagenplanung 'Sport- und Freizeitbad'

Auf der Grundlage der Außenanlagenplanung für das Sport- und Freizeitbad (Stand: 28.05.2014), erarbeitet von CAPATTISTAUBACH Landschaftsarchitekten, lassen sich die folgenden erschließungsrelevanten Anforderungen für die zukünftige Standortentwicklung ableiten (vgl. Abb. 6):

Sicherstellung der Erschließung im Schüler- und Besucherverkehr mittels Anlage eines zentralen Busparkplatzes mit 4 Stellplätzen im südöstlichen Bereich des Sport- und Freizeitbades mit Anbindung an die Max-Planck-Straße im Zuge einer kombinierten Zu- und Ausfahrt, ca. 45 m entfernt von der westlichen Fußgänger-/Radfahrterfurt im Einmündungsbereich Straße Brauhausberg/Max-Planck-Straße.

- Schaffung eines ergänzenden Angebotes an 31 Kfz- und 11 Motorradstellplätzen durch die Anlage eines ebenerdigen räumlich separierten Parkplatzes nördlich des Busparkplatzes. Die Erschließung der Stellplatzanlage erfolgt im Zuge des Busparkplatzes.
- Ausweisung von weiteren 10 straßenbegleitenden Stellplätzen im nordwestlichen Abschnitt der Max-Planck-Straße.

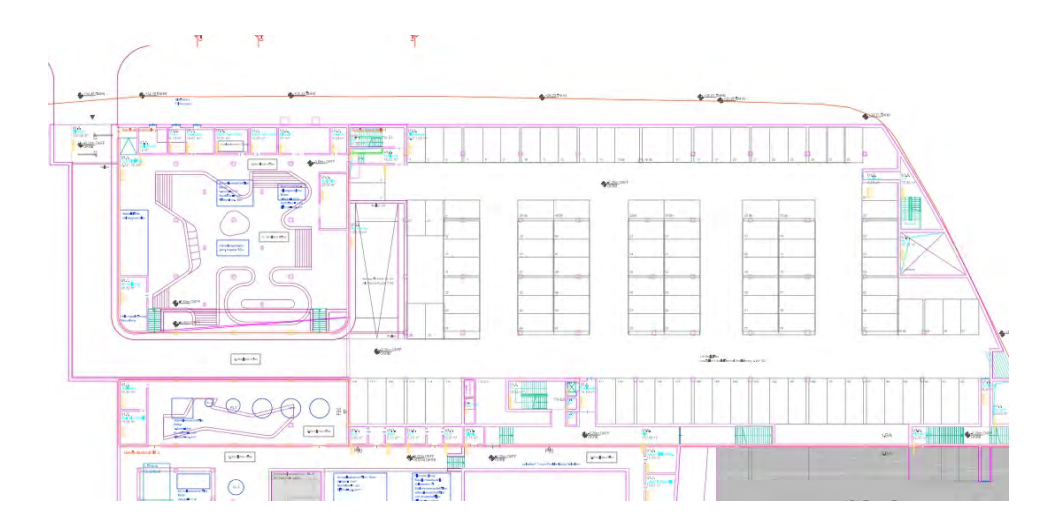


Abb. 5: Gebäudeplanung 'Sport- und Freizeitbad': Tiefgarage

Quelle: GMP Generalplanungsgesellschaft mbH



Abb. 6: Außenanlagenplanung 'Sport- und Freizeitbad'

Quelle: CAPATTISTAUBACH Landschaftsarchitekten

### 2.2 Verkehrsanalyse und -prognose

### 2.2.1 Verkehrsanalyse

Für die Bestimmung der derzeitigen Verkehrsstruktur im Untersuchungsraum werden an anderer Stelle die modellierten strecken- und knotenpunktbezogenen Verkehrsanalysedaten (Verkehrsmodell 2010 'StEK' und Knotenpunktzählungen 2012 der Stadtverwaltung Potsdam).

### 2.2.2 Verkehrsprognose

Die Bestimmung der zukünftigen strecken- und knotenpunktbezogenen Verkehrsstruktur im Untersuchungsbereich erfolgt der folgenden Grundlage der modellierten durchschnittlich täglichen Verkehrsbelastungszahlen in Kfz/24 Std. (VISUM-Basisszenario) bezogen auf den Prognosehorizont 2020.

### 3 Bestehende Verkehrsstruktur

Den Gegenstand der Bestandsaufnahme bildet die Erfassung und Bewertung der relevanten Qualitätsmerkmale hinsichtlich der strecken- und knotenpunktbezogenen Verkehrsstruktur in dem Untersuchungsgebiet.

### 3.1 Verkehrsangebot

Auf der Grundlage der Erfassung und Analyse des bestehenden Verkehrsangebotes im Untersuchungsbereich lassen sich die folgenden qualitativen Merkmale hinsichtlich des Verkehrsablaufes im Bereich des Leipziger Dreieckes bestimmen.

- Komplexe Gestaltung der Verkehrsanlagen, ausgerichtet auf die Gewährleistung sicherer und leistungsfähiger Verkehrsablaufes im MIV, NMIV und ÖPNV.
- Fehlende Fußgängerquerungsmöglichkeit im Zuge der Straße Lange Brücke/DB-Brücke am KP 410 im Bereich des nördlichen Knotenpunktarmes als direkte Querverbindung zwischen Hauptbahnhof und der geplanten Speicherstadt.
- Unzureichende signaltechnische Fußgängerkoordinierung im Bereich des KP 410 Lange Brücke/Leipziger Straße/Heinrich-Mann-Allee/Friedrich-Engels-Straße (östliche Querung im Zuge der Friedrich-Engels-Straße) in Richtung Hauptbahnhof.
- Erforderliche Signalisierung der zweistreifig rechtsabbiegenden Verkehrsströme im Zuge der Heinrich-Mann-Allee in Fahrtrichtung Straße Brauhausberg zur Vermeidung von Konflikten mit den in Längsrichtung geführten Radfahrern.
- Fehlende Linksabbiegemöglichkeiten im Zuge der Heinrich-Mann-Allee in Fahrtrichtung der Leipziger Straße am KP 410 Lange Brücke/Leipziger Straße/Heinrich-Mann-Allee/Friedrich-Engels-Straße mit entsprechenden Umwegfahrten im Zuge der Friedhofsgasse/Friedrich-Engels-Straße.
- Komplexe Umsetzung der LSA-Steuerung am KP 410 Lange Brücke/Leipziger Straße/Heinrich-Mann-Allee/Friedrich-Engels-Straße zur Sicherstellung der Führung der TRAM 99 werktags im Frühverkehr im Zuge der Heinrich-Mann-Allee in Fahrtrichtung Bergholz-Rehbrücke bzw. für Wendefahrten in/aus Richtung Innenstadt. Die Benutzung des Gleises und folglich eines Fahrstreifens durch die TRAM stellt eine kapazitive und leistungsfähigkeitsmindernde Einschränkung für den Kfz-Verkehr in Richtung Innenstadt dar. Im Falle der Umkehrung der Einbahnstraße im Zuge der Leipziger Straße mit ausschließlicher Führung der stadteinwärtigen Verkehr im Zuge der Straße Brauhausberg kann bei Beibehaltung der derzeitigen TRAM-Führung eine ausreichende Leistungsfähigkeit am KP 410 nicht sichergestellt werden.

### 3.2 Verkehrsnachfrage

Unter Ansatz der modellierten Verkehrsbelastungsdaten lassen sich im Status Quo hinsichtlich der betrachteten Streckenabschnitte im Untersuchungsbereich die folgenden durchschnittlich täglichen Verkehrsbelastungen (DTV/24 Std.) bestimmen (vgl. Abb. 7):

Lange Brücke/DB-Brücke: 40.942 Kfz/24 Std.,

Friedrich-Engels-Straße: 16.746 Kfz/24 Std.,

Heinrich-Mann-Allee: 22.739 Kfz/24 Std.,

Leipziger Straße: 13.366 Kfz/24 Std. und

Straße Brauhausberg: 16.409 Kfz/24 Std.

Hinsichtlich der zeitlichen Verteilung der Verkehrsbelastung dominiert im Bereich der Knotenpunkte 410, 411 und 412 die Gesamtverkehrsbelastung in der Nachmittagsspitzenstunde mit 1.365 – 3.971 Kfz/Std. gegenüber der Frühspitzenstunde mit 1.076 – 3.307 Kfz/Std., vgl. Abb. 8 und 9.



Abb. 7: Durchschnittliche tägliche Querschnittsverkehrsbelastung in Kfz/24 Std.: Status-Quo Quelle: ARGE STADT+VERKEHR/DR. BRENNER Ing.-GmbH

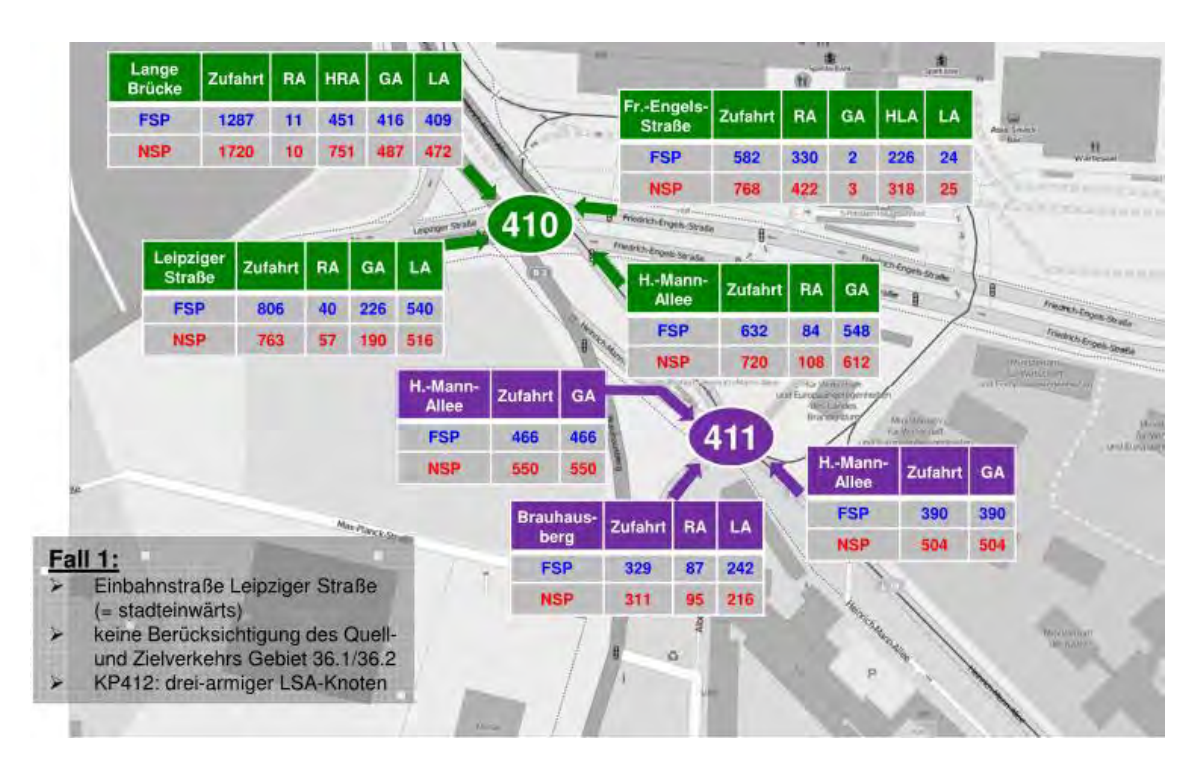


Abb. 8: KP 410 und 411 Früh- und Nachmittagsspitzenstundenbelastung in Kfz/Std.: Status-Quo Quelle: ARGE STADT+VERKEHR/DR. BRENNER Ing.-GmbH

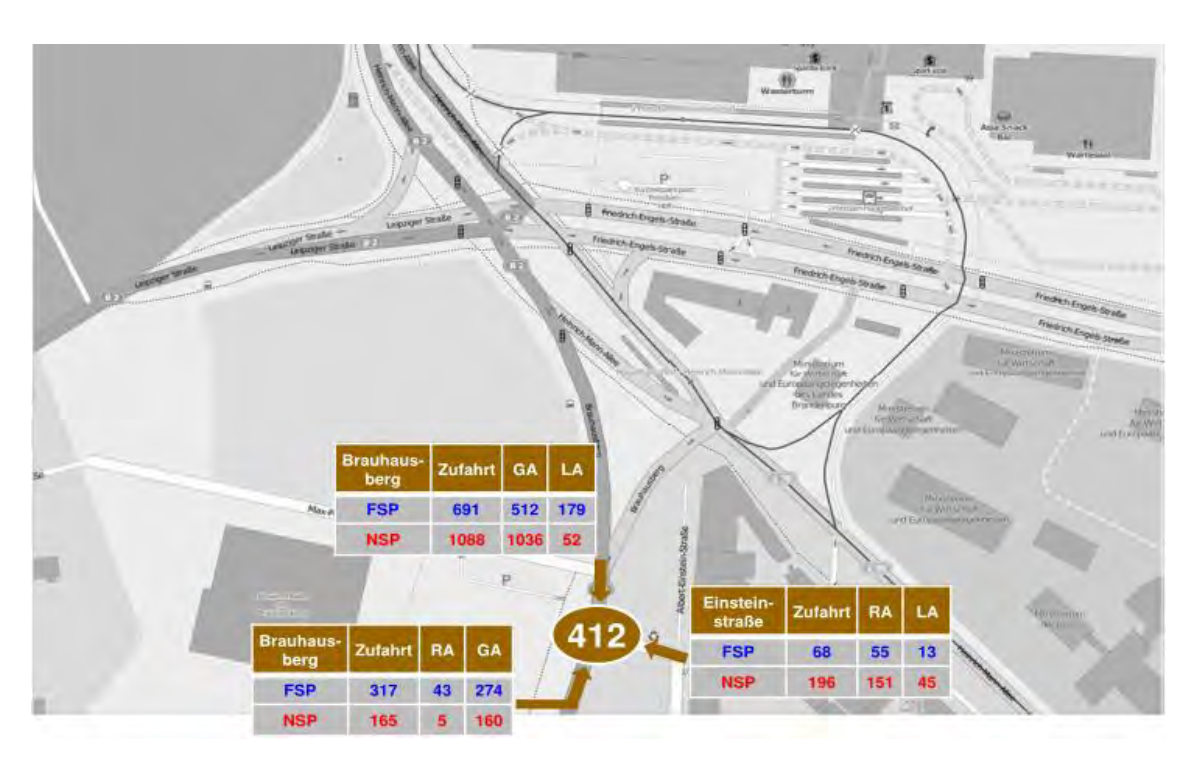


Abb. 9: KP 412 Früh- und Nachmittagsspitzenstundenbelastung in Kfz/Std.: Status-Quo Quelle: ARGE STADT+VERKEHR/DR. BRENNER Ing.-GmbH

### 4 Ermittlung der zukünftigen Verkehrsnachfrage

Die Ermittlung der zukünftigen Verkehrsnachfrage im Untersuchungsgebiet erfolgt im Rahmen der Verkehrsprognose unter Ansatz der folgenden Untersuchungsmethodik¹:

- Bestimmung des zukünftigen Ziel- und Quellverkehrsaufkommens (Verkehrserzeugung) der Teilquartiere/-objekte 'Sport- und Freizeitbad/Wohngebiet Am Brauhausberg' und 'Speicherstadt'.
- Bestimmung der zukünftigen räumlichen Verteilung des Verkehrsaufkommens (Verkehrsverteilung).
- Ermittlung der zukünftigen Verkehrsbelastung (Verkehrsumlegung).

### 4.1 Verkehrserzeugung

Der rechnergestützten Ermittlung des zukünftigen Ziel- und Quellverkehrsaufkommens unter Verwendung des Softwaretools 'Ver\_Bau'² liegt die folgende Methodik zugrunde:

- Bestimmung der räumlichen Verteilung und Intensität der Nutzungsfunktionen differenziert nach Teilquartieren und -objekten.
- Definition der Verkehrsstruktur differenziert nach Bewohner-, Besucher- und Wirtschafts- sowie Beschäftigtenverkehr.
- Ermittlung der Parameter zur Verkehrserzeugung (Fahrtenhäufigkeit, Anzahl MIV-Fahrten u.a.m.) und zur Verkehrsaufteilung (Modal-Split).

### 4.1.1 Sport- und Freizeitbad/Wohngebiet Am Brauhausberg

In der Gesamtbilanz wird bezogen auf das Sport- und Freizeitbad ein zukünftiges Ziel- und Quellverkehrsaufkommen von minimal 931 Kfz/24 Std. und maximal 1.695 Kfz/24 Std. ermittelt (vgl. Tab. 1). Das abgeleitete mittlere standortspezifische Gesamtverkehrsaufkommen beträgt 1.316 Kfz/24 Std. 43 % der Ziel- und Quellfahrten (Kfz/24 Std.) sind auf die Tiefgarage des Sport- und Freizeitbades im Bereich der Leipziger Straße und 43 % der Fahrten (750 Kfz/24 Std) auf das geplante Wohngebiet 'Am Brauhausberg' und dem ebenerdigen Stellplatzangebot des SFB im Bereich der Max-Planck-Straße ausgerichtet.

DR. BRENNER INGENIEURGESELLSCHAFT MBH

<sup>&</sup>lt;sup>1</sup> Vgl. Handbuch für die Abschätzung der Verkehrserzeugung, Hessische Straßen- und Verkehrsverwaltung (Hrsg.), Heft 42, Teil 2, 2000.

<sup>&</sup>lt;sup>2</sup> Dr.-Ing. Dietmar Bosserhoft: 'Ver\_Bau' - Abschätzung des Verkehrsaufkommens durch Vorhaben der Bauleitplanung.

durchschnittlich tägliches Gesamtverkehrsaufkommen (Ziel-/Quellverkehr) in Kfz/24 Std. nach Teilquartieren und Verkehrszwecken																	
			Freizeit						Wohnen								
			Besucherverkehr (Individual) Besucherverkehr (Schüler)			Wirtechoffschorzobr	Wirtschaftsverkehr Beschäftigtenverkehr		Bewohnerverkehr		Besucherverkehr		Wirtschaftsverkehr		Gesamt- verkehrs- aufkommen		
LfdNr.	Teilquartier	Min	Max	Min	Max	Min	Max	Min	Max	Min	Max	Min	Max	Min	Max	Min	Max
		Pkw			us		(W		<b>W</b>	PI	<b>KW</b>	Pł	<b>W</b>	Lŀ	(W		fz
1	Sport- und Freizeitbad	507	927	21	36	19	46	30	65							577	1.074
2	Wohngebiet 'Brauhausberg'										514	43	76	17	31	354	621
	Summe	507	927	21	36	19	46	30	65	294	514	43	76	17	31	931	1.695
	Mittelwert	7	718		28	3	2	4	8	404 62			2	24 1.31		316	

Tab. 1: Ziel- und Quellverkehrsaufkommen des Sport- und Freizeitbades sowie des Wohngebietes 'Am Brauhausberg' differenziert nach Verkehrszwecken in Kfz/24 Std.

Hinsichtlich der zeitlichen Verteilung des Ziel- und Quellverkehrsaufkommens im äußeren Erschließungssystem lassen sich differenziert nach den verschiedenen Teilobjekten auf der Grundlage von standardisierte Tagesganglinien für die einzelnen Verkehrszwecke die folgenden Ergebnisse ableiten<sup>3</sup>.

### 4.1.1.1 Sport- und Freizeitbad (Tiefgarage)

Im Ergebnis sind Unterschiede hinsichtlich des zeitlichen Auftretens der Früh- und Nachmittagsspitzenstundenbelastungen feststellbar. Unter Ansatz des durchschnittlichen Gesamtverkehrsaufkommens fällt bezogen auf die geplante Tiefgarage bei dem Quellverkehr die Frühspitzenstunde in den Zeitraum 8.00 – 9.00 Uhr (16 Kfz/Std.) und die Nachmittagsspitzenstunde zwischen 19.00 – 20.00 Uhr (35 Kfz/Std.). Bei dem Zielverkehrsaufkommen beträgt die Frühspitzenstundenbelastung (11.00 – 12.00 Uhr) 11 Kfz/Std. und die Nachmittagsspitzenstundenbelastung (19.00 – 20.00 Uhr) 50 Kfz/Std. (vgl. Tab. 2).

Das standortbezogene Gesamtverkehrsaufkommen in der maßgebenden Frühspitzenstunde (11.00 – 12.00 Uhr) beträgt 21 Kfz/Std. und steht nicht in Korrespondenz mit dem zeitlichen Auftreten der Spitzenstundenbelastung der durchgehenden Strecke der Leipziger Straße in dem Untersuchungsbereich. Mit 85 Kfz/Std. dominiert das Verkehrsaufkommen in der Nachmittagsspitzenstunde (19.00 - 20.00 Uhr) gegenüber der Frühspitzenstunde.

<sup>3</sup> Vgl. EAR 2005: Empfehlungen für Anlagen des ruhenden Verkehrs, FGSV, 2005.

Durchschnittlich tägliches Ziel- und Quellverkehrsaufkommen differenziert Verkehrszwecken und										
Stundengruppen in Kfz/Std. - Sport- und Freizeitbad -										
(Erschließung im Zuge der Leipziger Str.)										
	(=.0	Quelly		Zielve						
			CIRCIII		i Kerii					
Str	undengruppe	Besucherverkehr (Individual)	Gesamt- summe	Besucherverkehr (Individual)	Gesamt- summe	Gesamt- verkehr				
00-01		0	0	0	0	0				
01-02		0	0	0	0	0				
02-03	_	0	0	0	0	0				
03-04	Frühstundengruppen	0	0	0	0	0				
04-05	dри	0	0	0	0	0				
05-06	sug	0	0	0	0	0				
06-07	ınde	6	6	8	8	14				
07-08	ıstu	8	8	9	9	18				
08-09	in in	16	16	4	4	20				
09-10	ш.	5	5	6	6	11				
10-11		4	4	6	6	10				
11-12		10	10	11	11	21				
12-13		13	13	14	14	27				
13-14		9	9	10	10	19				
14-15		13	13	14	14	27				
15-16	_	10	10	15	15	24				
16-17	gs-	13	13	17	17	30				
17-18	ttag	23	23	34	34	57				
18-19	Nachmittags- stundengruppen	33	33	46	46	78				
19-20	Vacl	35	35	50	50	85				
20-21	stı	32	32	32	32	64				
21-22		33	33	6	6	39				
22-23		23	23	0	0	23				
23-24		0	0	0	0	0				
Summe		283	283	283	283	566				
abs. Tagesve	rkehrsaufkommen	260	260	283	283	543				
	erkehrsaufkommen	23	23	0	0	23				
rel. Tagesver	kehrsaufkommen	92%	92%	100%	100%	96%				
				00/						

Bemerkungen

100 Streckenbezogene Spitzenverkehrsbelastung
100 Standortbezogene Spitzenverkehrsbelastung

Tab. 2: Tagesganglinien des mittleren Ziel- und Quellverkehrsaufkommens der Tiefgarage des Sport- und Freizeitbades differenziert nach Verkehrszwecken in Kfz/Std.

### 4.1.1.2 Wohngebiet 'Am Brauhausberg' und Sport- und Freizeitbad (ebenerdige Stellplätze)

Unter Ansatz des durchschnittlichen Gesamtverkehrsaufkommens fällt bezogen auf das geplanten Wohngebiet 'Am Brauhausberg' und dem ebenerdigen Stellplatzangebot des SFB bei dem Quellverkehr die Frühspitzenstunde in den Zeitraum 6.00 – 7.00 Uhr (35 Kfz/Std.) und die Nachmittagsspitzenstunde zwischen 13.00 – 14.00 Uhr (29 Kfz/Std.). Bei dem Zielverkehrsaufkommen beträgt die Frühspitzenstundenbelastung (11.00 – 12.00 Uhr) 20 Kfz/Std. und die Nachmittagsspitzenstundenbelastung (17.00 – 18.00 Uhr) 43 Kfz/Std., vgl. Tab. 3 und 4.

Das standortbezogene Gesamtverkehrsaufkommen in der maßgebenden Frühspitzenstunde (7.00 – 18.00 Uhr) beträgt 44 Kfz/Std. und steht in Korrespondenz mit dem zeitlichen Auftreten der Spitzenstundenbelastung im Bereich der angrenzenden Straße Brauhausberg. Mit 69 Kfz/Std. dominiert das Verkehrsaufkommen in der Nachmittagsspitzenstunde (17.00 - 18.00 Uhr) gegenüber der Frühspitzenstunde.

### 4.1.2 Speicherstadt

In der Gesamtbilanz wird bezogen auf das Gebiet der nördlichen und südlichen Speicherstadt ein zukünftiges mittleres Ziel- und Quellverkehrsaufkommen von 4.170 Kfz/24 Std. ermittelt (vgl. Tab. 6). Das abgeleitete mittlere standortspezifische Gesamtverkehrsaufkommen der nördlichen Speicherstadt beträgt ca. 3.400 Kfz/24 Std. und das der südlichen ca. 760 Kfz/24 Std., vgl. Tab. 5

Das standortbezogene Gesamtverkehrsaufkommen in der maßgebenden Frühspitzenstunde (8.00 – 09.00 Uhr) beträgt 332 Kfz/Std gegenüber 316 Kfz/Std. in der Nachmittagsspitzenstunde (19.00 - 20.00 Uhr), vgl. Tab. 6.

Durchschnittlich tägliches Ziel- und Quellverkehrsaufkommen differenziert Verkehrszwecken und Stundengruppen in Kfz/Std.  - Wohngebiet Brauhausberg sowie Sport- und Freizeitbad -														
	- Wohngebiet Brau (Erschließ)		_				oad -							
				Quellverkehr										
		Wo	ohngel	oiet	Spor	t- und	Freize	itbad						
Stı	Bewohner- verkehr	Besucher- verkehr	Wirtschafts- verkehr	Besucherverkehr (Individual)	Besucherverkehr (Schüler)	Beschäftigten- verkehr	Wirtschafts- verkehr	Gesamt- summe						
00-01		0	0	0	0	0	2	0	3					
01-02		0	0	0	0	0	0	0	0					
02-03		0	0	0	0	0	0	0	0					
03-04		1	0	0	0	0	0	0	1					
04-05		2	0	0	0	0	0	0	2					
05-06	Frühstundengruppen	9	0	0	0	0	0	0	9					
06-07		30	1	0	2	0	2	0	35					
07-08		28	1	1	2	0	0	1	33					
08-09		16	1	1	4	0	0	1	23					
09-10		11	1	1	1	2	0	1	16					
10-11		9	0	1	3	2	0	2	15					
11-12		6	1	1	3	2	U	1	14					
12-13		7	1	1	3	2	0	2	17					
13-14		11	1	1	2	2	10	2	<b>2</b> 9					
14-15		12	1	1	3	2	0	1	20					
15-16		10	1	1	3	2	0	1	17					
16-17		12	1	1	4	2	0	1	21					
17-18	Nachmittags-	15	2	1	6	0	0	1	26					
18-19	stundengruppen	9	4	1	9	0	0	1	23					
19-20		9	4	0	9	0	0	1	23					
20-21		4	3	0	9	0	0	0	16					
21-22		1	3	0	9	0	0	0	12					
22-23		1	2	0	6	0	10	0	19					
23-24		0 <b>202</b>	2 31	0	0	0	0	0	2					
	Summe abs. Tagesverkehrsaufkommen			12 11	<b>76</b>	14 14	<b>24</b> 12	16 16	<b>375</b> 340					
		191 11	26 4	11	6	0	12	0	340					
	abs. Nachtverkehrsaufkommen rel. Tagesverkehrsaufkommen			97%	92%	100%	50%	100%	91%					
	kehrsaufkommen	94%	86% 14%	9%	8%	0%	50%	0%	91%					
		070	1770		070		3070							
	gesverkehrsaufkommen			11		14		16	42					
abs. Lkw-Nac	chtverkehrsaufkommen			1		0		0	1					

Bemerkungen	_
100	Streckenbezogene Spitzenverkehrsbelastung
100	Standortbezogene Spitzenverkehrsbelastung

Tab. 3: Tagesganglinien des mittleren Quellverkehrsaufkommens des Wohngebietes 'Am Brauhausberg' und der ebenerdigen Stellplätze des SFB differenziert nach Verkehrszwecken in Kfz/Std.

Durchschnittlich tägliches Ziel- und Quellverkehrsaufkommen differenziert Verkehrszwecken und Stundengruppen in Kfz/Std. - Wohngebiet Brauhausberg sowie Sport- und Freizeitbad - (Erschließung im Zuge der Max-Planck-Str.)									und	
	(EISCI	meisung	j iili Zuç	je der n		erkehi	•			
				oiet	Spor	t- und	Freize			
St	Bewohner- verkehr	Besucher- verkehr	Wirtschafts- verkehr	Besucherverkehr (Individual)	Besucherverkehr (Schüler)	Beschäftigten- verkehr	Wirtschafts- verkehr	Gesamt- summe	Gesamt- verkehr	
00-01		1	0	0	0	0	0	0	1	3
01-02		0	0	0	0	0	0	0	0	0
02-03		0	0	0	0	0	0	0	0	0
03-04		0	0	0	0	0	0	0	0	1
04-05		0	0	0	0	0	0	0	0	2
05-06	Frühstundengruppen	1	0	0	0	0	12	0	13	22
06-07		2	1	0	2	0	0	1	6	41
07-08							0		11	44
08-09		5	0	1	1	2	0	2	11 12	34
09-10 10-11		6 7	1	1	2	2	0	1	14	29 29
11-12		11	1	1	3	2	0	2	20	34
12-13		15	1	1	4	2	12	2	37	54
13-14		14	1	1	3	2	0	1	21	50
14-15		9	2	1	4	2	0	1	17	37
15-16 16-17		13 28	2	1	5	0	0	1	21 37	38 58
17-18		28	2 4	1	9	0	0	1	43	69
18-19	Frühstundengruppen	20	5	0	12	0	0	1	39	62
19-20		12	5	0	14	0	0	0	31	54
20-21		8	3	0	8	0	0	0	19	35
21-22		7	1	0	2	0	0	0	10	22
22-23		8	0	0	0	0	0	0	8	27
23-24		4	0	0	0	0	0	0	4	6
Summe		203	31	12	76	14	24	16	375	750
abs. Tagesve	abs. Tagesverkehrsaufkommen 190				76	14	12	16	349	690
	abs. Nachtverkehrsaufkommen 13			1	0	0	12	0	26	61
	kehrsaufkommen	94% 6%	98%	98%	100%	100%	50%	100%	93%	92%
rel. Nachtvei	2%	9%	0%	0%	50%	0%	7%	8%		
abs. Lkw-Tag	gesverkehrsaufkommen			11		14		16	42	84
abs. Lkw-Na	abs. Lkw-Nachtverkehrsaufkommen					0		0	1	2

Bemerkungen	_
100	Streckenbezogene Spitzenverkehrsbelastung
100	Standortbezogene Spitzenverkehrsbelastung

Tab. 4: Tagesganglinien des mittleren Zielverkehrsaufkommens des Wohngebietes 'Am Brauhausberg' und der ebenerdigen Stellplätze des SFB differenziert nach Verkehrszwecken in Kfz/Std.

Nutzungs- arten	Gebiet	durchschnittlich tägliches Gesamtverkehrsaufkommen (Ziel-/Quellverkehr) in Kfz/24 Std. nach Teilquartieren und Verkehrszwecken											Gesamtverkehrsaufkommen				
		Wohnnutzung						Gewerbliche Nutzung						Quellverkehr		Zielverkehr	
		Einwohnerverkehr Pkw		Besucherverkehr Pkw		Güterverkehr Lkw		Beschäftigten- verkehr Pkw		Kunden-/Be- sucherverkehr Pkw		Güterverkehr		Kfz		Kfz	
		Min	Max	Min	Max	Min	Max	Min	Max	Min	Max	Min	Max	Min	Max	Min	Max
Wohnen	SSP	94	230	8	19	4	6							106	255	106	255
Wohnen	SSP/PP	138	330	11	27	6	9							155	366	155	366
Wohnen	PP	357	850	29	68	15	22							401	940	401	940
Gewerbe	Board	113	280	5	11	5	7	6	16	6	16	2	4	137	334	137	334
Gewerbe	Hotel	69	170			3	-5	12	28	9	21	4	8	97	232	97	232
Gewerbe	PP							246	420	47	150	11	28	304	598	304	598
Freizeit	Badeschiff			20	72			1	4			1	1	22	77	22	77
Freizeit	Marina	14	36					1	4			1	2	16	42	16	42
Gewerbe	Restaurantschiff							1	3	14	66	1	4	16	73	16	73
	Summe	785	1.896	73	197	33	49	267	475	76	253	20	47	1.254	2.917	1.254	2.917
Summe (Mittelwert)		1.341		135 41		11	371		165		34		2.086		2.086		
Durchschnittliches tägliches Gesamtverkehrsaufkommen											4.171						
Anteil Speicherstadt Süd											763						
					Antei	Speich	erstadt I	Vord								3.4	408

Tab. 5: Ziel- und Quellverkehrsaufkommen der Speicherstadt differenziert nach Verkehrszwecken in Kfz/24 Std.

Quelle: STADT+VERKEHR, Masterplan Speicherstadt Potsdam - Verkehrs- und lärmtechnische Untersuchung, 06.2008

Stunde			Quellverke	hr			7	ielverkehr			Gesamt-	
Sunde	Nutzungsarten											
	Gewerbe	Wohnen	Freizeit 1)	Gewerbe (Sonstiges) 2)	Summe (gerundet)	Gewerbe	Wohnen	Freizeit	Gewerbe (Sonstiges)	Summe (gerundet)		
00-01	0	67	0	0	67	0	16	0	0	16	82	
01-02	0	25	0	0	25	0	16	0	0	16	40	
02-03	0	10	0	0	10	0	4	0	0	4	14	
03-04	0	14	0	0	14	0	6	0	0	6	20	
04-05	0	59	0	0	59	0	22	0	0	22	81	
05-06	0	129	0	0	129	0	49	0	0	49	178	
06-07	3	143	0	0	146	39	37	1	0	78	224	
07-08	3	167	0	0	171	98	37	2	2	139	309	
08-09	7	172	0	1	180	114	33	1	4	152	332	
09-10	17	48	2	3	71	26	33	9	5	73	144	
10-11	28	53	2	8	91	33	29	4	8	75	166	
11-12	43	27	6	9	86	30	32	4	9	75	161	
12-13	48	32	5	8	91	33	24	5	5	64	155	
13-14	23	36	5	2	65	18	30	6	2	55	121	
14-15	17	23	5	2	45	22	42	6	4	74	120	
15-16	65	26	5	6	102	15	34	5	3	56	158	
16-17	93	27	6	5	131	21	106	7	3	137	268	
17-18	69	71	6	1	147	4	137	8	0	149	296	
18-19	25	68	5	0	98	0	172	7	0	179	277	
19-20	11	72	6	0	89	0	219	7	0	226	316	
20-21	0	61	7	0	68	0	134	5	0	139	207	
21-22	0	52	7	0	59	0	136	2	0	137	197	
22-23	0	82	7	0	89	0	90	1	0	91	181	
23-24	0	47	4	0	51	0	73	0	0	73	125	
Summe	452	1.512	79	45	2.086	452	1.513	79	45	2.086	4.172	

Tab. 6: Tagesganglinien des mittleren Ziel- und Quellverkehrsaufkommens der Speicherstadt differenziert nach Verkehrszwecken in Kfz/Std.

Quelle: STADT+VERKEHR, Masterplan Speicherstadt Potsdam - Verkehrs- und lärmtechnische Untersuchung, 06.2008

### 4.2 Verkehrsverteilung

Vor dem Hintergrund fehlender Orientierungswerte für die räumliche Verteilung des zukünftigen Verkehrsaufkommens des geplanten Sport- und Freizeitbades/Wohngebietes 'Am Brauhausberg' und der Speicherstadt werden die nachfolgenden Annahmen hinsichtlich der räumlichen Verflechtung des Ziel- und Quellverkehrsaufkommens im Straßennetz getroffen.

### 4.2.1 Zielverkehr

- 25 % der Fahrten kommen aus Richtung Norden (Potsdamer Stadtgebiet und Umland).
- 25 % der Fahrten kommen aus Richtung Westen (Potsdamer Stadtgebiet und Umland).
- 25 % der Fahrten kommen aus Richtung Osten (Stadtgebiet Potsdam und Umland).
- 25 % der Fahrten kommen aus Richtung Süden (Stadtgebiet Potsdam und Umland).

### 4.2.2 Quellverkehr

- 25 % der Fahrten führen in Richtung Norden (Potsdamer Stadtgebiet und Umland).
- 25 % der Fahrten führen in Richtung Westen (Potsdamer Stadtgebiet und Umland).
- 25 % der Fahrten führen in Richtung Osten (Stadtgebiet Potsdam und Umland).
- 25 % der Fahrten führen in Richtung Süden (Stadtgebiet Potsdam und Umland).

### 4.3 Verkehrsumlegung

Zur Ermittlung der zukünftigen Verkehrsbelastung werden im Rahmen der Verkehrsumlegung die folgenden Kennwerte herangezogen:

- die Ergebnisse der strecken-/knotenpunktbezogenen Verkehrsprognose (Basisszenario 2020),
- das zukünftige gebietsbezogene Ziel- und Quellverkehrsaufkommen (Verkehrserzeugung) der Teilquartiere 'Sport- und Freizeitbad/ Wohngebiet Am Brauhausberg' und 'Speicherstadt.
- die Annahmen zur bestehenden und zukünftigen räumlichen Verteilung des Verkehrsaufkommens (Verkehrsverteilung).

Im Rahmen der Entwicklung und Bewertung von verkehrsorganisatorischen und baulichen Maßnahmen für die Optimierung der Verkehrsverhältnisse im Bereich des Leipziger Dreiecks werden der Verkehrsumlegung die folgenden Verkehrsführungs- und Gestaltungsvariante zugrunde gelegt.

### Verkehrsführungs- und Gestaltungsvariante 1

Die Variante 1 beinhaltet die Umsetzung der folgenden Maßnahmen hinsichtlich der Verkehrsorganisation und Verkehrsanlagengestaltung in dem Untersuchungsraum (vgl. Abb. 10 und 11):

Beibehaltung der bestehenden Einbahnstraße im Zuge der Leipziger Straße in Richtung Innenstadt in dem westlichen Streckenabschnitt zwischen dem Persiusspeicher und dem KP 472 Leipziger Straße/Michendorfer Chaussee/Templiner Straße.





 Ausbildung eines symmetrischen vierarmigen LSA-regelten Knotenpunktes im Zuge der Leipziger Straße mit Anbindung der Planstraße B.3 (Speicherstadt Nord) und der Tiefgaragenzu- und –ausfahrt (SFB) sowie Anpassung der Fahrstreifenaufteilung mittels Markierung.

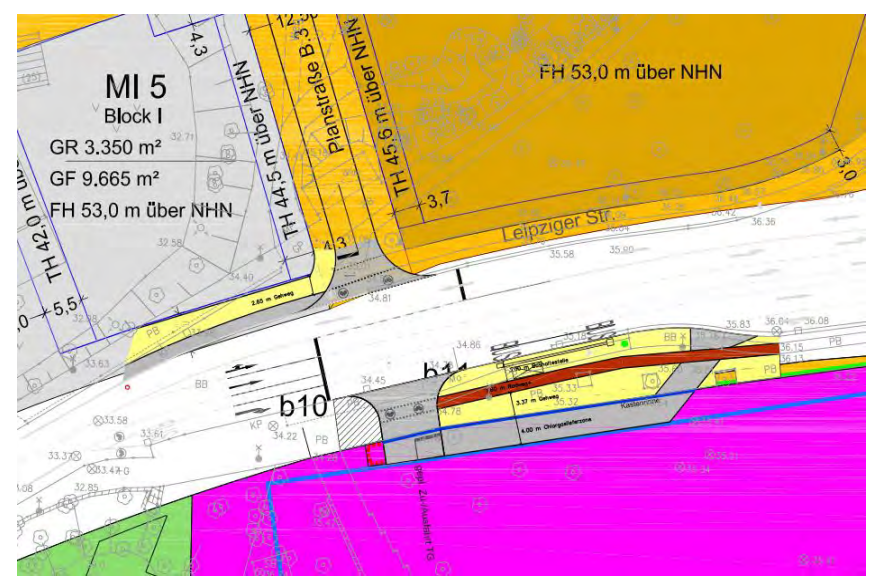


Abb. 10: Neubau KP Leipziger Str./Planstr. B.3 (Speicherstadt Nord)/Tiefgaragenzu- und –ausfahrt (SFB): Verkehrsführungs- und Gestaltungsvariante 1

Quelle: Arge STADT+VERKEHR/DR. BRENNER Ing.-GmbH

- Anlage einer Fahrgasse im Bereich des bestehenden südlichen Gehweges im Zuge der Leipziger Straße östlich der Tiefgaragenzu- und –ausfahrt des SFB zur Sicherstellung der Erschließung des Sport- und Freizeitbades im Lieferverkehr für Chlorgas.
- Ausbildung eines symmetrischen vierarmigen Isa-regelten Knotenpunktes im Zuge der Straße Brauhausberg mit Anbindung der Max-Planck-Straße und der Albert-Einstein-Straße.
- Rückbau des bestehenden Einmündungsbereiches der Albert-Einstein-Straße.

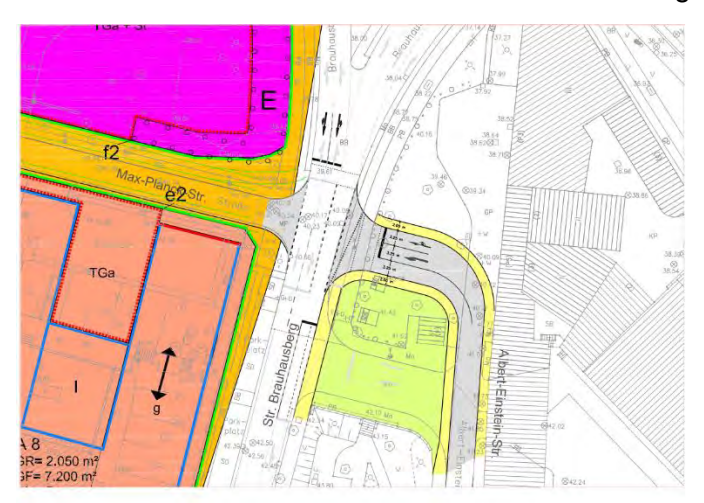


Abb. 11: Umbau KP 412 Str. Brauhausberg/Albert-Einstein-Str./Max-Planck-Str.: Verkehrsführungs- und Gestaltungsvariante 1

### Verkehrsführungs- und Gestaltungsvariante 2

Ausgerichtet auf das Ziel, das Leipziger Dreieck in komprimierter Form verkehrs-, umwelt- und stadtverträglich zu gestalten, umfasst die Verkehrsführungs- und Gestaltungsvariante 2 <sup>4</sup>die folgenden verkehrsorganisatorischen und baulichen Maßnahmen:

- Umkehrung der Einbahnstraßenregelung im Zuge der Leipziger Str. in stadtauswärtiger Richtung in dem westlichen Streckenabschnitt zwischen dem Persiusspeicher und dem KP 472 Leipziger Straße/Michendorfer Chaussee/Templiner Straße.
- Umbau der Leipziger Straße zwischen dem KP 410 Lange Brücke/Leipziger Straße/Heinrich-Mann-Allee/Friedrich-Engels-Straße und dem Persiusspeicher mit (vgl. Abb. 12):
  - Einstreifiger Führung des straßengebundenen Verkehrs im Zweirichtungsverkehr,
  - Anbindung des inneren Erschließungssystems der Speicherstadt,
  - Ausbildung eines symmetrischen vierarmigen LSA-regelten Knotenpunktes im Zuge der Leipziger Straße mit Anbindung der Planstraße B.3 (Speicherstadt Nord)
    und der Tiefgaragenzu- und –ausfahrt (SFB),
  - Anlage von beidseitigen Radfahrstreifen (Breite: 1,85 m),
  - Abschnittsweiser Anlage eines Mittelstreifens (Breite: 3 m) mit Baumpflanzungen und Querungshilfen für Fußgänger sowie
  - Wiederaufnahme eines separaten signalisierten Rechtsabbiegestreifens im Zuge Lange Brücke in Fahrtrichtung der Leipziger Straße.
- Komprimierter Umbau des KP 410 Lange Brücke/Leipziger Straße/Heinrich-Mann-Allee/Friedrich-Engels-Straße mit (vgl. Abb. 13):
  - Verlegung der TRAM-Trasse mit Haltestelle im Zuge Heinrich-Mann-Allee zwischen KP 410 und 411 in den südlichen Fahrstreifen der Fr-Engels-Straße und Anbindung an das Gleisnetz im Bereich des Vorplatzes des Hauptbahnhofes.
  - Anlage eines separaten Linksabbiegestreifens im der Zuge Heinrich-Mann-Allee in Fahrtrichtung der Leipziger Straße und Beibehaltung von zwei Geradeausfahrstreifen in stadteinwärtiger Richtung sowie der freilaufenden Rechtsabbiegespur in Fahrtrichtung der Friedrich-Engels-Straße.
  - Schaffung einer Querungshilfe für Fußgänger- und Radfahrer im Zuge der Langen Brücke am KP 410.
  - Anlage eines durchgehenden Radfahrstreifens im Zuge der Langen Brücke/DB-Brücke (westlichen Fahrbahnhälfte zwischen dem KP 400 Lange Brücke/Babelsberger Straße/Friedrich-List-Straße und dem KP 410.

STADT+VERKEHR

GESELLSCHAFT MBH

<sup>&</sup>lt;sup>4</sup> Die Verkehrsführungs- und Gestaltungsvariante 2 entspricht der im Rahmen der Erarbeitung einer integrativen verkehr- und städtebaulichen Konzeption für das Leipziger Dreieck in Potsdam, Stand 2011, definierten Vorzugsvariante D1.

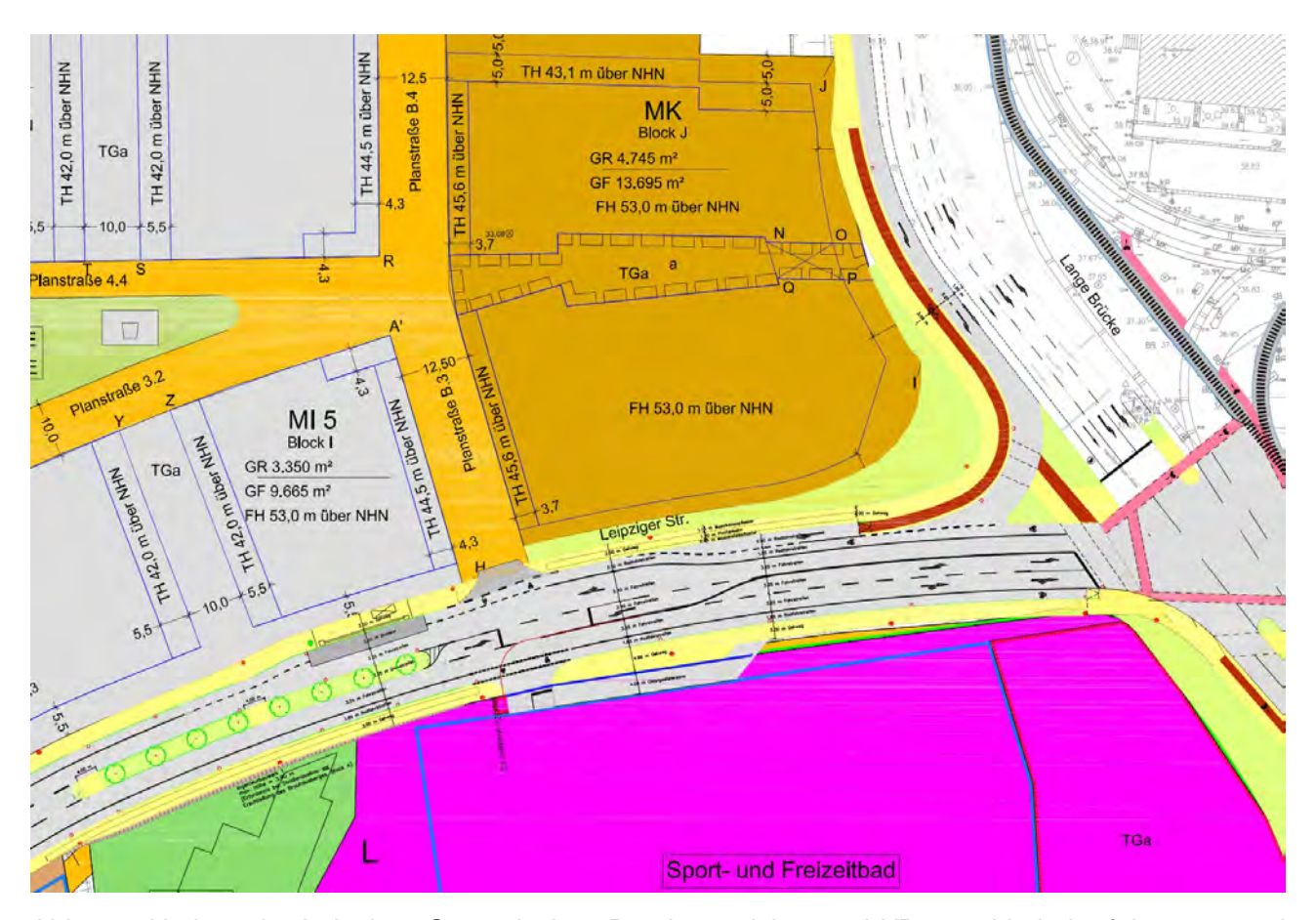


Abb. 12: Umbau der Leipziger Str. zwischen Persiusspeicher und KP 410: Verkehrsführungs- und Gestaltungsvariante 2

- Anlage einer signalisierten Fußgängerfurt im Zuge der Fr.-Engels-Straße im Bereich des ZOB.
- Schaffung von Aufenthaltsflächen im Bereich der zurückgebauten Verkehrsflächen.
- Anlage eines begrünten Fahrbahnteilers im Zuge der Heinrich-Mann-Allee zwischen dem KP 410 und 411.
- Umbau des KP 411 H.-Mann-Allee/Straße Brauhausberg mittels Rückbau des freilaufenden Rechtsabbiegers und Ausbildung eines separaten Rechtsabbiegestreifen in Fahrtrichtung Straße Brauhausberg.
- Ausbildung eines symmetrischen vierarmigen LSA-regelten Knotenpunktes 412 im Zuge der Straße Brauhausberg mit Anbindung der Max-Planck-Straße und der Albert-Einstein-Straße.
- Anlage von beidseitigen Radfahrstreifen im Zuge Straße Brauhausberg zwischen Albert-Einstein-Straße und Landtagsbrücke.
- Verlegung der Stellplätze im Zuge der Straße Brauhausberg auf die östliche Straßenseite zwischen der Albert-Einstein-Straße und Landtagsbrücke.

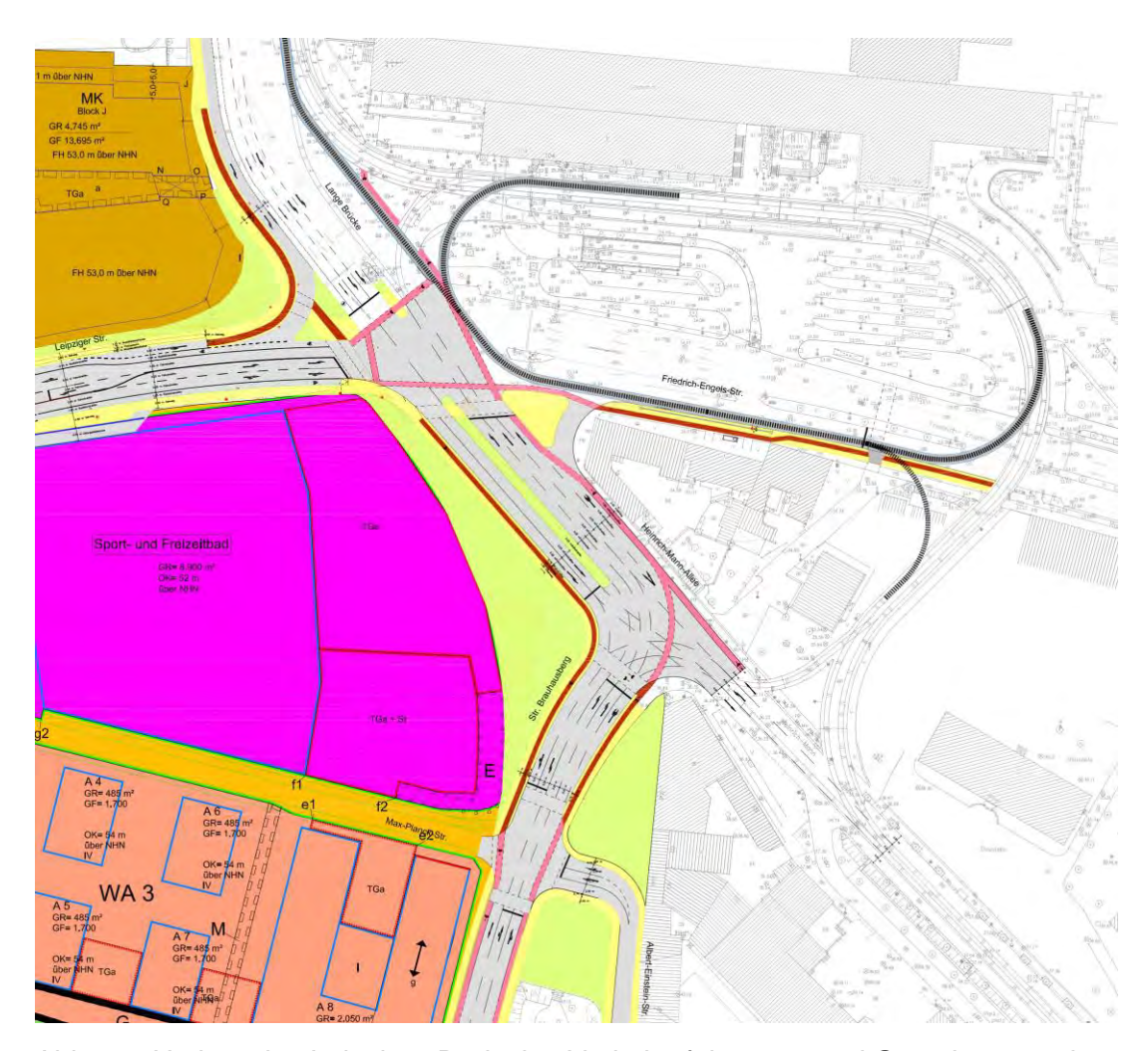


Abb. 13: Umbau des Leipziger Dreiecks: Verkehrsführungs- und Gestaltungsvariante 2 Quelle: Arge STADT+VERKEHR/DR. BRENNER Ing.-GmbH

Differenziert nach den verschiedenen Verkehrsführungs- und Gestaltungsvarianten lassen sich die nachfolgenden Ergebnisse hinsichtlich der zukünftigen strecken- und knotenpunktbezogenen Verkehrsbelastung ableiten.

Als Referenzbetrachtungsfall wird ein Verkehrsbelastungsszenario (Status-Quo 2010), basierend auf der Beibehaltung der Einbahnstraßenregelung im Zuge der Leipziger Straße ohne Berücksichtigung der Zusatzverkehre des Sport- und Freizeitbades/Wohngebiet 'Am Brauhausberg' und der Speicherstadt vergleichend herangezogen.

### 4.3.1 Verkehrsführungs- und Gestaltungsvariante 1

Bei Beibehaltung der bestehenden Einbahnstraßenregelung im Zuge der Leipziger Straße tritt im Vergleich mit dem Status-Quo-Fall trotz des zusätzlichen Ziel- und Quellverkehrsaufkommens des geplanten Sport- und Freizeitbades und der Speicherstadt aufgrund der prognostizierten Veränderung in der städtischen Verkehrsentwicklung ein Rückgang der streckenbezogenen durchschnittlich täglichen Verkehrsbelastung der Leipziger Straße um 25 % auf max. 10.300 Kfz/24 Std ein. Starke Zuwächse in der Gesamtverkehrsbelastung sind mit 18.500 Kfz/Std. hingegen im Zuge der Straße Brauhausberg feststellbar (vgl. Abb. 14).

Die Veränderung der Streckenverkehrsbelastung führt zu einer Reduzierung der Knotenpunktbelastung an den Knotenpunkten 410 und 411 zwischen 4 und 21 % in der Frühspitzenstunde und 1 bis 49 % in der Nachmittagsspitzenstunde. Im Bereich des KP 412 ist nach erfolgter Ausbildung eines 4-armigen Knotenpunktes ein Anstieg der Verkehrsbelastung auf 1.305 Kfz/Std. in der Frühspitzenstunde und 1.745 Kfz/Std. in der Nachmittagsspitzenstunde feststellbar (vgl. Abb. 15).

### 4.3.2 Verkehrsführungs- und Gestaltungsvariante 2

Aus der Umkehrung der Einbahnstraßenregelung im Zuge der Leipziger Straße und dem Umbau des Leipziger Dreiecks resultiert im Vergleich mit der Variante 2 ein Anstieg der streckenbezogenen durchschnittlich täglichen Verkehrsbelastung auf max. 12.650 Kfz/24 Std. Im Zuge der Straße Brauhausberg ist mit 16.400 Kfz/24 Std. ein Rückgang bei der Verkehrsbelastung feststellbar (vgl. Abb. 16).

Die Veränderung der Streckenverkehrsbelastung führt zu einer Reduzierung der Knotenpunktbelastung an den Knotenpunkten 410 und 411 zwischen 13 und 91 % in der Frühspitzenstunde und 4 bis 45 % in der Nachmittagsspitzenstunde. Im Bereich des KP 412 ist nach erfolgter Ausbildung eines 4-armigen Knotenpunktes ein Rückgang der Verkehrsbelastung auf um 23 % auf 1.524 Kfz/Std. in der Nachmittagsspitzenstunde feststellbar (vgl. Abb. 17).

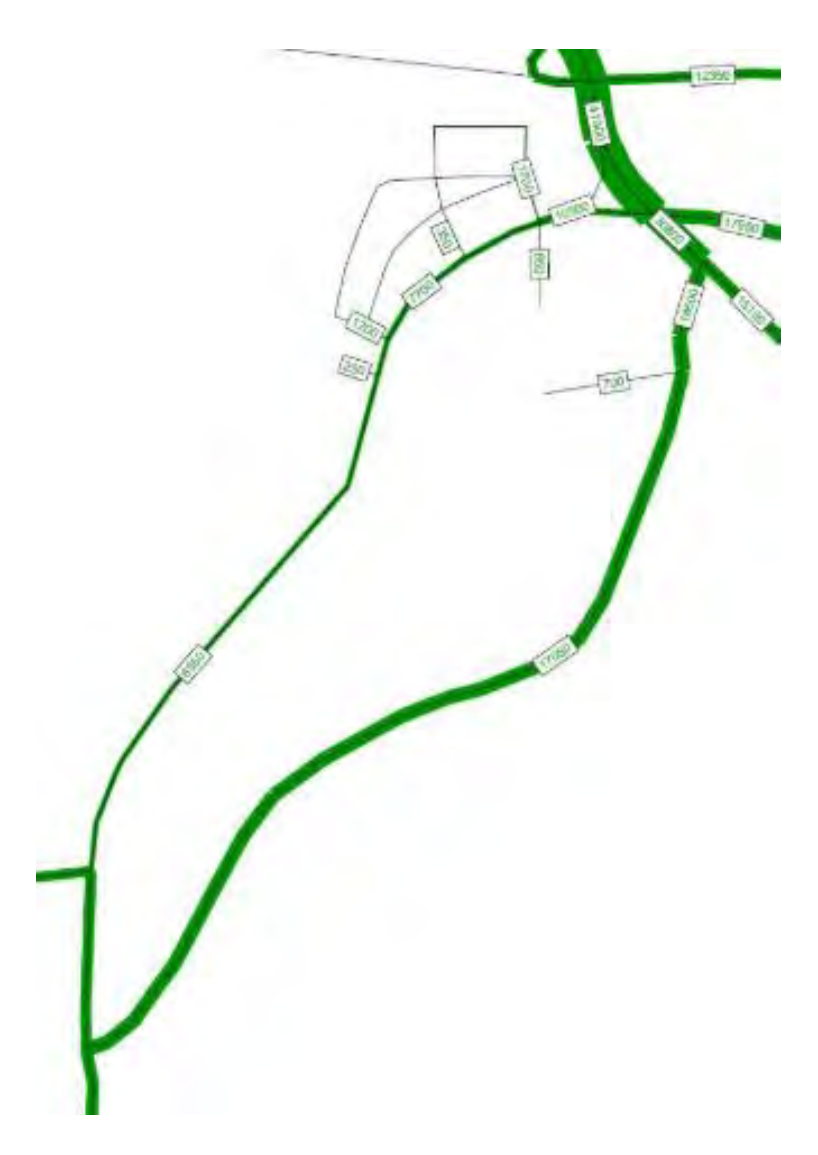


Abb. 14: Durchschnittliche tägliche Querschnittsverkehrsbelastung in Kfz/24 Std.: Verkehrsführungs- und Gestaltungsvariante 1

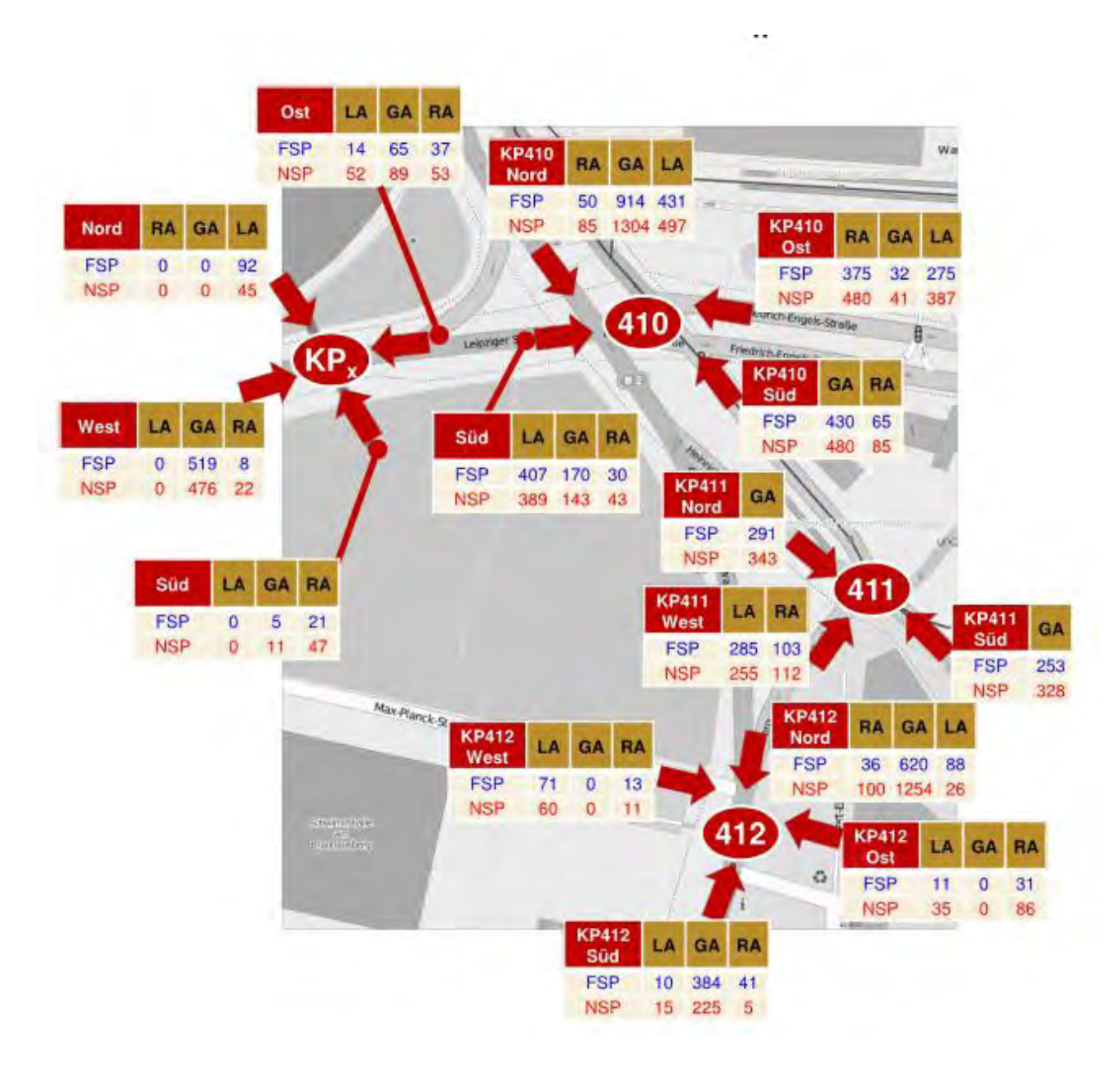


Abb. 15: Früh- und Nachmittagsspitzenstundenbelastung in Kfz/Std. in Knotenpunktbereichen: Verkehrsführungs- und Gestaltungsvariante 1

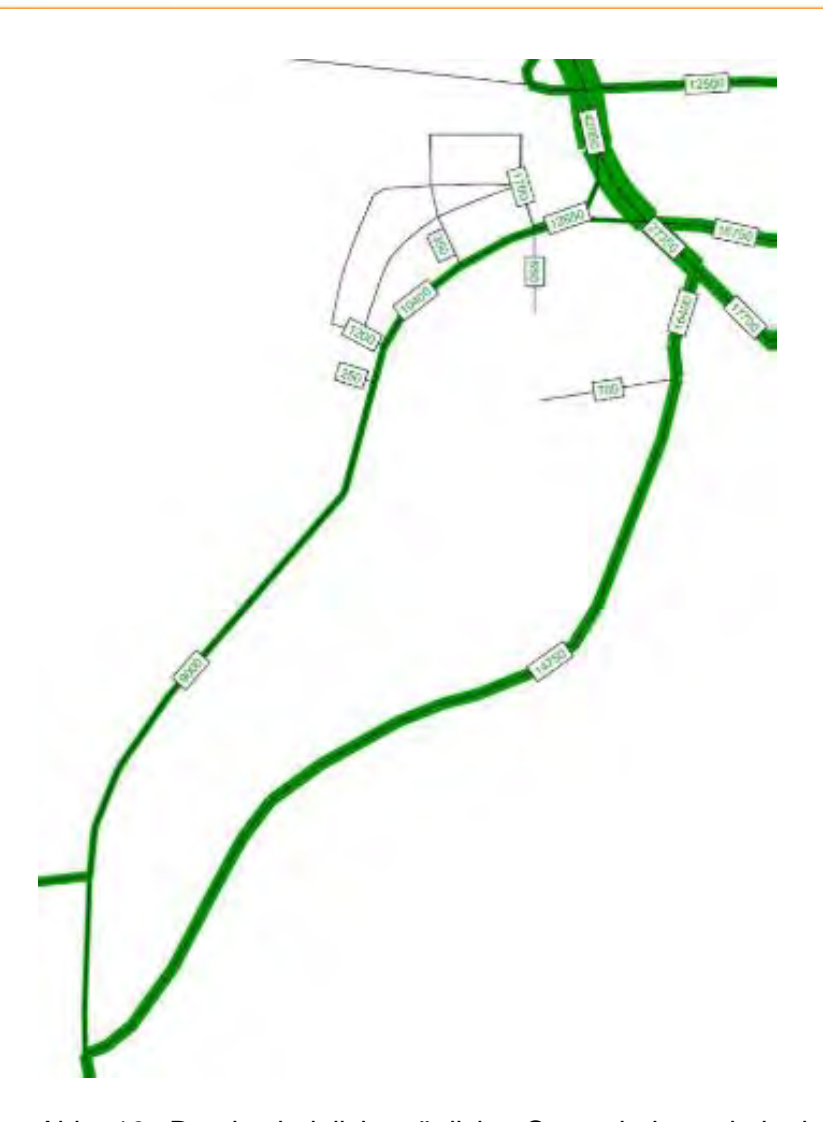


Abb. 16: Durchschnittliche tägliche Querschnittsverkehrsbelastung in Kfz/24 Std.: Verkehrsführungs- und Gestaltungsvariante 2



Abb. 17: Früh- und Nachmittagsspitzenstundenbelastung in Kfz/Std. in Knotenpunktbereichen: Verkehrsführungs- und Gestaltungsvariante 2

#### 5 Wirkungsanalyse

Im Mittelpunkt der Wirkungsanalyse steht die Beurteilung der Verkehrsqualität im Bereich der betrachteten LSA-regelten Knotenpunkte auf der Grundlage der entwickelten Verkehrsführungs- und Gestaltungsvarianten.

Für die Beurteilung der Leistungsfähigkeit im Bereich der betrachteten Knotenpunkte wird die zu erwartende Qualität des Verkehrsablaufs auf der Grundlage des normierten Berechnungsverfahrens nach dem 'HBS Handbuch für die Bemessung von Verkehrsanlagen 2001' ermittelt.

Als Beurteilungsmaßstab für die Leistungsfähigkeit von LSA-gestützten Knotenpunkten werden als Qualitätskriterien die signalgruppenspezifischen mittleren Wartezeiten und die entsprechenden Auslastungsgrade herangezogen. Bei Überschreitung einer mittleren Wartezeit von 70 sec (Qualitätsstufen E-F) und eines Auslastungsgrades von 92 % ist eine ausreichende Leistungsfähigkeit mit starken Stauerscheinungen am Ende der Freigabezeit nicht mehr gegeben.

Im Ergebnis lassen sich differenziert nach den verschiedenen Knotenpunkten die nachfolgenden Qualitätsmerkmale im Verkehrsablauf bezogen auf die alternativen Lösungen zur Verkehrsführung und –anlagengestaltung ableiten.

#### 5.1 KP 410 Lange Brücke/Leipziger Straße/Heinrich-Mann-Allee/Friedrich-Engels-Straße

Im Status-Quo kann ein ausreichende Leistungsfähigkeit im Bereich des KP 410 angesichts von Wartezeiten von 83 sec. in der Frühspitzenstunde im Zuge der Friedrich-Engels-Straße und der Leipziger Straße (Qualitätsstufe E) nicht nachgewiesen werden. Die gesamtknotenpunktbezogene Qualitätsstufe D) repräsentiert ein ausreichendes Maß an Verkehrsqualität (vgl. Abb. 18 und Anhang).

Mit der ansteigenden Verkehrsbelastung in der Nachmittagsspitzenstunde geht eine Erhöhung der Wartezeiten auf die 315 sec. (Qualitätsstufe F) im Zuge der Leipziger Straße und eine Überschreitung der Leistungsfähigkeit des Knotenpunktes einher.

Aus der Umsetzung der Verkehrsführungs- und Gestaltungsvariante 1 resultieren Wartezeiten von 72 sec. (Qualitätsstufe E) in der Frühspitzenstunde und 87 sec. (Qualitätsstufe E) im Zuge der Friedrich-Engels-Straße in der Nachmittagsspitzenstunde. Gesamtknotenpunktbezogen repräsentieren die Qualitätsstufen C und D eine mittlere bis ausreichende Leistungsfähigkeit.

Bei Umbau des Leipziger Dreiecks und Umkehrung der Einbahnstraßenregelung im Zuge der Leipziger Straße gemäß Variante 2 kann eine ausgewogene Kapazitätsstruktur hinsichtlich der einzelnen Verkehrsströme am KP 410 in der Früh- und Nachmittagsspitzenstunde erzielt werden. Gesamtknotenpunktbezogen repräsentieren die Qualitätsstufen C und D eine mittlere bis ausreichende Leistungsfähigkeit.

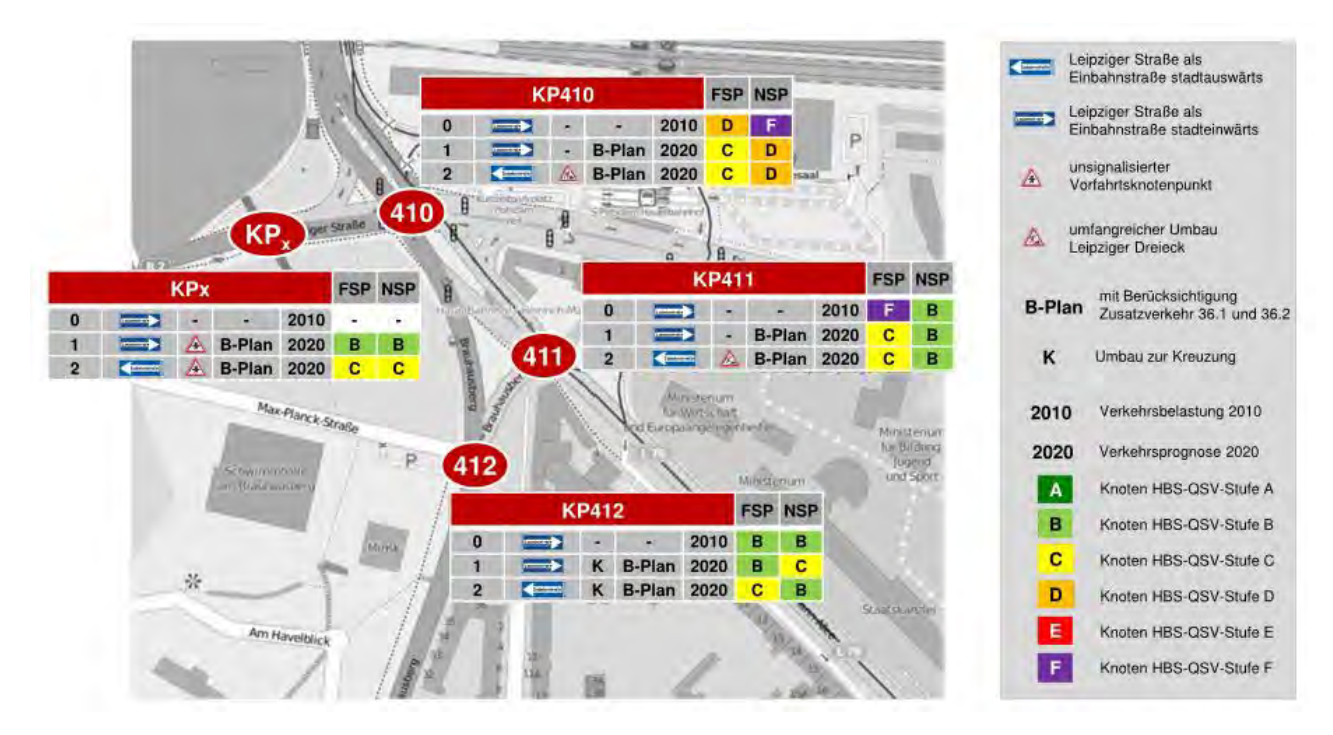


Abb. 18: Prüfung der knotenpunktbezogenen Verkehrsqualität: Status-Quo und Verkehrsführungssowie Gestaltungsvariante 1 und 2

Quelle: ARGE STADT+VERKEHR/DR. BRENNER Ing.-GmbH

#### 5.2 KP 411 Heinrich-Mann-Allee/Straße Brauhausberg

Im Status-Quo wird das hohe Maß an Leistungsfähigkeit (Qualitätsstufe B) am KP 411 in der Nachmittagsspitzenstunde durch eine Überschreitung der Kapazitätsgrenzen mit 238 sec. Wartezeit (Qualitätsstufe F) in der Frühspitzenstunde im Zuge des südlichen Abschnittes der Heinrich-Mann-Allee überlagert (vgl. Abb. 18 und Anhang).

Aus der Umsetzung der Verkehrsführungs- und Gestaltungsvariante 1 resultieren Wartezeiten von 41 sec. (Qualitätsstufe C) in der Frühspitzenstunde und 38 sec. (Qualitätsstufe C) in der Nachmittagsspitzenstunde u.a. im Zuge der Straße Brauhausberg. Gesamtknotenpunktbezogen repräsentieren die Qualitätsstufen B und C eine hohe bis mittlere Leistungsfähigkeit.

Trotz des Anstieges der Knotenpunktbelastung im Falle der Umsetzung der Verkehrsführungs- und Gestaltungsvariante 2 ist mit Wartezeiten von 41 sec. (Qualitätsstufe C) in der Frühspitzenstunde und 40 sec. (Qualitätsstufe C) in der Nachmittagsspitzenstunde im Zuge des südlichen Abschnittes der Heinrich-Mann-Allee gesamtknotenpunktbezogen ein hohes bis mittleres Maß an Leistungsfähigkeit (Qualitätsstufe B und C) sichergestellt..

#### 5.3 KP 412 Straße Brauhausberg/Max-Planck-Straße/Albert-Einstein-Straße

Im Bereich des bestehenden Knotenpunktes KP 412 kann trotz der Wartzeiten von 37 sec. in der Frühspitzenstunde (Qualitätsstufe C) und 65 sec. in der Nachmittagsspitzenstunde (Qualitätsstufe D) bezogen auf die Verkehrsströme der Albert-Einstein-Straße im Status-Quo gesamtknotenpunktbezogen ein hohes Maß an Leistungsfähigkeit (Qualitätsstufe B) nachgewiesen werden, vgl. Abb. 18 und Anhang.



Bei Umbau des KP 412 mit Anbindung der Max-Plack-Straße kann bei der Verkehrsführungs- und Gestaltungsvariante 1 und 2 mit Wartezeiten von 36 sec. (Qualitätsstufe C) in der Früh- und Nachmittagsspitzenstunde im Zuge der Nebenrichtungen gesamtknotenpunktbezogen ein hohes bis mittleres Maß an Leistungsfähigkeit (Qualitätsstufen B und C) sichergestellt werden.

#### 5.4 KPx Leipziger Str./Planstr. B.3 (Speicherstadt)/Tiefgaragenzu- und -ausfahrt (SFB)

Aus der Umsetzung der Verkehrsführungs- und Gestaltungsvariante 1 resultieren Wartezeiten von 14 sec. (Qualitätsstufe B) in der Frühspitzenstunde und 16 sec. (Qualitätsstufe B) in der Nachmittagsspitzenstunde u.a. im Zuge der Planstraße B.3. Gesamtknotenpunktbezogen repräsentiert die Qualitätsstufe B ein hohes Maß an Leistungsfähigkeit (vgl. Abb. 18 und Anhang).

Trotz der ansteigenden Streckenverkehrsbelastung im Zuge der Leipziger Straße bei Umsetzung der Variante 2 kann mit Wartezeiten von 20 sec. (Qualitätsstufe C) in der Frühspitzenstunde und 27 sec. (Qualitätsstufe C) in der Nachmittagsspitzenstunde u.a. im Zuge der Planstraße B.3 gesamtknotenpunktbezogen ein mittleres Maß an Leistungsfähigkeit (Qualitätsstufe C) sichergestellt werden.

#### 6 Fazit

Auf der Grundlage der Ergebnisse der variantenbezogenen Wirkungsanalyse lassen sich zusammengefasst die nachfolgenden Anforderungen hinsichtlich der zukünftigen verkehrlichen Erschließung des Bereiches des Leipziger Dreieckes definieren.

Unter den Maßgabe des Umbaus der zentralen Verknüpfungspunkte des Sport- und Freizeitbades/Wohngebiet 'Am Brauhausberg' und der Speicherstadt im Zuge der Leipziger Straße und der Straße Brauhausberg kann bei Beibehaltung der bestehenden Verkehrsführung gemäß Variante 1 die erforderliche Verkehrsqualität im unmittelbaren äußeren Erschließungsbereich sichergestellt werden. Trotz der prognostizierten Verbesserung der Leistungsfähigkeit der angrenzenden Knotenpunkte KP 410 und KP 411 bleiben die erfassten Defizite (z.B. Umwegfahrten im MIV, umwegige oder unterbundenen Führungen im Fußverkehr und zeitraubend umständlichen Führungen im TRAM-Verkehr) hinsichtlich der bestehenden Verkehrsraumgestaltung und -führung sowie des Verkehrsablaufes im MIV, NMIV und ÖPNV weiterhin bestehen.

Eine Optimierung der Verkehrs- und Erschließungsqualität im Bereich des Leipziger Dreiecks garantiert umfassend die Umsetzung der Verkehrsführungs- und Gestaltungsvariante 2 mit gleichzeitige Sicherstellung der Erschließungsqualität der geplanten Teilquartiere im Hinblick auf:

- die komprimierte, sichere und bedarfsgerechte Gestaltung der Verkehrsanlagen im Zuge der Leipziger Straße, der Heinrich-Mann-Allee und Straße Brauhausberg
- die Schaffung von zusätzliche Aufenthaltsflächen ('Mehr Grün im Straßenraum'), z.B. im Zuge der Leipziger Straße und der Heinrich-Mann-Allee.
- die Sicherstellung von zusätzlichen Fußgänger- und Radfahrerquerungen im Bereich der Knotenpunkte.
- die Vermeidung von Umwegfahrten des straßengebundenen Verkehrs aus südlicher Richtung im Zuge der Friedhofsgasse/Friedrich-Engels-Straße.
- die Umverlegung der TRAM-Trasse und der Haltestelle in die Friedrich-Engels-Straße mit einer direkten Netzverknüpfung im Bereich des ZOB.

Vor diesem Hintergrund ist der mittelfristigen Entwicklung der Bereichserschließung weiterhin die Umsetzung der Verkehrsführungs- und Gestaltungsvariante 2, basierend auf die Umkehrung der Einbahnstraßenregelung<sup>5</sup> im Zuge der Leipziger Straße und den Umbau des Leipziger Dreiecks, zugrundzulegen.

<sup>&</sup>lt;sup>5</sup> Die Umkehrung der Einbahnstraßenregelung im Zuge der Leipziger Straße bedingt die Neuordnung der Erschließung im straßengebundenen ÖPNV. Die entsprechende Betrachtung und Entwicklung der verbindlichen Anforderungen hinsichtlich der Gestaltung des Busliniennetzes sollten den Gegenstand verführender Untersuchungen bilden.

#### Anhang:

Bewertung der Verkehrsqualität im MIV differenziert nach Verkehrsführungs-/Gestaltungsvarianten und Knotenpunkte



### Bewertung der Verkehrsqualität im MIV LSA Leipziger Dreieck, KP410

Nullfall - 2010

#### Randbedingungen:

- Einbahnstraße Leipziger Straße stadteinwärts
- ohne Mehrverkehr nördl. Speicherstadt, SFB und Wohnbebauung Brauhausberg
- ✓ heutige Knotenausbauform
- ✓ Bestandssignalisierung mit 4-phasiger Signalprogrammstruktur und getrennter Bedienung der Querrichtungen Ost und West

KF	KP410		ge Brü	cke	FrEnge	ls-Straße	HMann-Allee Leipzi		er Straße
Spura	ufteilung	HRA1 HRA2	GA	LA1 LA2	RA1 RA2	GALA LA	GA1 GA2 GA3	GARA GA	LA1 LA2
	Fz/h	226 225	416	205 205	165 165	163 87	108 220 220	133 133	270 270
	TFR	18,3	43,3	21,3	16,6	9,9	17,2	11,9	14,8
	g	61,8%	48,0%	48,1%	49,7%	82,3%	63,9%	55,8%	91,2%
FSP	L <sub>Stau</sub>	50 50	60	45 45	40 40	65 40	33 50 50	40 40	90 90
	w	32,7	15,8	29,6	33,0	83,1	33,5	36,6	83,2
	QSV <sub>SG</sub>	В	Α	В	В	E	В	С	E
QS	<b>V</b> <sub>Knoten</sub>					D			

	Fz/h TFR	346 346 18,3	487 43.3	236 236 21.3	211 211 16.6	223 120 9.9	122 245 245	124 123 11.9	258 258 14.8
	a a	94.5%	43,3 56.2%	55.4%	63.5%	9,9 112.6%	71.2%	52.1%	14,8 87.2%
NSP	L <sub>Stau</sub>	115 115	65	50 50	50 50	90 45	40 60 60	35 35	80 80
	W	90,0	16,6	30,2	33,9	315,4	42,7	36,4	72,3
	QSV <sub>SG</sub>	E	Α	В	В	F	С	С	E
QS	V <sub>Knoten</sub>	F							

HRA	Halbrechtsabbiegend	g	Auslastungsgrad [%]
RA	Rechtsabbiegend	L <sub>Stau</sub>	Länge des Stauraumes [m]
GA	Geradeausfahrend	w	mittlere Wartezeit [sec]
LA	Linksabbiegend	$QSV_{SG}$	signalgruppenbezogene Qualitätsstufe LOS
Fz/h	Fahrzeuge pro Stunde	QSV <sub>Knoten</sub>	Qualitätsstufe LOS Gesamtknotenpunkt
TFR	Freigabezeit [sec]	FSP	Frühspitzenverkehr
		NSP	Nachmittagsspitzenverkehr







#### Bewertung der Verkehrsqualität im MIV LSA H.-Mann-Allee / Brauhausberg, KP411

#### Nullfall - 2010

#### Randbedingungen:

- ✓ Einbahnstraße Leipziger Straße stadteinwärts
- ohne Mehrverkehr nördl. Speicherstadt, SFB und Wohnbebauung Brauhausberg
- √ heutige Knotenausbauform
- ✓ Bestandssignalisierung

K	P411	HMann-Allee Nord		HMann-Allee Süd	Bra	Brauhausberg	
Spura	ufteilung	GA1 GA2		GA	RA	LA1	LA2
	Fz/h	233	233	390	87	121	121
	TFR	59	),4	18	10,8		
FOR	g	19,	6%	108,3%	56,0%		
FSP	L <sub>Stau</sub>	30 30		115	20	35	35
	w	6,0		237,7		37,4	
	QSV <sub>SG</sub>	l l	4	F	С		
QSV	/ <sub>Knoten</sub>			F			

QSV <sub>SG</sub>		R R						
	OCV	Λ		D		_		
	w			32,5	32,5 37,1			
	L <sub>Stau</sub>	35	35	90	25	35 35		
NSP	g	23,2	<b>.</b> %	76,6%	5	0,0%		
	TFR	59,	4	32,9		10,8		
	Fz/h	275	275	504	95	108 108		

HRA	Halbrechtsabbiegend	g	Auslastungsgrad [%]
RA	Rechtsabbiegend	L <sub>Stau</sub>	Länge des Stauraumes [m]
GA	Geradeausfahrend	w	mittlere Wartezeit [sec]
LA	Linksabbiegend	$QSV_{SG}$	signalgruppenbezogene Qualitätsstufe LOS
Fz/h	Fahrzeuge pro Stunde	$QSV_{Knoten}$	Qualitätsstufe LOS Gesamtknotenpunkt
TFR	Freigabezeit [sec]	FSP	Frühspitzenverkehr
		NSP	Nachmittagsspitzenverkehr







#### Bewertung der Verkehrsqualität im MIV LSA Brauhausberg / A.-Einstein-Straße, KP412 Nullfall – 2010

#### Randbedingungen:

- Einbahnstraße Leipziger Straße stadteinwärts
  - ohne Mehrverkehr nördl. Speicherstadt, SFB und Wohnbebauung Brauhausberg
- ✓ T-Einmündung
- ✓ Bestandssignalisierung

KF	P412	Brauhaus	berg Nord	Einstei	nstraße	Brauhausberg Süd	
Spura	ufteilung	GA	GALA	RA 🖨	LA	GARA	
	Fz/h	512	179	55	13	317	
	TFR	6	0	10		62	
	g	42,	7%	27,5%		25,5%	
FSP	L <sub>Stau</sub>	5	0	20	10	35	
	w	22	,5	36,7		5,3	
	QSV <sub>SG</sub>	E	3	(	<b>C</b>	Α	
QS	/ <sub>Knoten</sub>			В			

	Fz/h	870 52	151 45	165
	TFR	60	10	62
	g	72,5%	75,5%	13,3%
NSP	L <sub>Stau</sub>	80	55 15	20
	w	11,9	65,3	4,8
	QSV <sub>SG</sub>	Α	D	Α
QSV	/ <sub>Knoten</sub>		В	

HRA	Halbrechtsabbiegend	g	Auslastungsgrad [%]
RA	Rechtsabbiegend	$L_{Stau}$	Länge des Stauraumes [m]
GA	Geradeausfahrend	w	mittlere Wartezeit [sec]
LA	Linksabbiegend	$QSV_{SG}$	signalgruppenbezogene Qualitätsstufe LOS
Fz/h	Fahrzeuge pro Stunde	$QSV_{Knoten}$	Qualitätsstufe LOS Gesamtknotenpunkt
TFR	Freigabezeit [sec]	FSP	Frühspitzenverkehr
		NSP	Nachmittagsspitzenverkehr







#### Bewertung der Verkehrsqualität im MIV LSA Leipziger Dreieck, KP410

#### **Variante 1 – 2020**

#### Randbedingungen:

- Einbahnstraße Leipziger Straße stadteinwärts
- ✓ <u>mit Mehrverkehr nördl. Speicherstadt, SFB und Wohnbebauung Brauhausberg</u>
- √ heutige Knotenausbauform
- ✓ gegenüber Bestand unveränderte phasenbezogene Signalprogrammstruktur

KP410		Lar	ge Brü	cke	FrEnge	ls-Straße	HMann-Allee	Leipziger Straße	
Spura	ufteilung	HRA1 HRA2	GA	LA1 LA2	RA1 RA2	GALA LA	GA1 GA2 GA3	GARA GA	LA1 LA2
	Fz/h	238 238	439	216 215	188 187	214 214	215 215 -	100 100	204 203
	TFR	18,3	43,3	21,3	16,6	9,9	17,2	11,9	14,8
	g	65,0%	50,7%	50,7%	56,6%	77,8%	62,5%	42,0%	68,9%
FSP	L <sub>Stau</sub>	55 55	60	50 50	45 45	55 55	50 50 -	30 30	55 55
	w	32,9	16,0	29,8	33,4	71,5	33,4	35,9	41,9
	QSV <sub>SG</sub>	В	Α	В	В	Е	В	С	С
QSV <sub>Knoten</sub>						С			

	Fz/h	396 396	513	249 248	240 240	214 214	192 192 96	93 93	195 194
	TFR	22	43,3	19,3	14,5	12	17,2	11,9	14,8
	g	90,0%	59,2%	64,5%	82,8%	89,2%	55,8%	39,1%	65,9%
NSP	L <sub>Stau</sub>	100	70	55 55	75 75	80 80	45 45 20	30 30	50 50
	W	58,0	16,9	32,2	65,9	87,4	33,0	35,7	36,7
	QSV <sub>SG</sub>	D	Α	В	D	E	В	С	С
QS	V <sub>Knoten</sub>	D							

HRA	Halbrechtsabbiegend	g	Auslastungsgrad [%]
RA	Rechtsabbiegend	$L_{Stau}$	Länge des Stauraumes [m]
GA	Geradeausfahrend	W	mittlere Wartezeit [sec]
LA	Linksabbiegend	$QSV_{SG}$	signalgruppenbezogene Qualitätsstufe LOS
Fz/h	Fahrzeuge pro Stunde	QSV <sub>Knoten</sub>	Qualitätsstufe LOS Gesamtknotenpunkt
TFR	Freigabezeit [sec]	FSP	Frühspitzenverkehr
		NSP	Nachmittagsspitzenverkehr







#### Bewertung der Verkehrsqualität im MIV LSA H.-Mann-Allee / Brauhausberg, KP411

#### **Variante 1 – 2020**

#### Randbedingungen:

- Einbahnstraße Leipziger Straße stadteinwärts
- ✓ mit Mehrverkehr nördl. Speicherstadt, SFB und Wohnbebauung Brauhausberg
- √ heutige Knotenausbauform
- √ gegenüber Bestand unveränderte phasenbezogene Signalprogrammstruktur

KI	P411	HMann-Allee Nord		HMann-Allee Süd	Brauhausberg		
Spura	ufteilung	GA1	GA2	GA2 GA		LA1	LA2
	Fz/h	146	145	253	103	143	142
	TFR	FR 59,4		18	10,8		
	g	12	,3%	70,3%	66,2%		
FSP	L <sub>Stau</sub>	20	20	60	20	40	40
	w	5	,7	40,5		40,7	
	QSV <sub>SG</sub>		A	С		С	
QS	V <sub>Knoten</sub>			С			

QSV <sub>Knoten</sub>		В					
	$QSV_{SG}$	A		В С			
	W	5,8	8	22,1	37,5		
NSP	L <sub>Stau</sub>	25	25	55	25 35 35		
	g	14,5	5%	49,9%	59,3%		
	TFR	59,	,4	32,9	10,8		
	Fz/h	172	171	328	112 143 142		

HRA	Halbrechtsabbiegend	g	Auslastungsgrad [%]
RA	Rechtsabbiegend	$L_{Stau}$	Länge des Stauraumes [m]
GA	Geradeausfahrend	w	mittlere Wartezeit [sec]
LA	Linksabbiegend	$QSV_{SG}$	signalgruppenbezogene Qualitätsstufe LOS
Fz/h	Fahrzeuge pro Stunde	QSV <sub>Knoten</sub>	Qualitätsstufe LOS Gesamtknotenpunkt
TFR	Freigabezeit [sec]	FSP	Frühspitzenverkehr
		NSP	Nachmittagsspitzenverkehr





В



**Variante 1 – 2020** 

**QSV**<sub>Knoten</sub>

#### Bewertung der Verkehrsqualität im MIV LSA Brauhausberg / A.-Einstein-Straße, KP412

#### Randbedingungen:

Einbahnstraße Leipziger Straße stadteinwärts



- mit Mehrverkehr nördl. Speicherstadt, SFB und Wohnbebauung Brauhausberg
- Umbau zum 4-armigen Knotenpunkt
- gegenüber Bestand unveränderte phasenbezogene Signalprogrammstruktur

KF	P412	Brauhaus	berg Nord	Einsteir	nstraße	Brauhausber g Süd	MPlanck- Straße
Spuraufteilung		GARA	GALA	GARA	LA	GARALA	GARALA
	Fz/h	525	219	31	11	425	84
	TFR	60	60	12		60	12
FOR	g	43,8%	35,5%	12,9	9%	35,4%	35,0%
FSP	L <sub>Stau</sub>	50	30	15	5	45	30
	W	7,1	6,6	34,4		6,5	35,5
	QSV <sub>SG</sub>	Α	Α	Е	3	Α	С

QS	V <sub>Knoten</sub>		C						
	QSV <sub>SG</sub>	В	Α	С		Α	С		
	w	20,3	7,5	35	5	5,7	35,2		
NSP	L <sub>Stau</sub>	105	35	30	)	30	25		
NGD	g	90,3%	49,5%	35,8	3%	19,2%	29,5%		
	TFR		60	12		60	12		
	Fz/h	1083	297	86	35	230	71		

HRA	Halbrechtsabbiegend	g	Auslastungsgrad [%]
RA	Rechtsabbiegend	$L_{Stau}$	Länge des Stauraumes [m]
GA	Geradeausfahrend	w	mittlere Wartezeit [sec]
LA	Linksabbiegend	$QSV_{SG}$	signalgruppenbezogene Qualitätsstufe LOS
Fz/h	Fahrzeuge pro Stunde	$QSV_{Knoten}$	Qualitätsstufe LOS Gesamtknotenpunkt
TFR	Freigabezeit [sec]	FSP	Frühspitzenverkehr
		NSP	Nachmittagsspitzenverkehr



#### Bewertung der Verkehrsqualität im MIV KP Leipziger Straße / Planstraße B3, KP<sub>x</sub> **Variante 1 – 2020**

#### Randbedingungen:

Einbahnstraße Leipziger Straße stadteinwärts



- mit Mehrverkehr nördl. Speicherstadt, SFB und Wohnbebauung Brauhausberg
- 4-armiger Knotenpunkt

Leipz. Str. / B3		Leipziger Str. West			Zufahrt Tiefgarage	Leipziger Str. Ost	Planstr. B3
Spuraufteilung		RA	GA	GALA	GARALA	GARALA	GARALA
	Fz/h	8	264	263	26	116	92
	g	0,0%	15,0%	15,0%	4,0%	8,0%	26,0%
FSP	L <sub>Stau</sub>	0	0	0	6	6	12
	w	0,0	0,0	0,0	6,3	2,5	13,6
	QSV	Α	Α	Α	Α	Α	В
QS\	/ <sub>Knoten</sub>				В		

	Fz/h	22	249	249	58	194	45
	g	1,0%	14,0%	14,0%	10,0%	15,0%	16,0%
NSP	L <sub>Stau</sub>	0	0	0	6	6	6
	W	0,0	0,0	0,0	6,9	3,2	15,3
	QSV	Α	Α	A	A	A	В
QS	V <sub>Knoten</sub>				В		

HRA	Halbrechtsabbiegend	g	Auslastungsgrad [%]
RA	Rechtsabbiegend	L <sub>Stau</sub>	Länge des Stauraumes [m]
GA	Geradeausfahrend	w	mittlere Wartezeit [sec]
LA	Linksabbiegend	QSV <sub>Knoten</sub>	Qualitätsstufe LOS Gesamtknotenpunkt
Fz/h	Fahrzeuge pro Stunde	FSP	Frühspitzenverkehr
		NSP	Nachmittagsspitzenverkehr





#### Bewertung der Verkehrsqualität im MIV LSA Leipziger Dreieck, KP410

**Variante 2 – 2020** 

#### Randbedingungen:

Einbahnstraße Leipziger Straße stadtauswärts



- mit Mehrverkehr nördl. Speicherstadt, SFB und Wohnbebauung Brauhausberg
- neuer Knotenausbau mit Fahrbahnrückbau und Verbesserungen im ÖV und NMIV
- neue 3-phasige Signalprogrammstruktur mit gemeinsamer Bedienung der MIV-Querrichtung West ⇔ Ost.....siehe ab Anlage 6.3.1.2

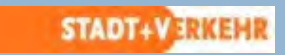
KF	P410	Lange Brücke		Fr	Enge	-Engels-Straße			HMann-Allee			Leipziger Straße	
Spura	ufteilung	GA	LA1	LA2	RA1	RA2	GA	LA	GA1	GA2	LA	GARA	LA
	Fz/h	506	180	180	127	126	329	76	489	489	88	136	154
	TFR	30	1	3	1	2	21	(21)	35	35	(35)	21	(21)
	g	84,3%	69,	2%	52,	9%	78,3%	25,3%	69	,8%	36,6%	32,4%	77,0%
FSP	L <sub>Stau</sub>	100	50	50	35	35	80	25	80	80	30	35	55
	w	41,3	44	,7	36	5,4	46,9	32,6	26	3,0	35,5	28,6	69,1
	QSV <sub>SG</sub>	С	C	;	(	)	С	В	ı	В	С	В	D
QSV <sub>Knoten</sub>					С								

QS	V <sub>Knoten</sub>					D				
	QSV <sub>SG</sub>	D	D	С	В	В	В	С	В	С
	w	63,6	63,2	36,2	31,5	32,2	27,8	36,2	29,0	36,0
NSP	L <sub>Stau</sub>	135	70 70	45 40	55	30	85 85	35	30	35
	g	93,6%	80,4%	62,3%	61,3%	31,6%	72,4%	50,0%	27,0%	46,7%
	TFR	30	14	13	20	(20)	35 35	(35)	20	(20)
	Fz/h	562	225 225	162 161	245	101	507 507	120	108	112

HRA	Halbrechtsabbiegend	g	Auslastungsgrad [%]
RA	Rechtsabbiegend	L <sub>Stau</sub>	Länge des Stauraumes [m]
GA	Geradeausfahrend	w	mittlere Wartezeit [sec]
LA	Linksabbiegend	$QSV_{SG}$	signalgruppenbezogene Qualitätsstufe LOS
Fz/h	Fahrzeuge pro Stunde	$QSV_{Knoten}$	Qualitätsstufe LOS Gesamtknotenpunkt
TFR	Freigabezeit [sec]	FSP	Frühspitzenverkehr
		NSP	Nachmittagsspitzenverkehr

Hinweis:

Klammerwerte Freigabezeit: Linksabbiegerabfluss erfolgt mittels Durchsetzen und beim Phasenwechsel







#### Basis-Signalisierungsstruktur LSA Leipziger Dreieck, KP410 Variante 2

# 

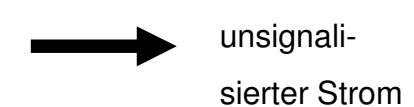
#### **Phasenablauf**















#### Basis-Signalisierungsstruktur LSA Leipziger Dreieck, KP410 Variante 2

# PH<sub>2</sub>

#### **Phasenablauf**



MIV



Radverkehr



Fußverkehr



unsignali-

sierter Strom



gesperrter

Verkehrsstrom



#### Basis-Signalisierungsstruktur LSA Leipziger Dreieck, KP410 Variante 2

# PH<sub>3</sub>

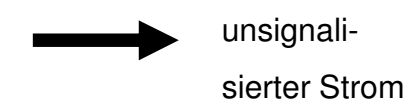
#### **Phasenablauf**













#### Bewertung der Verkehrsqualität im MIV LSA H.-Mann-Allee / Brauhausberg, KP411 **Variante 2 – 2020**

#### Randbedingungen:

Einbahnstraße Leipziger Straße stadtauswärts



- mit Mehrverkehr nördl. Speicherstadt, SFB und Wohnbebauung Brauhausberg
- neuer Knotenausbau mit Fahrbahnrückbau und Verbesserungen im ÖV
- neue lediglich 2-phasige Signalprogrammstruktur .....siehe ab Anlage 6.3.2.2

KP411		HMann-Allee Nord		HMann-Allee Süd		Brauhausberg		
Spuraufteilung		RA	GA	LA	GA	LA	LA	LARA
	Fz/h	398	338	75	283	378	378	330
	TFR	41	41	(48)	48	26	26	26
	g	48,5%	41,2%	62,5%	19,5%	72,7%	72,7%	63,4%
FSP	L <sub>Stau</sub>	60	50	25	40	75	75	65
	w	17,1	16,4	40,9	11,6	35,4	35,4	27,9
	QSV <sub>SG</sub>	Α	Α	С	A	С	С	В
QSV <sub>Knoten</sub>				С				

	Fz/h TFR	425 33	366 33	(48)	365 48	345	345 26	348 26
NSP	g	64,4%	55,4	65,0%	38,0%		66,3%	66,3%
	L <sub>Stau</sub>	70	60	35	50	65	65	65
	W	23,6	22,7	39,6	12,3	29,3	29,3	29,3
	QSV <sub>SG</sub>	В	В	С	A	В	В	В
QSV <sub>Knoten</sub>				В				

HRA	Halbrechtsabbiegend	g	Auslastungsgrad [%]
RA	Rechtsabbiegend	$L_{Stau}$	Länge des Stauraumes [m]
GA	Geradeausfahrend	w	mittlere Wartezeit [sec]
LA	Linksabbiegend	$QSV_{SG}$	signalgruppenbezogene Qualitätsstufe LOS
Fz/h	Fahrzeuge pro Stunde	QSV <sub>Knoten</sub>	Qualitätsstufe LOS Gesamtknotenpunkt
TFR	Freigabezeit [sec]	FSP	Frühspitzenverkehr
		NSP	Nachmittagsspitzenverkehr

Hinweis:

Klammerwerte Freigabezeit: Linksabbiegerabfluss erfolgt mittels Durchsetzen und beim Phasenwechsel







#### Basis-Signalisierungsstruktur H.-Mann-Allee / Brauhausberg, KP411 Variante 2

# PH<sub>1</sub>

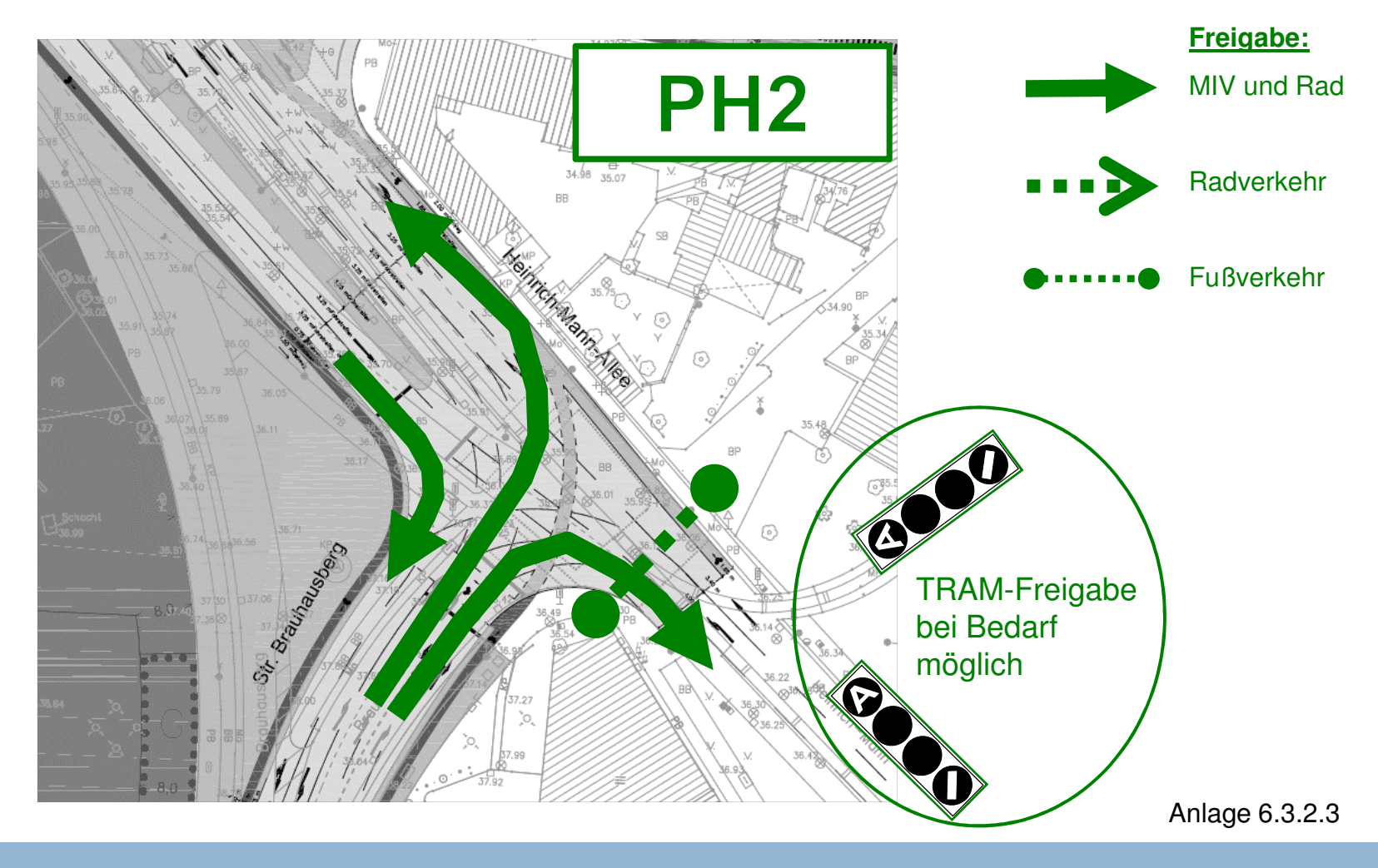
#### **Phasenablauf**





#### Basis-Signalisierungsstruktur H.-Mann-Allee / Brauhausberg, KP411 Variante 2

#### **Phasenablauf**







#### Bewertung der Verkehrsqualität im MIV LSA Brauhausberg / H.-Mann-Allee, KP412 **Variante 2 – 2020**

#### Randbedingungen:

Einbahnstraße Leipziger Straße stadtauswärts



- mit Mehrverkehr nördl. Speicherstadt, SFB und Wohnbebauung Brauhausberg
- Umbau zum 4-armigen Knotenpunkt
- gegenüber Bestand unveränderte phasenbezogene Signalprogrammstruktur

KP412		Brauhausberg Nord		Einsteinstraße		Brauhausberg Süd		MPlanck-Straße	
Spura	ufteilung	GARA	LA	GARA	LA	GARA	GALA	GARALA	
	Fz/h	256	142	26	7	553	552	86	
	TFR	60	(60)	12	(12)	60	60	12	
	g	21,3%	50,7%	10,8%	2,5%	46,1%	43,5%	35,8%	
FSP	L <sub>Stau</sub>	30	40	15	10	50	50	30	
	W	5,8	34,8	34,3	32,2	7,2	7	35,5	
	$QSV_{SG}$	Α	В	В	В	A	Α	С	
QSV <sub>Knoten</sub>					С				

QSV <sub>Knoten</sub>					В			
NSP	QSV <sub>SG</sub>	Α	В	С	В	Α	A	С
	w	6,4	32,8	35,2	32,5	6,7	6,7	35,2
	L <sub>Stau</sub>	40	20	25	15	45	45	25
	g	32,0%	14,6%	30,4%	7,9%	38,0%	38,8%	30,0%
	TFR	60	(60)	12	(12)	60	60	12
	Fz/h	384	41	73	22	456	466	72

HRA	Halbrechtsabbiegend	g	Auslastungsgrad [%]
RA	Rechtsabbiegend	L <sub>Stau</sub>	Länge des Stauraumes [m]
GA	Geradeausfahrend	w	mittlere Wartezeit [sec]
LA	Linksabbiegend	$QSV_{SG}$	signalgruppenbezogene Qualitätsstufe LOS
Fz/h	Fahrzeuge pro Stunde	$QSV_{Knoten}$	Qualitätsstufe LOS Gesamtknotenpunkt
TFR	Freigabezeit [sec]	FSP	Frühspitzenverkehr
		NSP	Nachmittagsspitzenverkehr

Klammerwerte Freigabezeit: Linksabbiegerabfluss erfolgt mittels Durchsetzen und beim Phasenwechsel



## Bewertung der Verkehrsqualität im MIV KP Leipziger Straße / Planstraße B3, $KP_x$ Variante 2 – 2020

#### Randbedingungen:

- Einbahnstraße Leipziger Straße stadtauswärts
- mit Mehrverkehr nördl. Speicherstadt, SFB und Wohnbebauung Brauhausberg
- ✓ 4-armiger Knotenpunkt

Leipz.	Str. / B3	Leipziger	Str. West	Zufahrt Tiefgarage	Leipzige	r Str. Ost	Planstr. B3
Spurau	ıfteilung	GARA	LA	GARALA	GARA	LA	GARALA
	Fz/h	91	0	17	861	14	92
	g	5,0%	5,0%	3,0%	48,0%	1,0%	34,0%
FSP	L <sub>Stau</sub>	0	0	6	0	6	12
	W	0,0	0,0	6,0	0,0	2,9	20,2
ľ	QSV	Α	A	A	Α	Α	С
QSV <sub>Knoten</sub>				С			

QSV <sub>Knoten</sub>		С						
	QSV	A	Α	A	A	Α	С	
	W	0,0	0,0	6,6	0,0	2,9	27,2	
NSP	$L_{Stau}$	0	0	6	0	6	12	
	g	3,0%	3,0%	6,0%	64,0%	4,0%	25,0%	
	Fz/h	45	0	36	1156	52	45	

Halbrechtsabbiegend	g	Auslastungsgrad [%]
Rechtsabbiegend	L <sub>Stau</sub>	Länge des Stauraumes [m]
Geradeausfahrend	w	mittlere Wartezeit [sec]
Linksabbiegend	$QSV_{Knoten}$	Qualitätsstufe LOS Gesamtknotenpunkt
Fahrzeuge pro Stunde	FSP	Frühspitzenverkehr
	NSP	Nachmittagsspitzenverkehr
	Rechtsabbiegend Geradeausfahrend Linksabbiegend	Rechtsabbiegend L <sub>Stau</sub> Geradeausfahrend w  Linksabbiegend QSV <sub>knoten</sub> Fahrzeuge pro Stunde FSP



#### **ARBEITSGEMEINSCHAFT**



Ingenieurbüro Terfort



# ERARBEITUNG EINER INTEGRATIVEN VERKEHRLICHEN UND STÄDTEBAULICHEN KONZEPTION FÜR DAS LEIPZIGER DREIECK IN DER LANDESHAUPTSTADT POTSDAM (FORTSCHREIBUNG 2014)

#### - TEIL 2: LUFTSCHADSTOFFTECHNISCHE UNTERSUCHUNG -



#### **Endbericht**

Im Auftrag der



Stadtverwaltung der Landeshauptstadt Potsdam Fachbereich Grün- und Verkehrsflächen Bereich Verkehr und Technik (475)

## ERARBEITUNG EINER INTEGRATIVEN VERKEHRLICHEN UND STÄDTEBAULICHEN KONZEPTION FÜR DAS LEIPZIGER DREIECK IN DER LANDESHAUPTSTADT POTSDAM (FORTSCHREIBUNG 2014)

Teil 2: Luftschadstofftechnische Untersuchung

**Endbericht** 

Auftraggeber: Landeshauptstadt Potsdam

Geschäftsbereich 4 Fachbereich Grün- und Verkehrsflächen Bereich Verkehr und Technik Hegelallee 6-10

14467 Potsdam

Auftragnehmer: ARBEITSGEMEINSCHAFT

Gutachterliche Bearbeitung:

DR. BRENNER INGENIEURGESELLSCHAFT MBH

BERNARD Gruppe Niederlassung Berlin Nordlichtstraße 17 13405 Berlin

Tel.: 030 - 41 77 99 0 Fax: 030 - 41 77 99 33

info.berlin@brenner-ingenieure.de Ansprechpartner: Dipl.-Ing. Matthias Eirich

und

Kaufmännische und technische Leitung:

STADT + VERKEHR

Ingenieurbüro Terfort Gutenbergstr. 76 14467 Potsdam

Tel.: 03 31 . 200 27 30 Fax: 03 31 . 200 27 31

Email: terfort@stadtundverkehr.de

Ansprechpartner: Dipl.-Ing. Thorsten Terfort

Potsdam, den 08.07.2014

#### **ARBEITSGEMEINSCHAFT**



Ingenieurbüro Terfort



# ERARBEITUNG EINER INTEGRATIVEN VERKEHRLICHEN UND STÄDTEBAULICHEN KONZEPTION FÜR DAS LEIPZIGER DREIECK IN DER LANDESHAUPTSTADT POTSDAM (FORTSCHREIBUNG 2014)

#### - TEIL 2: LUFTSCHADSTOFFTECHNISCHE UNTERSUCHUNG -



#### **Endbericht**

Im Auftrag der



Stadtverwaltung der Landeshauptstadt Potsdam Fachbereich Grün- und Verkehrsflächen Bereich Verkehr und Technik (475)

## ERARBEITUNG EINER INTEGRATIVEN VERKEHRLICHEN UND STÄDTEBAULICHEN KONZEPTION FÜR DAS LEIPZIGER DREIECK IN DER LANDESHAUPTSTADT POTSDAM (FORTSCHREIBUNG 2014)

Teil 2: Luftschadstofftechnische Untersuchung

**Endbericht** 

Auftraggeber: Landeshauptstadt Potsdam

Geschäftsbereich 4 Fachbereich Grün- und Verkehrsflächen Bereich Verkehr und Technik Hegelallee 6-10

14467 Potsdam

Auftragnehmer: ARBEITSGEMEINSCHAFT

Gutachterliche Bearbeitung:

DR. BRENNER INGENIEURGESELLSCHAFT MBH

BERNARD Gruppe Niederlassung Berlin Nordlichtstraße 17 13405 Berlin

Tel.: 030 - 41 77 99 0 Fax: 030 - 41 77 99 33

info.berlin@brenner-ingenieure.de Ansprechpartner: Dipl.-Ing. Matthias Eirich

und

Kaufmännische und technische Leitung:

STADT + VERKEHR

Ingenieurbüro Terfort Gutenbergstr. 76 14467 Potsdam

Tel.: 03 31 . 200 27 30 Fax: 03 31 . 200 27 31

Email: terfort@stadtundverkehr.de

Ansprechpartner: Dipl.-Ing. Thorsten Terfort

Potsdam, den 08.07.2014

#### **INHALTSVERZEICHNIS**

1	Aufgabenstellung	1
2	Überblick der Ergebnisse	2
2.1	Darstellung und Bewertung der Gestaltungsvariante 1 2020	2
2.2	Darstellung und Bewertung der Gestaltungsvariante 2 2020	3
2.3	Gegenüberstellung der Prognose-Varianten	3
3	Grundlagen	4
3.1	Normative und informative Grundlagen	4
3.2	Untersuchungsraum	5
3.3	Verkehrstechnische Randbedingungen	8
3.4	Verkehrsprognosebelastungen	12
4	Netzfallbetrachtungen	13
4.1	Gestaltungsvariante 1 2020	13
4.2	Gestaltungsvariante 2 2020	16
5	METHODIK	18
5.1	Erhebung und Beurteilung der Prognose-Varianten	18
5.2	Modellierung der Eingriffswirkung	19
5.3	Beurteilung der Eingriffswirkung	22
6	DARSTELLUNG UND BEWERTUNG DER ERGEBNISSE	22
6.1	Meteorologie	22
6.2	Beurteilung der Prognose-Fälle	24
7	Verzeichnis der Quellen	28



Anhang I: Prognose Gestaltungsvariante 1 – NO<sub>2</sub>-JMW Zusatzbelastung
 Anhang II: Prognose Gestaltungsvariante 1 – PM10-JMW Zusatzbelastung
 Anhang III: Prognose Gestaltungsvariante 2 – NO<sub>2</sub>-JMW Zusatzbelastung

**Anhang IV:** Prognose Gestaltungsvariante 2 – PM10-JMW Zusatzbelastung

Anhang V: Unterschiede zwischen Prognose Gestaltungsvariante 1 und Prognose Gestal-

tungsvariante 2 NO2-JMW Zusatzbelastung

Anhang VI: Unterschiede zwischen Prognose Gestaltungsvariante 1 und Prognose Gestal-

tungsvariante 2 PM10-JMW Zusatzbelastung



#### **ABKÜRZUNGSVERZEICHNIS**

DTV: Durchschnittliche tägliche Verkehrsstärke, Angabe erfolgt in Kfz / 24 Stunden

DTV<sub>W</sub>: Durchschnittliche tägliche Verkehrsstärke werktags, Angabe erfolgt in Kfz / 24 Stun-

den

FSP: Frühspitzenstunde

HBEFA 3.1: Version 3.1 des Handbuchs für Emissionsfaktoren

JMW: Jahresmittelwert

Kfz: Kraftfahrzeuge

KP: Knotenpunkt

LOS: Level of Service

MIV: Motorisierter Individualverkehr

MISKAM: Mikroskaliges Klima- und Ausbreitungsmodell

NSP: Nachmittagsspitzenstunde

NO<sub>2</sub>: Stickstoffdioxid

PM10: Feinstaub

TEU: Traffic Eye Universal (TEU) System der Siemens AG, autarkes Detektionssystem

zur Erfassung und Weitergabe von Verkehrsdaten im Rahmen eines Verkehrsma-

nagementsystems

#### **ABBILUNGSVERZEICHNIS**

Abbildung 1: Vorhandene und geplante Bebauung beiderseits der Leipziger Straße und des gesamten Untersuchungsraumes [MASTERPLAN, 2010] 6

Abbildung 2: Bebauungsplan Nr. 36-1, "Speicherstadt / Leipziger Straße" [B-PLAN\_36-1,

2014]

Abbildung 3: Bebauungsplan Nr. 36-2, "Leipziger Straße / Brauhausberg" [B-PLAN\_36-2, 2014]

Abbildung 4: Verortung der betrachteten Abschnitte

Abbildung 5: Prognose- Gestaltungsvariante 1 2020, Betrachtungsgebiet mit stadteinwärtiger Fahrtrichtung



Abbildung 6	: Prognose- Gestaltungsvariante 1 2020, Durchschnittliche tägliche Verkehrsstärke (DTV) an Knotenpunkten, alle Angaben in Kfz/24h	14
Abbildung 7	: Prognose- Gestaltungsvariante 1 2020, Verkehrsmodell	15
Abbildung 8	: Prognose- Gestaltungsvariante 2 2020, Betrachtungsgebiet mit stadtauswärtiger Fahrtrichtung	16
Abbildung 9	: Prognose- Gestaltungsvariante 2 2020, Durchschnittliche tägliche Verkehrsstärke (DTV) an Knotenpunkten, alle Angaben in Kfz/24h	17
Abbildung 1	0: Prognose- Gestaltungsvariante 2 2020, Verkehrsmodell	18
Abbildung 1	1: Anströmrichtung nach Windgeschwindigkeitsklassen	23
Abbildung 1	2: Histogramm der Windgeschwindigkeitsverteilung	23
TABELLE	NVERZEICHNIS	
Tabelle 1:	Auflistung der Grenzwerte – Prognose- Gestaltungsvariante 1 2020	2
Tabelle 2:	Auflistung der Grenzwerte – Prognose- Gestaltungsvariante 2 2020	3
Tabelle 3:	Aktuelle Kfz-Verkehrsmengen (05/2014) in der Leipziger Straße und Brauhausberg	9
Tabelle 4:	Tagesganglinien des Kfz-Verkehrs (05/2014) in der Leipziger Straße und Brauhausberg	9
Tabelle 5:	Aktuelle SV-Mengen >7m (05/2014) in der Leipziger Straße und Brauhausberg	10
Tabelle 6:	Tagesganglinien des Schwerverkehrs (05/2014) in der Leipziger Straße und Brauhausberg	10
Tabelle 7:	Tageszeitlich und räumliche Unterteilung der LOS-Stufen der Gestaltungsvariante 2 und Gestaltungsvariante 1	12
Tabelle 8:	Auflistung der Hintergrundbelastungen	19
Tabelle 9:	Motorbezogene Emissionsfaktoren	20
Tabelle 10:	Nicht-motorbezogene Emissionsfaktoren	21
Tabelle 11:	Gesamtemission für PM10	21
Tabelle 12:	Immissionsgrenzwerte gemäß TA-Luft und 39.BImSchV	24
Tabelle 13:	Unterschied der Jahresmittelwerte zwischen den Prognose-Fällen	25





Integrative verkehr- und städtebauliche Konzeption für das Leipziger Dreieck in Potsdam (Fortschreibung 2014)	
Teil 2: Luftschadstofftechnische Untersuchung	

٧

Tabelle 14: Jahresmittelwerte für NO <sub>2</sub> und PM10 für die Prognose-Fälle	25
---	----

Überschreitungstage des		
		26



#### 1 Aufgabenstellung

Im Rahmen der Fortschreibung der integrativen verkehr- und städtebaulichen Konzeption für das Leipziger Dreieck bestand die Aufgabe, die durch den Verkehr zu erwartenden Luftschadstoffbelastungen zu ermitteln und deren Auswirkungen auf die vorhandene und die geplante Bebauung beiderseits der Leipziger Straße und den anliegenden Straßenzügen darzustellen. Hierbei waren die städtebaulichen Entwürfe für die Speicherstadt und den Brauhausberg sowie die aktuellen Bebauungspläne 36-1 [B-PLAN\_36-1, 2014] und 36-2 [B-PLAN\_36-2, 2014] einzubeziehen.

Das dem vorliegenden luftschadstofftechnischen Immissionsschutzgutachten zugrundeliegende Verkehrsaufkommen war für das Prognosejahr 2020 abzubilden. Der Prognosehorizont wurde mit dem Jahr 2020 zeitlich so gesetzt, dass die Emissionsbelastungen zum Zeitpunkt der Fertigstellung der ersten Neubauten in der nördlichen Speicherstadt aufgezeigt werden.

Die Untersuchung soll die lufttechnische Situation für zwei Planfälle bzw. Varianten (Gestaltungsvariante 1 und Gestaltungsvariante 2) aufzeigen und die immissionsseitigen Auswirkungen hinsichtlich der Luftschadstoffe Stickstoffdioxid (NO<sub>2</sub>) und Feinstaub (PM10) darstellen bzw. gegenüberstellen. Beide Varianten gehen von der verkehrlichen Erschließung der Bebauungspläne Nr. 36-1 und 36-2 sowie dem Aus- bzw. Umbau der Leipziger Straße zwischen Persiusspeicher und dem Knotenpunkt Leipziger Straße / Lange Brücke / Friedrich-Engels-Straße / Heinrich-Mann-Allee (KP 410, Leipziger Dreieck) aus. Sie unterscheiden sich aber im Wesentlichen hinsichtlich der Führung des Verkehrs und der verkehrlichen Auswirkungen, die aus der angeordneten Einbahnstraßenregelung in der Leipziger Straße auf dem Abschnitt zwischen der Templiner Straße und dem Persiusspeicher resultieren. Die Gestaltungsvariante 1 beschreibt die heutige Verkehrsführung in der Leipziger Straße und regelt die Einbahnstraße in stadteinwärtiger Richtung. In der Gestaltungsvariante 2 wird die Einbahnstraße gegenüber der heutigen Anordnung gedreht und der Verkehr in der Leipziger Straße in stadtauswärtiger Richtung geführt.

Die luftschadstofftechnische Untersuchung der Planfälle erfolgte mit der Software MISKAM (Mikroskaliges Klima- und Ausbreitungsmodell) vom Ingenieurbüro Lohmeyer GmbH & Co. KG. Das Programm liefert die kleinräumige Prognose von Windverteilungen und Konzentrationen in der Umgebung von Einzelgebäuden, sowie in Straßen bis hin zu Stadtteilen unter Anwendung eines dreidimensionalen nicht-hydrostatischen Strömungs- und Ausbreitungsmodells.

Das vorhandene Berechnungsmodell der Leipziger Straße war zunächst durch die geplanten Wohnblöcke, die ergänzenden Bauten laut Bebauungsplan Nr. 36-1 und 36-2 sowie die geplante Verkehrsinfrastruktur (Straßen, Knotenpunkte, Randbebauung, usw.) im Planungsgebiet zu erweitern. Die entsprechenden Verkehrskenndaten für das Prognosejahr 2020 in den relevanten Straßenabschnitten wurden im Vorfeld ermittelt und der luftschadstofftechnischen Untersuchung zur Verfügung gestellt.

Nach Festlegung der Immissionsaufpunkte war die auftretende Schadstoffbelastung an der Quelle nach dem Emissionsmodell HBEFA 3.1 (UBA, 2010) für die im Abgas enthaltenen Schadstoffe Feinstaub (PM10) und Stickstoffdioxid (NO<sub>2</sub>) zu bestimmen. Die Staubaufwirbelungen durch Abrieb wurden, entsprechend der vorangegangenen Untersuchungen [LUTU, 2013] und den zugehörigen Abstimmungen mit dem zuständigen Sachverständigen des LUGV, mit dem Ansatz "Einbindung des HBEFA 3.1 in das FIS Umwelt und Verkehr sowie Neufassung der Emissionsfaktoren für



Aufwirbelung und Abrieb des Straßenverkehrs, Tabelle 3.21" ermittelt. Nach der Bestimmung der Schadstoffemissionen war die Immissionsbelastung an den gewählten Aufpunkten zu berechnen.

Für die meteorologischen Daten wurde, ebenfalls entsprechend der vorangegangenen Untersuchungen [LUTU, 2013] und den zugehörigen Abstimmungen mit dem zuständigen Sachverständigen des LUGV ein repräsentativer Datensatz [VORBELASTUNG, 2013] (Windrichtung, Windgeschwindigkeit und Ausbreitungsklasse) von der Messstation Berlin-Grunewald herangezogen.

Im Ergebnis der Untersuchung sollten Rasterschadstoffkarten für Feinstaub (PM10) und Stickstoffdioxid (NO<sub>2</sub>) für den relevanten Planungsbereich in der Leipziger Straße sowie der Bebauung entsprechend dem Bebauungsplan Nr. 36-1 und 36-2 erstellt werden, die einen detaillierten Aufschluss über die örtliche Ausbreitung der Luftschadstoffe geben.

#### 2 Überblick der Ergebnisse

Im vorliegenden Bericht werden die Ergebnisse der durchgeführten lufttechnischen Untersuchung für den Planungsbereich der Leipziger Straße und dem Brauhausberg sowie der Bebauung entsprechend dem Bebauungsplan Nr. 36-1 und 36-2 aufgezeigt. Die Untersuchung betrachtet die Auswirkungen des geplanten Bauvorhabens auf die Luftqualität, hinsichtlich der luftfremden Stoffe Stickstoffdioxid (NO<sub>2</sub>) Partikel (PM10), im Bereich Leipziger Straße und Brauhausberg.

Nachfolgend wird die Lufttechnische Situation der Gestaltungsvariante 1 und der Gestaltungsvariante 2 in der Prognose 2020 dargestellt und bewertet. Eine detaillierte Auflistung der Ergebnisse ist unter Punkt 6.2 ersichtlich.

#### 2.1 Darstellung und Bewertung der Prognose-Gestaltungsvariante 1 2020

Die Ergebnisse der Lufttechnischen Untersuchung zeigen, dass für die Prognose-Gestaltungsvariante 1 2020 keine Grenzwertüberschreitungen nach TA-Luft und 39.BImSchV hinsichtlich PM10 zu erwarten sind. Für NO<sub>2</sub> werden die Grenzwerte nach TA-Luft und 39.BImSchV [TA & 39.BIMSCHV, 2010] ebenfalls eingehalten.

Die für die Berechnung herangezogene Hintergrundbelastung [VORBELASTUNG, 2013] wurde entsprechend den vorangegangenen Untersuchungen [LUTU, 2013] und den zugehörigen Abstimmungen mit dem zuständigen Sachverständigen des LUGV gewählt.

Grenzwert	eingehalten		
	PM10	NO <sub>2</sub>	
JMW	Ja	Ja	
TMW-Überschreitungstage	Ja	Nicht anwendbar	
MW1	Nicht anwendbar	Ja	

Tabelle 1: Auflistung der Grenzwerte – Prognose- Gestaltungsvariante 1 2020

In der Prognose- Gestaltungsvariante 1 werden für PM10 die zulässigen 35 Grenzwertüberschreitungstage des Grenzwertes von 50µg/m³ für den Tagesmittelwert (TMW) an allen Immissionsaufpunkten eingehalten. Hierbei werden maximal 21 Überschreitungstage generiert. Im Durchschnitt aller Aufpunkte ist mit rund 14 Überschreitungstagen zu rechnen.



Der Jahresmittelwert (JMW) ist für PM10 durchschnittlich 22,7μg/m³ bzw. maximal 25,4μg/m³ und liegt dementsprechend deutlich unter dem Grenzwert von 40,0μg/m³.

Für  $NO_2$  liegt sowohl der Jahresmittelwert (JMW) mit durchschnittlich  $21,1\mu g/m^3$  und maximal  $29,4\mu g/m^3$  deutlich unter dem geforderten Grenzwert von  $40,0\mu g/m^3$ , als auch der Halbstundenmittelwert (HMW) mit durchschnittlich  $56,7\mu g/m^3$  und maximal  $69,6\mu g/m^3$  deutlich unter dem geforderten Grenzwert von  $200,0\mu g/m^3$ .

#### 2.2 Darstellung und Bewertung der Prognose-Gestaltungsvariante 2 2020

Für die Prognose- Gestaltungsvariante 2 2020 zeigen die Ergebnisse der Lufttechnischen Untersuchung, dass keine Grenzwertüberschreitungen nach TA-Luft und 39. BImSchV hinsichtlich PM10 zu erwarten sind. Für NO<sub>2</sub> werden die Grenzwerte nach TA-Luft und 39.BImSchV [TA & 39.BIMSCHV, 2010] ebenfalls eingehalten.

Die für die Berechnung herangezogene Hintergrundbelastung [VORBELASTUNG, 2013] wurde entsprechend den vorangegangenen Untersuchungen [LUTU, 2013] und den zugehörigen Abstimmungen mit dem zuständigen Sachverständigen des LUGV gewählt.

Grenzwert	eingehalten		
	PM10	NO <sub>2</sub>	
JMW	Ja	Ja	
TMW-Überschreitungstage	Ja	Nicht anwendbar	
MW1	Nicht anwendbar	Ja	

Tabelle 2: Auflistung der Grenzwerte – Prognose- Gestaltungsvariante 2 2020

In der Prognose-Gestaltungsvariante 2 werden an allen Immissionsaufpunkten die zulässigen 35 Grenzwertüberschreitungstage des Grenzwertes von 50,0µg/m³ für den Tagesmittelwert (TMW) von PM10 eingehalten. Es werden maximal 22 und im Durchschnitt über alle Aufpunkte rund 14 Überschreitungstagen generiert.

Der Jahresmittelwert (JMW) wird für PM10 bei der Prognose-Gestaltungsvariante 2 2020 an allen Immissionsaufpunkten eingehalten. Im Durchschnitt liegt der Jahresmittelwert (JMW) für PM10 bei 22,6 $\mu$ g/m³ bzw. maximal bei 25,9 $\mu$ g/m³ und ist dementsprechend deutlich unter dem Grenzwert von 40,0 $\mu$ g/m³.

Für  $NO_2$  liegt sowohl der Jahresmittelwert (JMW) mit durchschnittlich  $21,4\mu g/m^3$  und maximal  $30,5\mu g/m^3$  deutlich unter dem geforderten Grenzwert von  $40,0\mu g/m^3$ , als auch der Halbstundenmittelwert (HMW) mit durchschnittlich  $57,2\mu g/m^3$  und maximal  $71,2\mu g/m^3$  deutlich unter dem geforderten Grenzwert von  $200,0\mu g/m^3$ .

#### 2.3 Gegenüberstellung der Prognose-Varianten

Wie in den Rasterschadstoffkarten im Anhang ersichtlich, ist generell die immissionsseitige Zusatzbelastung in der Prognose-Gestaltungsvariante 1 in drei Knotenarmen des Leipziger Dreiecks (in der Leipziger Straße, der Langen Brücke und der Friedrich-Engels-Straße) geringfügig höher, als in der Prognose-Gestaltungsvariante 2. Im südlichen Knotenarm des Leipziger Dreiecks (Hein-



rich-Mann-Allee) ist die immissionsseitige Zusatzbelastung in der Prognose-Gestaltungsvariante 1 jedoch etwas geringer, als in der Prognose-Gestaltungsvariante 2.

Für PM10 zeigen die Rasterschadstoffkarten im Anhang zwar geringfügige Differenzen, jedoch weichen die berechneten Ergebnisse an den jeweiligen Immissionsaufpunkten nur maximal 0,5μg/m³ voneinander ab, daher sind die beiden Prognose-Varianten hinsichtlich der zusätzlichen Feinstaubbelastung als gleichwertig zu betrachten.

Für NO<sub>2</sub> zeigen die Rasterschadstoffkarten im Anhang etwas deutlichere Unterschiede zwischen den Prognose-Varianten, die rechnerisch ermittelten Ergebnisse an den jeweiligen Immissionsaufpunkten variieren mit einer maximalen Differenz des Jahresmittelwertes von 1,7μg/m³ bzw. des Tagesmittelwertes von 2,6μg/m³ ebenfalls nur in geringem Maße.

#### 3 Grundlagen

Im nachfolgenden Kapitel werden die Grundlagen der Untersuchung (Untersuchungsraum sowie die wesentlichen Normen- und Datengrundlagen) dargelegt.

#### 3.1 Normative und informative Grundlagen

Relevante Daten wurden aus folgenden Unterlagen entnommen.

- Erarbeitung einer integrativen verkehrlichen und städtebaulichen Konzeption für das Leipziger Dreieck in der Landeshauptstadt Potsdam (Fortschreibung 2014), Teil 1: Verkehrstechnische Untersuchung, Dr. Brenner Ingenieurgesellschaft mbH, Stadt + Verkehr Ingenieurbüro Terfort, Juli 2014
- Speicherstadt Potsdam L\u00e4rmtechnische Untersuchung, Dr. Brenner Ingenieurgesellschaft mbH, 04.12.2011
- Lufttechnische Untersuchen zur Bewertung der Luftschadstoffbelastung an der Leipziger Straße und deren Auswirkungen auf die nördliche Speicherstadt Potsdam, Dr. Brenner Ingenieurgesellschaft mbH, Retter & Partner Ziviltechniker Ges.m.b.H., Juli 2013
- Luftgütedaten Jahreskurzbericht Partikel (PM10) 2011, Ministerium für Umwelt, Gesundheit und Verbraucherschutz Land Brandenburg, 01.03.2012
- Luftgütedaten Stickstoffoxide Jahreskurzbericht 2011, Ministerium für Umwelt, Gesundheit und Verbraucherschutz Land Brandenburg, 04.01.2012
- Ermittlung eines repräsentativen Jahres, Deutscher Wetterdienst Abteilung Klima und Umweltberatung, 11.05.2012
- Handbuch für Emissionsfaktoren des Straßenverkehrs 3.1 (HBEFA), UBA, Jan. 2012
- Einbindung des HBEFA 3.1 in das FIS Umwelt und Verkehr sowie Neufassung der Emissionsfaktoren für Aufwirbelung und Abrieb des Straßenverkehrs, Ingenieurbüro Lohmeyer GmbH & Co. KG im Auftrag des Sächsischen Landesamtes für Umwelt, Landwirtschaft und Geologie (LfULG), Juni 2011



- Endbericht Verkehrsgutachten Einfluss des Verkehrs und seiner Entwicklung auf die Luftqualität im Land Brandenburg, IVU Umwelt GmbH, 26.03.2012
- Handbuch IMMISem/luft/lärm Version 5.1, IVU Umwelt GmbH, März. 2011
- Modellierung verkehrsbedingter Immissionen Anforderungen an die Eingangsdaten Grundlagen HBEFA 3.1, LUBW Landesanstalt für Umwelt, Messungen und Naturschutz Baden-Württemberg, Dez. 2010

Für die Beurteilung der durch den Verkehr zu erwartenden Luftschadstoffbelastungen auf der Leipziger Straße sind im Rahmen dieser Untersuchung die folgenden normativen Grundlagen maßgeblich.

- 39. Verordnung zur Durchführung des Bundes-Immissionsschutzgesetzes, Verordnung über Luftqualitätsstandards und Emissionshöchstmengen (39.BImSchV), 02.08.2010
- Erste Allgemeine Verwaltungsvorschrift zum Bundes- Immissionsschutzgesetz (Technische Anleitung zur Reinhaltung der Luft TA Luft), Bundesministerium für Umwelt, Naturschutz und Reaktorsicherheit, 24.07.2002

#### 3.2 Untersuchungsraum

Der Untersuchungsraum umfasst die Gebiete des Bebauungsplans Nr. 36-1 "Speicherstadt / Leipziger Straße" und des Bebauungsplan Nr. 36-2 "Leipziger Straße / Brauhausberg".

In Abbildung 1 werden die vorhandene sowie die geplante Bebauung [MASTERPLAN, 2010] beiderseits der Leipziger Straße und des gesamten Untersuchungsraumes dargestellt.



Abbildung 1: Vorhandene und geplante Bebauung beiderseits der Leipziger Straße und des gesamten Untersuchungsraumes [MASTERPLAN, 2010]

Der Masterplan ist im Ausschuss für Stadtplanung und Bauen am 07.09.2010 gemeinsam mit den Erkenntnissen von verkehrstechnischen Untersuchungen zum Leipziger Dreieck, zur Leipziger Straße und zur Straße am Brauhausberg [SUV-UIC, 2008], [ERSCHLIESSUNG, 2011], [VER-KEHRSKONZ., 2011] vorgestellt worden. Auf der Basis dieses Masterplans wurden die Entwürfe der Bebauungspläne Nr. 36-1 "Speicherstadt / Leipziger Straße" (vgl. Abbildung 2) und Nr. 36-2 "Leipziger Straße / Brauhausberg" (vgl. Abbildung 3) erarbeitet.

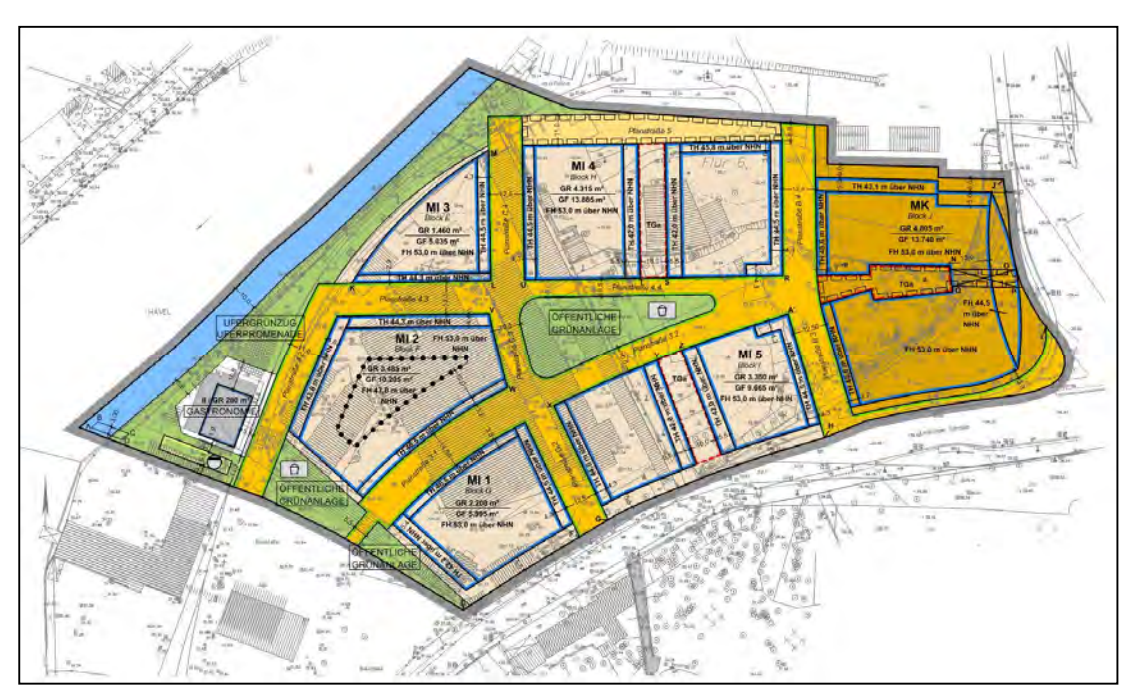


Abbildung 2: Bebauungsplan Nr. 36-1, "Speicherstadt / Leipziger Straße" [B-PLAN\_36-1, 2014]

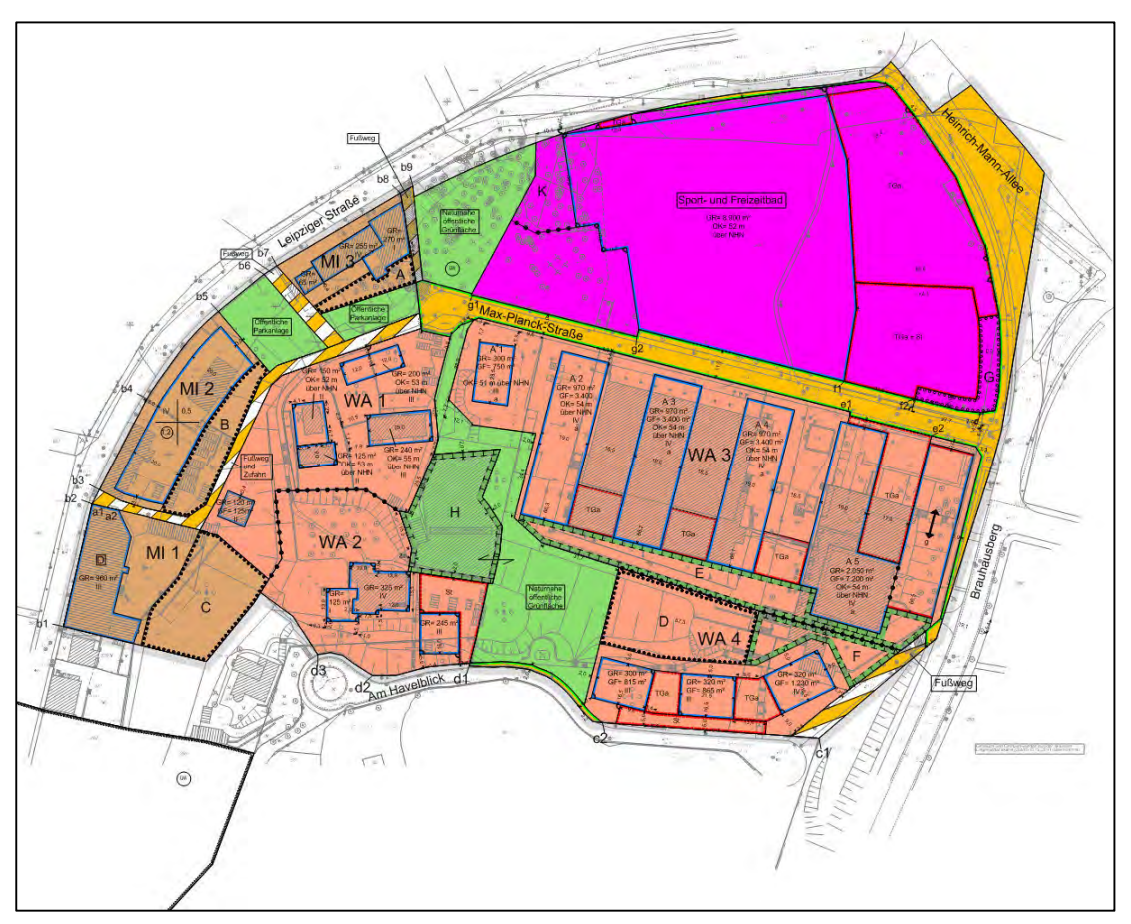


Abbildung 3: Bebauungsplan Nr. 36-2, "Leipziger Straße / Brauhausberg" [B-PLAN\_36-2, 2014]

# 3.3 Verkehrstechnische Randbedingungen

Neben dem prognostizierten Verkehrsaufkommen (Durchschnittliche tägliche Verkehrsstärke werktags (DTV<sub>w</sub>)) ist die Struktur bzw. die Zusammensetzung des Verkehrs sowie die Qualität des Verkehrsablaufs in den hier untersuchten Gestaltungsvarianten 1 und 2 zur Berechnung der verkehrsbedingten Emissionen und zur Bewertung der Luftschadstoffimmissionen zu bestimmen.

In diesem Zusammenhang wurden an folgenden Straßenquerschnitten aktuelle (Mai 2014) und repräsentative Verkehrsdaten über 24 Stunden von automatischen Erfassungseinrichtungen (TEU) - unterteilt in Kfz-Verkehr und Schwerverkehr - ausgewertet und für die weiteren verkehrs- und lufttechnischen Berechnungen aufbereitet und verwendet:

- in der Leipziger Straße stadteinwärts über TEU410\_2.1,
- auf dem Brauhausberg stadtauswärts über TEU411\_1.1 und
- auf dem Brauhausberg stadteinwärts über TEU411 1.2.

Unter Berücksichtigung der tageszeitlich schwankenden Verkehrsbelastungen wurden zur späteren Unterteilung in die LOS-Stufen (Level-of-Service gemäß HBEFA3.1) folgende vier (in Potsdam übliche) Tageszeitbereiche festgelegt:

Frühspitzenstunde 4 h
Tagesverkehrszeit 6 h
Nachmittagsspitzenstunde 3 h
Schwachlastzeit 11 h

Die nachfolgenden Tabellen und Abbildungen zeigen die verwendeten absoluten Verkehrsmengen (Kfz-Gesamtverkehr und Schwerverkehr) sowie die stündlichen Verkehrsverteilungen an den erwähnten Messstellen.



TEU Leipziger Straße: MQTEU410TEU2.1					
Uhrzeit	Fz/h	%-Anteil			
0-1	20	0,2%			
1-2	11	0,1%			
2-3	13	0,2%			
3-4	20	0,2%			
4-5	56	0,7%			
5-6	281	3,4%			
6-7	655	7,9%			
7-8	867	10,4%			
8-9	687	8,3%			
9-10	566	6,8%			
10-11	451	5,4%			
11-12	418	5,0%			
12-13	412	5,0%			
13-14	479	5,8%			
14-15	488	5,9%			
15-16	570	6,9%			
16-17	519	6,2%			
17-18	498	6,0%			
18-19	423	5,1%			
19-20	329	4,0%			
20-21	223	2,7%			
21-22	169	2,0%			
22-23	107	1,3%			
23-24	55	0,7%			
DTV	8316	100,0%			

Brauhausberg: TEU411TEU1.1					
Uhrzeit	Fz/h	%-Anteil			
0-1	25	0,3%			
1-2	17	0,2%			
2-3	9	0,1%			
3-4	13	0,2%			
4-5	25	0,3%			
5-6	123	1,6%			
6-7	299	3,9%			
7-8	415	5,4%			
8-9	436	5,7%			
9-10	421	5,5%			
10-11	410	5,4%			
11-12	428	5,6%			
12-13	433	5,7%			
13-14	481	6,3%			
14-15	537	7,0%			
15-16	648	8,5%			
16-17	690	9,0%			
17-18	624	8,2%			
18-19	570	7,4%			
19-20	391	5,1%			
20-21	280	3,7%			
21-22	177	2,3%			
22-23	136	1,8%			
23-24	72	0,9%			
DTV	7660	100,0%			

Brauhausberg: TEU411TEU1.2						
Uhrzeit	Fz/h	%-Anteil				
0-1	4	0,2%				
1-2	4	0,2%				
2-3	2	0,1%				
3-4	2	0,1%				
4-5	7	0,4%				
5-6	44	2,6%				
6-7	136	8,2%				
7-8	220	13,3%				
8-9	162	9,8%				
9-10	125	7,5%				
10-11	97	5,9%				
11-12	87	5,3%				
12-13	88	5,3%				
13-14	85	5,1%				
14-15	95	5,7%				
15-16	100	6,0%				
16-17	93	5,6%				
17-18	88	5,3%				
18-19	77	4,7%				
19-20	56	3,4%				
20-21	33	2,0%				
21-22	26	1,6%				
22-23	17	1,0%				
23-24	10	0,6%				
DTV	1657	100,0%				

Tabelle 3: Aktuelle Kfz-Verkehrsmengen (05/2014) in der Leipziger Straße und Brauhausberg







Tabelle 4: Tagesganglinien des Kfz-Verkehrs (05/2014) in der Leipziger Straße und Brauhausberg

Leipziger Straß	Leipziger Straße: TEU410TEU2.1					
Uhrzeit	SV/h	%-Anteil				
0-1	3	0,6%				
1-2	1	0,3%				
2-3	1	0,2%				
3-4	2	0,5%				
4-5	7	1,6%				
5-6	16	3,7%				
6-7	35	8,1%				
7-8	42	9,8%				
8-9	39	8,9%				
9-10	31	7,1%				
10-11	32	7,4%				
11-12	29	6,8%				
12-13	30	6,9%				
13-14	28	6,5%				
14-15	30	6,8%				
15-16	26	6,1%				
16-17	20	4,6%				
17-18	17	3,9%				
18-19	13	3,0%				
19-20	8	1,8%				
20-21	8	1,8%				
21-22	7	1,5%				
22-23	6	1,4%				
23-24	3	0,7%				
DTV <sub>sv</sub>	433	100,0%				

Brauhausberg: TEU411TEU1.1					
Uhrzeit	SV/h	%-Anteil			
0-1	1	0,3%			
1-2	2	0,4%			
2-3	1	0,3%			
3-4	1	0,2%			
4-5	2	0,5%			
5-6	8	2,2%			
6-7	18	4,8%			
7-8	28	7,5%			
8-9	32	8,6%			
9-10	31	8,1%			
10-11	34	9,0%			
11-12	31	8,3%			
12-13	28	7,5%			
13-14	34	9,1%			
14-15	32	8,4%			
15-16	32	8,4%			
16-17	24	6,3%			
17-18	12	3,1%			
18-19	11	2,8%			
19-20	5	1,4%			
20-21	4	1,1%			
21-22	2	0,5%			
22-23	2	0,4%			
23-24	3	0,8%			
DTV <sub>SV</sub>	376	100,0%			

Brauhausberg: TEU411TEU1.2						
Uhrzeit	SV/h	%-Anteil				
0-1	1	0,9%				
1-2	2	1,9%				
2-3	0	0,4%				
3-4	0	0,3%				
4-5	1	1,4%				
5-6	1	1,7%				
6-7	5	6,4%				
7-8	8	10,2%				
8-9	6	7,3%				
9-10	6	7,9%				
10-11	7	8,6%				
11-12	7	9,2%				
12-13	6	7,3%				
13-14	6	7,0%				
14-15	7	8,3%				
15-16	6	7,2%				
16-17	3	3,3%				
17-18	3	3,2%				
18-19	1	1,8%				
19-20	1	0,9%				
20-21	1	1,3%				
21-22	1	1,5%				
22-23	1	0,6%				
23-24	1	1,3%				
DTV <sub>SV</sub>	78	100,0%				

Tabelle 5: Aktuelle Schwerverkehrsmengen >7m (05/2014) in der Leipziger Straße und Brauhausberg







Tabelle 6: Tagesganglinien des Schwerverkehrs (05/2014) in der Leipziger Straße und Brauhausberg

Für die modellhafte Ermittlung der verkehrsbedingten Emissionen auf der Beurteilungsgrundlage des HBEFA3.1 ist darüber hinaus die Bestimmung der Verkehrsqualität von entscheidender Bedeutung. Diese wird in sogenannte LOS-Stufen unterteilt, die einen bestimmten Verkehrsflussgrad beschreiben bzw. unterstellen:

LOS 1: flüssig

LOS 2: dicht

LOS 3: gesättigt

LOS 4: stop & go



Um für die Emissionsberechnungen eine möglichst genaue, nach Ort und Zeit differenzierte Beschreibung der Verkehrsqualität im Untersuchungsraum sicherzustellen, erfolgte eine diesbezügliche Aufgliederung in mehrere Abschnitte und Zeitintervalle.

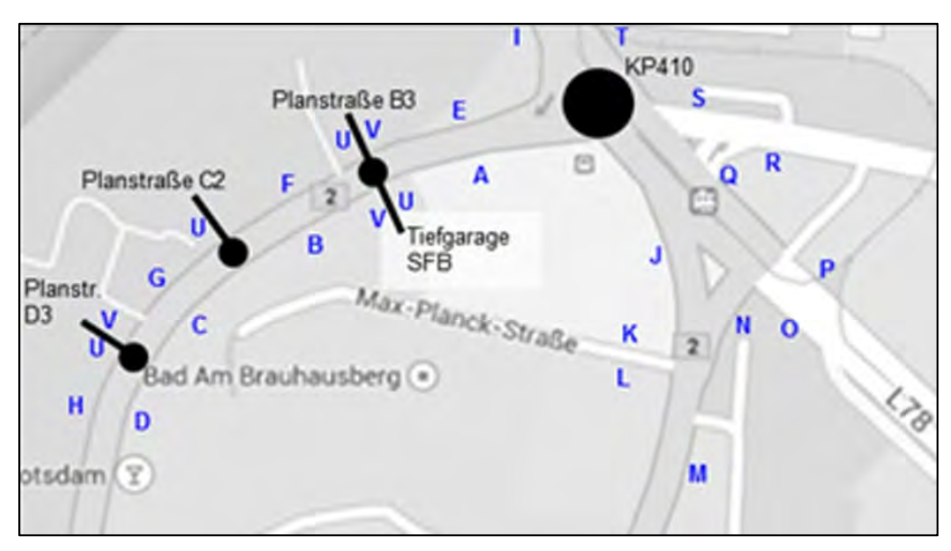


Abbildung 4: Verortung der betrachteten Abschnitte

Gestaltungsvariante 2			Ge	estaltu	ngsvar	iante 1			
Ab-	tageszeitabhängige LOS-Stufen			jige	Ab-	tag		abhäng Stufen	jige
schnitt	FSP	TAG	NSP	SCH	schnitt	FSP	TAG	NSP	SCH
Α	4	4	4	4	Α	4	3	4	2
В	1	1	1	1	В	4	2	3	2
С	1	1	1	1	С	3	2	2	1
D	-	-	-	-	D	2	1	2	1
E	2	1	2	1	E	1	1	1	1
F	1	1	2	1	F	1	1	1	1
G	1	1	1	1	G	1	1	1	1
Н	1	1	1	1	Н	-	-	-	-
- 1	3	2	4	2	- 1	3	2	4	2
J	2	2	2	2	J	3	2	3	2
K	1	1	1	1	K	1	1	1	1
L	4	4	4	4	L	4	4	4	4
М	4	3	4	2	М	3	2	3	1
N	4	3	4	2	N	4	2	4	1
0	2	1	2	1	0	2	1	2	1
Р	4	3	4	2	Р	4	3	4	2
Q	4	3	4	2	Q	4	3	4	2
R	2	1	2	1	R	2	1	2	1
S	4	3	4	2	S	4	3	4	2

Gestaltungsvariante 2			Ge	estaltu	ngsvar	iante 1			
Ab-	tag	eszeita LOS-	abhäng Stufen	ige	Ab-	tag		abhäng Stufen	ige
schnitt	FSP	TAG	NSP	SCH	schnitt	FSP	TAG	NSP	SCH
Т	3	2	3	1	Т	3	2	3	1
U	4	4	4	4	U	4	4	4	4
V	1	1	1	1	V	1	1	1	1

Tabelle 7: Tageszeitlich und räumliche Unterteilung der LOS-Stufen der Gestaltungsvarianten 2 und 1

Die hier dargestellten Verkehrsdaten bildeten u.a. die Grundlage der luftschadstofftechnischen Immissionsberechnungen.

# 3.4 Verkehrsprognosebelastungen

Die Verkehrsprognosebelastungen der Gestaltungsvarianten 1 und 2 wurden auf Grundlage des vorhandenen Verkehrsmodells des Stadtentwicklungskonzeptes Verkehr der Landeshauptstadt Potsdam zur Fortschreibung des Verkehrsentwicklungsplanes bis 2025 [STEK, 2011] berechnet. Der Prognosehorizont ist das Jahr 2020. Dieser Horizont soll Aussagen darüber liefern, welche Emissionsbelastungen mit den ersten neu gebauten Objekten in der nördlichen Speicherstadt zu erwarten sind.

Das eingesetzte Verkehrsmodell basiert auf einer Software für Verkehrsanalysen, Verkehrsprognosen und GIS-orientierte Datenverwaltung [PTV VISUM, 2013]. Mit dem Verkehrsmodell können alle Verkehrsteilnehmer und ihre Interaktion abgebildet werden. Es gilt als Standard für verkehrsplanerische Fragestellungen in der Landeshauptstadt Potsdam. Die Software wird für die Modellierung von Verkehrsnetzen und der Verkehrsnachfrage, zur Analyse der zu erwartenden Verkehrsströme, zur ÖV-Angebotsplanung sowie zur Entwicklung von anspruchsvollen Verkehrsstrategien und -lösungen eingesetzt.

Die Netzberechnungen erfolgten auf Grundlage des oben genannten Verkehrsmodells der Landeshauptstadt Potsdam. Dieses wird mit folgenden Straßenzügen eingegrenzt:

- im Osten: BAB115

im Süden: BAB10 Südlicher Berliner Ring
 im Westen: BAB10 Westlicher Berliner Ring

im Norden: B5

Die Umlegungsrechnungen des Verkehrsmodels erfolgten über die gesamte oben genannte Ausdehnung. Für die Darstellung der Untersuchungsergebnisse wurden die Abgrenzungen des Untersuchungsraumes (gemäß Abbildung 2) herangezogen.

Im Vorfeld der Umlegungsrechnungen wurden projektspezifische Anpassungen und Änderungen am vorhandenen Netzmodell für die Gestaltungsvarianten 1 und 2 durchgeführt. Hierzu mussten neue Netzelemente im Bereich des Bebauungsplanes Nr. 36-1 und 36-2 aufgenommen und zu untersuchende Anbindungen an das Straßennetz ergänzt sowie die entsprechenden Verkehrsführungen definiert werden. Darüber hinaus war die Fahrtenmatrix des Kfz-Verkehrs an den Progno-



sehorizont anzupassen, da das Verkehrsmodell des Stadtentwicklungskonzeptes Verkehr der Landeshauptstadt Potsdam das Prognosejahr 2025 abbildet.

# 4 Netzfallbetrachtungen

### 4.1 Prognose-Gestaltungsvariante 1 2020

Die vorhandene und die geplante Bebauung beiderseits der Leipziger Straße soll in der Gestaltungsvariante 1 gemäß der verkehrlichen Erschließung (siehe Abbildung 5) über vier Knoten an das Straßennetz angebunden werden. Über diese Knotenpunkte fließt der Quell- und Zielverkehr der Speicherstadt und der B-Plangebiete.



Abbildung 5: Prognose-Gestaltungsvariante 1 2020, äußere Verkehrserschließung der Speicherstadt und der Bebauungspläne Nr. 36-1 und 36-2 in der Leipziger Straße

In Abbildung 6 sind die durch die Speicherstadt und durch die B-Plangebiete induzierten Kfz-Verkehre in der Gestaltungsvariante 1 ersichtlich.

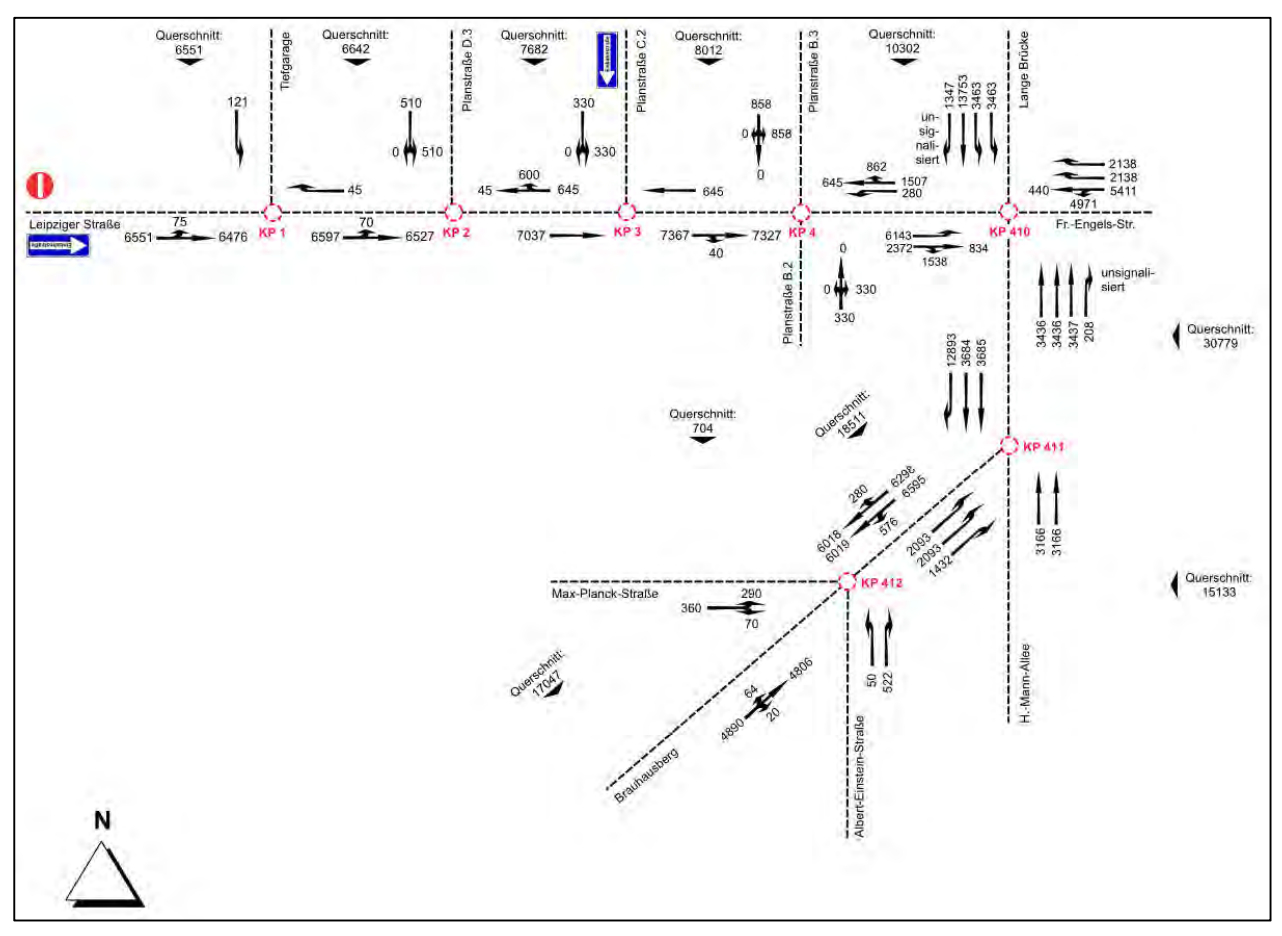


Abbildung 6: Prognose-Gestaltungsvariante 1 2020, Durchschnittliche tägliche Verkehrsstärke (DTV) an Knotenpunkten, alle Angaben in Kfz/24h

Das Verkehrsmodell für die Prognose-Gestaltungsvariante 1 2020 ist in der Abbildung 7 ersichtlich.

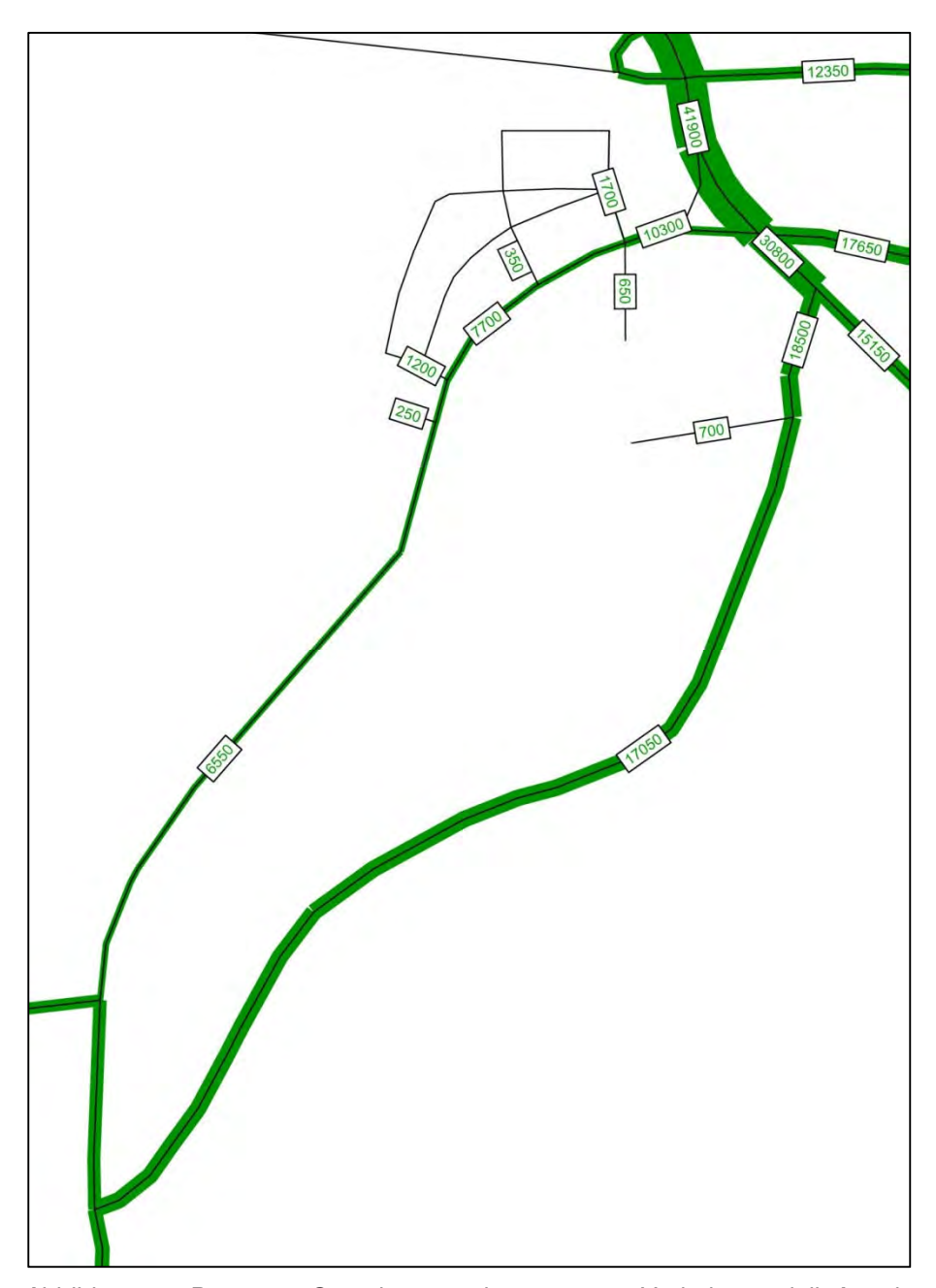


Abbildung 7: Prognose-Gestaltungsvariante 1 2020, Verkehrsmodell, Angaben in Kfz/24h

Die Berechnungen zur Prognose-Gestaltungsvariante 1 2020 unterstellen für den Abschnitt der Leipziger Straße eine zulässige Geschwindigkeit von 50 km/h.

### 4.2 Prognose-Gestaltungsvariante 2 2020

Die vorhandene und die geplante Bebauung beiderseits der Leipziger Straße soll in der Gestaltungsvariante 2 wie in der Gestaltungsvariante 1 über vier Knotenpunkte an das Straßennetz angebunden werden (siehe Abbildung 8). Über diese Knotenpunkte fließt der Quell- und Zielverkehr der Speicherstadt und der



Abbildung 8: Prognose-Gestaltungsvariante 2 2020, äußere Verkehrserschließung der Speicherstadt und der Bebauungspläne Nr. 36-1 und 36-2 in der Leipziger Straße

In Abbildung 9 sind die durch die Speicherstadt und durch die B-Plangebiete induzierten Kfz-Verkehre in der Gestaltungsvariante 2 ersichtlich.

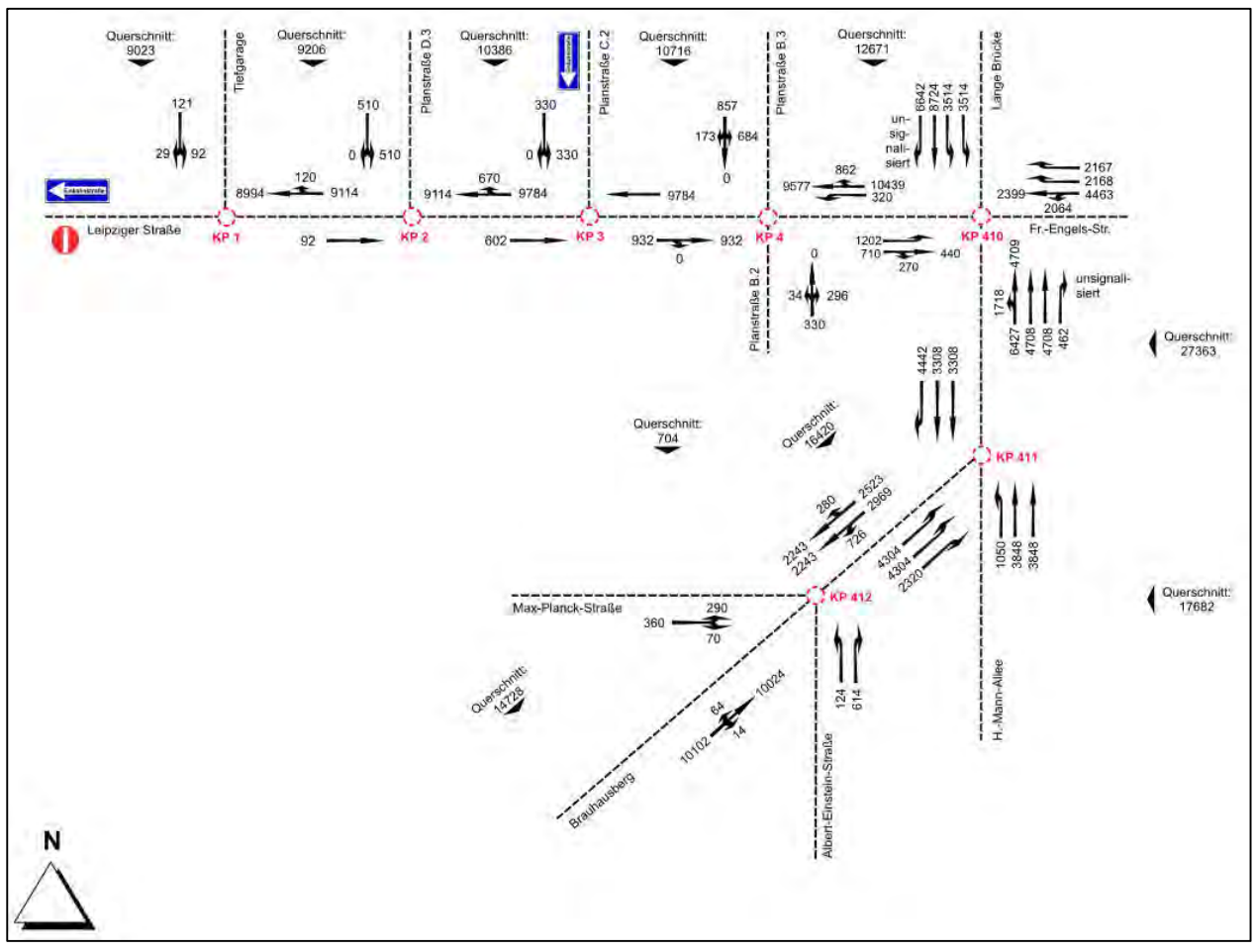


Abbildung 9: Prognose-Gestaltungsvariante 2 2020, Durchschnittliche tägliche Verkehrsstärke (DTV) an Knotenpunkten, alle Angaben in Kfz/24h

Das Verkehrsmodell für die Prognose- Gestaltungsvariante 2 2020 ist in der Abbildung 10 ersichtlich.

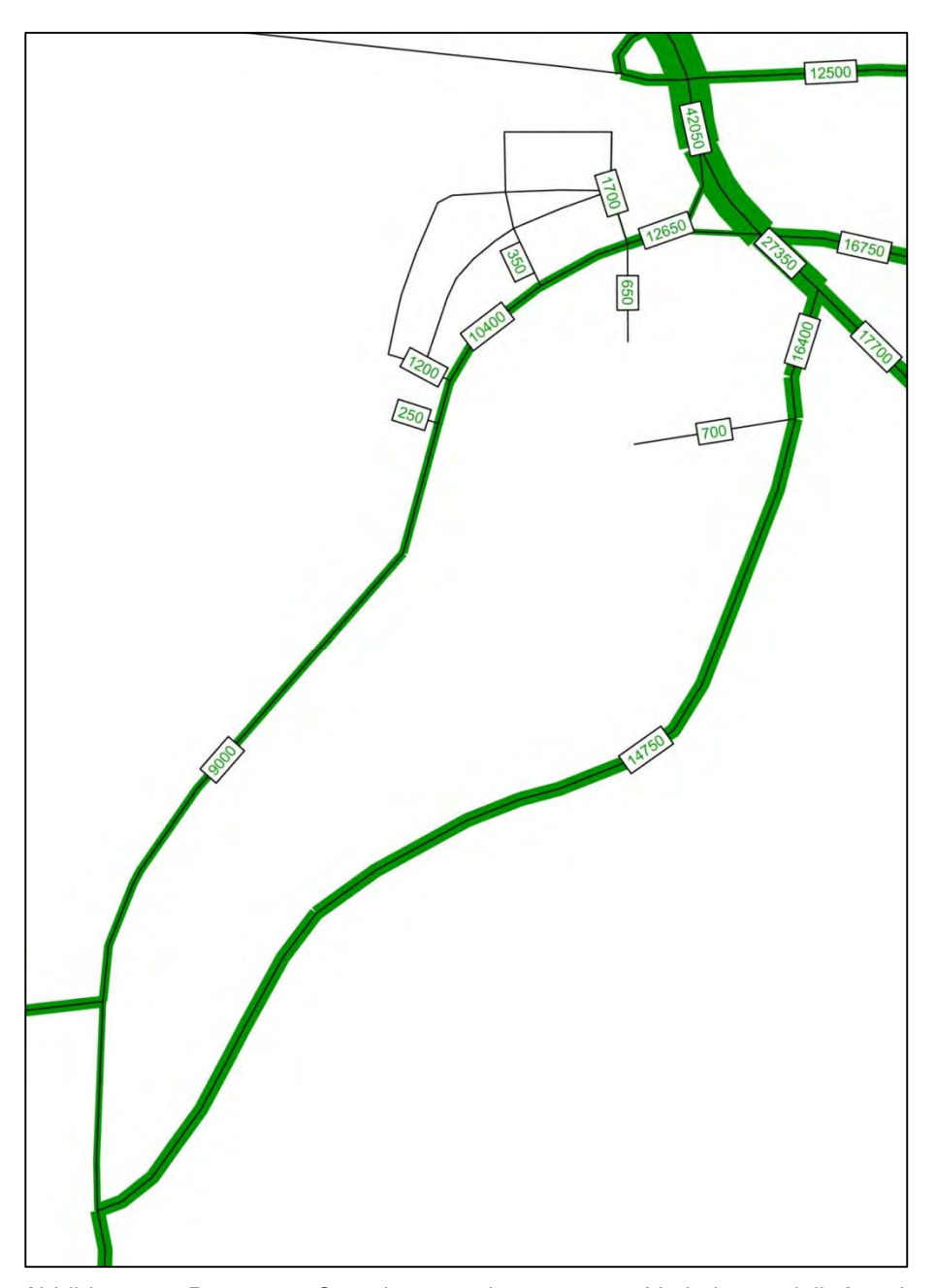


Abbildung 10: Prognose- Gestaltungsvariante 1 2020, Verkehrsmodell, Angaben in Kfz/24h

# 5 METHODIK

# 5.1 Erhebung und Beurteilung der Prognose-Varianten

Die zu beurteilenden Luftschadstoffe sind NO<sub>2</sub> und PM10. Als Grundlage für die Beurteilung der beiden Prognose-Gestaltungsvarianten 1 und 2 werden nachfolgend angeführte, entsprechend den vorangegangenen Untersuchungen [LUTU, 2013] und den zugehörigen Abstimmungen mit dem zuständigen Sachverständigen des LUGV abgestimmte Hintergrundbelastungen herangezogen [VORBELASTUNG, 2013].



Luftfremder Stoff	JMW [µg/m³]
NOx	21
NO <sub>2</sub>	15
PM10	21

Tabelle 8: Auflistung der Hintergrundbelastungen

# 5.2 Modellierung der Eingriffswirkung

Die Berechnung der Jahresmittelwerte erfolgt mit der Software SoundPlan 7.2 als Schnittstelle zu MISKAM.

Die Eingangsparameter sind zum einen meteorologische Daten für ein repräsentatives Jahr (2005) der Messstelle Berlin-Grunewald zur Beurteilung der Anströmsituation im Untersuchungsraum, welche entsprechend den vorangegangenen Untersuchungen [LUTU, 2013] in Absprache mit dem zuständigen Sachverständigen vom LUGV zur Verfügung gestellt wurden.

Zum anderen werden die Verkehrsdaten aus der Prognoseberechnung für die Prognose-Gestaltungsvarianten 1 und 2 im Jahr 2020 herangezogen. Die Fahrzeuge werden nach Personenkraftwagen (PKW) und schweren Lastkraftwagen (LKW) unterschieden, wobei von 06:00 bis 22:00 Uhr mit einen LKW-Anteil von 6% und von 22:00 bis 06:00 mit einen LKW-Anteil von 4% am Gesamtverkehrsaufkommen gerechnet wird. Des Weiteren wurden die LOS-Stufen für beide Varianten und alle Straßenabschnitte für die Tageszeitbereiche FSP (05:00 bis 09:00 Uhr), TAG (09:00 bis 15:00 Uhr), NSP (15:00 bis 18:00 Uhr) und SCH (18:00 bis 05:00 Uhr) detailliert berücksichtigt.

Für alle Ansätze wurde von einer Geländesteigung von 0% ausgegangen. Für beide Gestaltungsvarianten wird 2020 als Bezugsjahr angenommen.

Aus diesen Flottendaten werden mit Hilfe des HBEFA 3.1 die entsprechenden Emissionskonzentrationen für die einzelnen Flottenzusammenstellungen berechnet. Die Emissionsfaktoren entsprechend der LOS-Stufen und die angenommenen Verkehrssituationen sind in Tabelle 9 dargestellt.

Fahrzeug-			EFA [g/(k	m*veh)]
typ		Stule	NO <sub>x</sub>	PM10
		Agglo/Sammel/50/fluessig	0,174083	0,002405
DIZM	Ctuo Compilato	Agglo/Sammel/50/dicht	0,230134	0,002992
PKW	Straßenzüge	Agglo/Sammel/50/gesaettigt	0,215731	0,002706
		Agglo/Sammel/50/stop+go	0,375805	0,005048
	Niele enetue Cen	Agglo/Erschliessung/50/fluessig	0,187126	0,002485
PKW	Nebenstraßen der Leipziger Straße	Agglo/Erschliessung/50/dicht	0,219488	0,002750
		Agglo/Erschliessung/50/gesaettigt	0,222826	0,002917
	Strabe	Agglo/Erschliessung/50/stop+go	0,375805	0,005048
		Agglo/Sammel/50/fluessig	1,336923	0,013731
LIZIM	Ctuo Compiliano	Agglo/Sammel/50/dicht	1,887240	0,020076
LKW	Straßenzüge	Agglo/Sammel/50/gesaettigt	2,044194	0,018660
		Agglo/Sammel/50/stop+go	4,396705	0,038623
	Niele en etue Ciri	Agglo/Erschliessung/50/fluessig	1,804723	0,019929
1 1/2/4/	Nebenstraßen	Agglo/Erschliessung/50/dicht	1,777682	0,019982
LKW	der Leipziger	Agglo/Erschliessung/50/gesaettigt	2,178653	0,022238
	Straße	Agglo/Erschliessung/50/stop+go	4,396705	0,038623

Tabelle 9: Motorbezogene Emissionsfaktoren

Für PM10 ist der Abrieb der Reifen und die Staubaufwirbelung von der Straße ein wesentlicher Faktor für die Emission. Diese Art der Emission und die daraus resultierenden Emissionsfaktoren wurde mit dem Ansatz "Einbindung des HBEFA 3.1 in das FIS Umwelt und Verkehr sowie Neufassung der Emissionsfaktoren für Aufwirbelung und Abrieb des Straßenverkehrs" in einem Bericht von Lohmeyer zusammengefasst. Daraus wurden die nicht-motorspezifischen Faktoren für PM10 entnommen und in der nachfolgenden Tabelle 10 dargestellt.

Einbindung des HBEFA 3.1 in das FIS Um- welt und Verkehr sowie Neufassung der Emissionsfaktoren für Aufwirbelung und Abrieb des Straßenverkehrs	PM10 Auf/Ab für PKW [g/km]	PM10 Auf/Ab für LKW [g/km]	
	T		
Agglo/Sammel/xx/flüssig/	0,026	0,100	
unabhängig von Tempolimit Agglo/Sammel/xx/dicht/			
unabhängig von Tempolimit	0,033	0,350	
Agglo/Sammel/xx/gesättigt/	0,040	0,700	
unabhängig von Tempolimit	0,040	0,700	
Agglo/Sammel/xx/stop+go/	0,045	1,200	
unabhängig von Tempolimit	0,040	1,200	
	1	T	
Agglo/Erschliessung/xx/flüssig	0,033	0,350	
für Tempolimit größer/gleich 50km/h	0,000	0,000	
Agglo/ Erschliessung /xx/dicht	0.035	0,500	
unabhängig von Tempolimit	0,000	0,500	
Agglo/ Erschliessung /xx/gesättigt	0,045	1,200	
unabhängig von Tempolimit	0,040	1,200	
Agglo/ Erschliessung /xx/stop+go	0,045	1,200	
unabhängig von Tempolimit	0,040	1,200	

Tabelle 10: Nicht-motorbezogene Emissionsfaktoren

Aus der Summe der motor- und nicht-motorspezifischen Emissionsfaktoren ergeben sich die Gesamtemissionen für PM10. Diese sind in der nachfolgenden Tabelle 11 angeführt.

Straßenart	Verkehrssituation und LOS- Stufe	PM10 Auf/Ab für PKW [g/km]	PM10 Auf/Ab für LKW [g/km]
	Agglo/Sammel/50/fluessig	0,028	0,114
Ot 0	Agglo/Sammel/50/dicht	0,036	0,370
Straßenzüge	Agglo/Sammel/50/gesaettigt	0,043	0,719
	Agglo/Sammel/50/stop+go	0,050	1,239
	Agglo/Erschliessung/50/fluessig	0,035	0,370
Nebenstraßen	Agglo/Erschliessung/50/dicht	0,038	0,520
der Leipziger	Ag-	0,048	1,222
Straße	glo/Erschliessung/50/gesaettigt		,
	Agglo/Erschliessung/50/stop+go	0,050	1,239

Tabelle 11: Gesamtemission für PM10

Die vorstehend angeführten Emissionsfaktoren werden mit den Verkehrszahlen entsprechend der jeweiligen LOS-Stufe der Prognose-Variante multipliziert und in das Rechenmodell in Form von Straßenquellen eingebunden.

Aus dem MISKAM-Rechenlauf ergeben sich die, durch die Verkehrszahlen der Prognose-Varianten im Gebiet der Leipziger Straße und des Brauhausberges, verursachten JMW-Konzentrationen in den einzelnen Situationen.

# 5.3 Beurteilung der Eingriffswirkung

Die aus den MISKAM-Rechenläufen hervorgehenden JMW-Konzentrationen für die beiden Gestaltungsvarianten (GV#) werden als Rasterschadstoff- und Differenzkarten ausgegeben und die Konzentrationen an den einzelnen Immissionsaufpunkten ausgewertet. Die Differenz zwischen der Prognose-Gestaltungsvariante 1 und 2 wird nach folgender Formel berechnet:

JMW(Differenz) = JMW(Prognose-GV1) – JMW(Prognose-GV2)

JMW(Differenz) = Unterschied zwischen Prognose-GV1 und Prognose-GV2

JMW(Prognose-GV1) = berechneter straßenspezifischer Jahresmittelwert der Prognose-GV1 2020

JMW(Prognose-GV2) = berechneter straßenspezifischer Jahresmittelwert der Prognose-GV2 2020

#### 6 DARSTELLUNG UND BEWERTUNG DER ERGEBNISSE

#### 6.1 Meteorologie

In der hier durchgeführten lufttechnischen Untersuchung wurden entsprechend den vorangegangenen Untersuchungen [LUTU, 2013] die in Absprache mit dem zuständigen Sachverständigen vom LUGV in Form einer Zeitreihe für das repräsentative Jahr 2005 zur Verfügung gestellten meteorologischen Daten herangezogen [METEOROLOGIE, 2013].

Die grafische Darstellung dieser Daten in Form einer kumulierten Häufigkeitsverteilung der Ausbreitungsklassen ist in nachfolgender Abbildung 11 ersichtlich, wobei der Sektor die Windrichtung, der Radius die Häufigkeit und die Farbe die Windgeschwindigkeit wiedergibt.

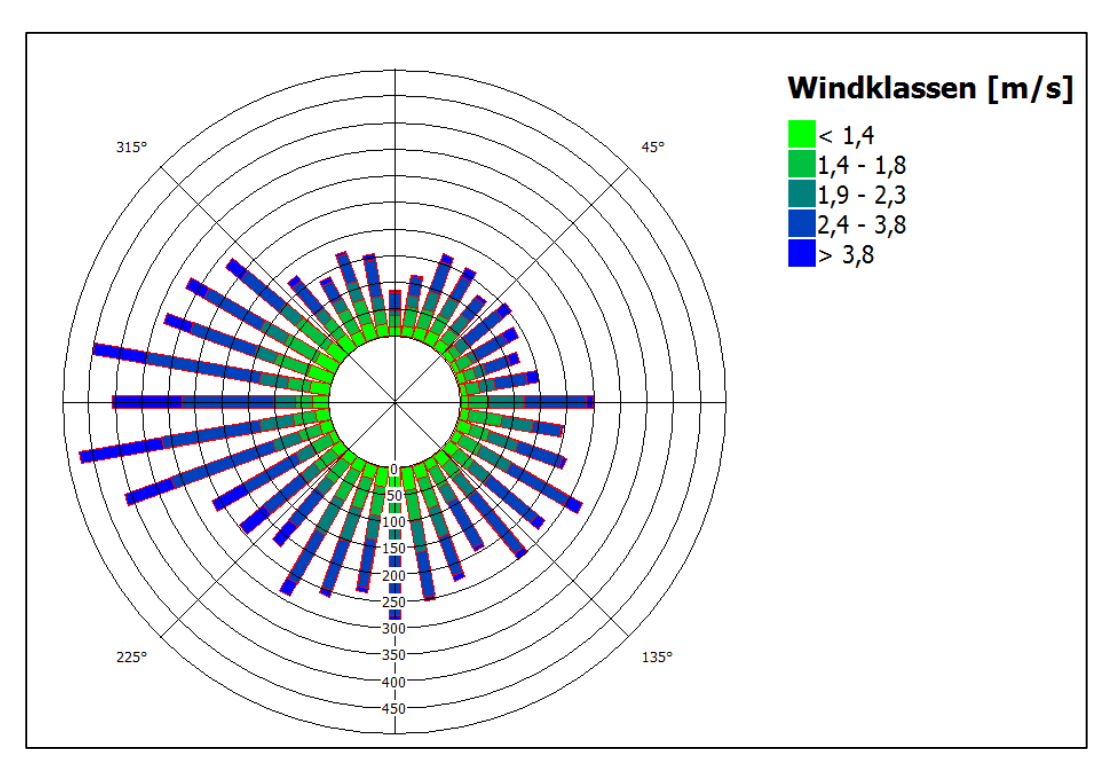


Abbildung 11: Anströmrichtung nach Windgeschwindigkeitsklassen

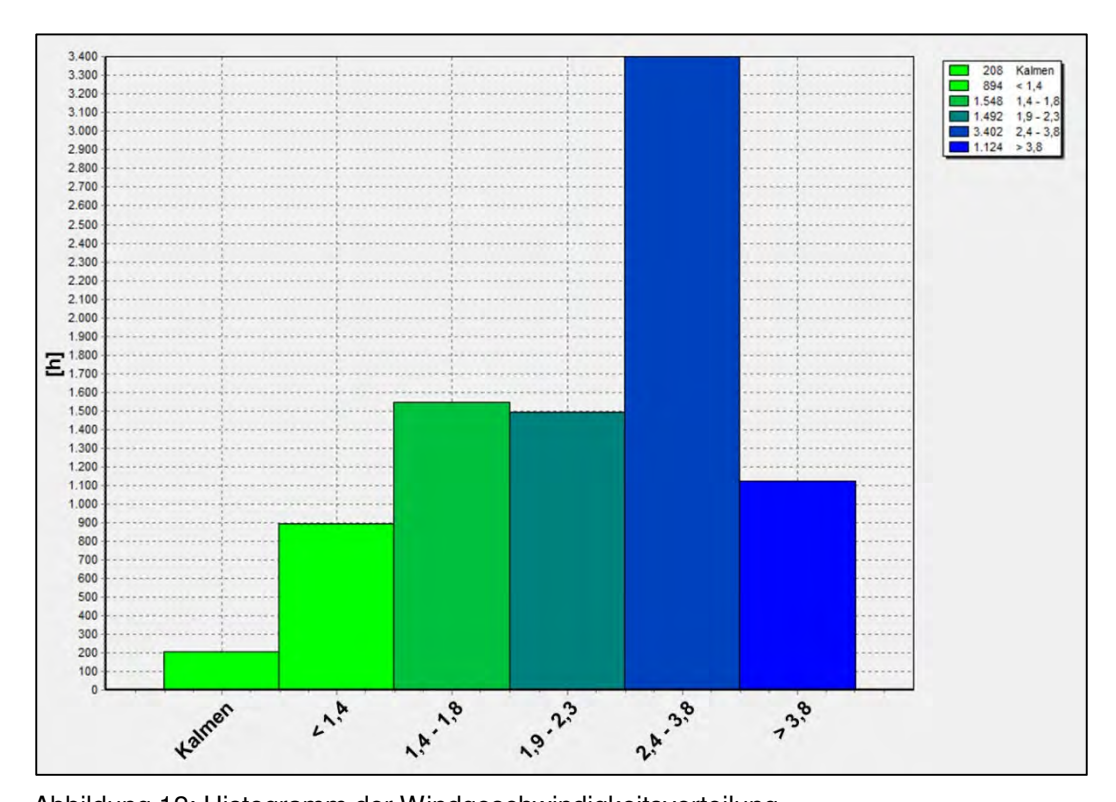


Abbildung 12: Histogramm der Windgeschwindigkeitsverteilung

In der obenstehenden Abbildung 12 ist die Häufigkeitsverteilung der Stabilitätsklassen für jede Stunde des Jahres in Form eines Balkendiagramms dargestellt.

# 6.2 Beurteilung der Prognose-Gestaltungsvarianten

Aus den wesentlichsten medizinischen Erkenntnissen über die Auswirkung von Luftverunreinigungen auf die menschliche Gesundheit mittels epidemiologischer, arbeitsmedizinischer und klinischer Untersuchungen lassen sich mit Ausnahme von potenziell kanzerogenen Substanzen Wirkungsbereiche definieren, in denen mit gesundheitlichen Beeinträchtigungen gerechnet werden muss.

Den Versuch der Verankerung dieser wissenschaftlichen Erkenntnisse in der Deutschen Gesetzgebung stellt die Festlegung von Immissionsgrenzwerten in der TA-Luft und 39.BImSchV [TA & 39.BIMSCHV, 2010] dar.

In der nachfolgenden Tabelle sind die projektrelevanten Grenzwerte gemäß TA-Luft und 39.BImSchV [TA & 39.BIMSCHV, 2010] zusammengefasst.

Luftschadstoff	MW1 (Stundenmittelwert über 1 Stunde)	MW8 (Stundenmittelwert über 8 Stunden)	TMW (Tagesmittelwert)	JMW (Jahresmittelwert)
NO2 Stick-	200 [μg/m³]			40 [μg/m³]
stoffdioxid	200 [μg/… ]			ιο [μθ/]
PM10 Fein-			50 [ug/m3]	40 [ug/m <sup>3</sup> ]
staub			50 [μg/m³]	40 [μg/m³]

Tabelle 12: Immissionsgrenzwerte gemäß TA-Luft und 39.BImSchV

Aus den Ausbreitungsberechnungen ergeben sich die in Tabelle 13 dargestellten Werte für die JMW(Differenz) an den einzelnen Immissionsaufpunkten. Zur Veranschaulichung sind Schadstoffkarten im Anhang ersichtlich.

In der nachfolgenden Tabelle sind die Differenzen der rechnerisch ermittelten immissionsseitigen Zusatzbelastung zwischen den Prognose-Planfällen ersichtlich.

Immissions-	∆ Jahresmittelw	∆ Halbstunden- mittelwerte – Differenz	
aufpunkte	NO <sub>2</sub> [μg/m³]	PM10 [μg/m³]	NO <sub>2</sub> [μg/m³]
-	Δ(Prognose-GV1 –	<b>Δ</b> (Prognose-GV1 –	$\Delta$ (Prognose-GV1 –
	Prognose-GV2)	Prognose-GV2)	Prognose-GV2)
1	-1,5	0,0	-2,3
2	-1,7	0,0	-2,6
3	0,7	0,0	-1,1
4	-0,5	0,1	-0,8
5	-0,5	0,3	-0,8
6	-0,1	0,0	-0,1
7	0,0	0,0	0,0
8	-0,2	0,1	-0,3
9	-0,2	0,1	-0,3
10	0,4	0,3	0,7
11	0,6	0,5	0,9
12	0,4	0,3	0,6

Immissions-	∆ Jahresmittelw	Δ Halbstunden- mittelwerte – Differenz	
aufpunkte	NO <sub>2</sub> [μg/m³] PM10 [μg/m³]		NO <sub>2</sub> [μg/m³]
	$\Delta$ (Prognose-GV1 –	$\Delta$ (Prognose-GV1 –	$\Delta$ (Prognose-GV1 –
	Prognose-GV2)	Prognose-GV2)	Prognose-GV2)
13	-1,2	-0,2	-1,9
14	0,1	0,1	0,2
15	0,1	0,1	0,2
16	-1,1	-0,5	-1,6
17	-0,1	0,0	-0,1
18	-0,4	-0,1	-0,6
19	-0,1	0,0	-0,1
20	-0,1	0,0	-0,1

Tabelle 13: Unterschied der Jahresmittelwerte zwischen den Prognose-Gestaltungsvarianten GV#

In Tabelle 14 sind die Gesamtbelastung der JMW-Berechnung für PM10 und NO2 angeführt.

	Jahresmittelwerte			
Immissions-	NO <sub>2</sub> [μg/m³]		PM10 [μg/m³]	
aufpunkte	Prognose-GV1	Prognose-GV2	Prognose-GV1	Prognose-GV2
1	27,1	28,6	24,2	24,2
2	27,2	28,8	24,2	24,2
3	19,7	20,4	22,1	22,1
4	19,1	19,6	22,0	21,9
5	22,2	22,8	23,1	22,8
6	15,1	15,2	21,1	21,1
7	15,3	15,3	21,1	21,1
8	18,3	18,5	21,9	21,8
9	18,3	18,5	21,8	21,7
10	19,6	19,2	22,2	21,9
11	22,0	21,4	22,9	22,4
12	21,0	20,6	22,5	22,2
13	21,6	22,9	22,7	22,9
14	21,0	20,9	22,7	22,6
15	19,2	19,1	22,2	22,1
16	29,4	30,5	25,4	25,9
17	18,5	18,6	21,9	21,9
18	20,5	20,9	22,4	22,5
19	21,5	21,5	22,8	22,8
20	24,7	24,8	23,9	23,9

Tabelle 14: Jahresmittelwerte für NO<sub>2</sub> und PM10 für die Prognose-Gestaltungsvarianten GV#

Nachfolgend sind die rechnerisch ermittelten Überschreitungstage des Tagesmittelwerts (TMW) - Grenzwertes dargestellt, es sind bis zu 35 Überschreitungstage zulässig.

	PM10 – TMW - Überschreitungstage		
Immissions- aufpunkte	Prognose- GV1	Prognose- GV2	
1	17	17	
2	17	17	
3	12	12	
4	12	12	
5	15	14	
6	10	10	
7	10	10	
8	12	12	
9	12	12	
10	13	12	
11	14	13	
12	13	13	
13	14	14	
14	14	14	
15	13	12	
16	21	22	
17	12	12	
18	13	13	
19	14	14	
20	17	17	

Tabelle 15: Überschreitungstage Tagesmittelwert für PM10 für die Prognose-Gestaltungsvarianten GV#

Die Ergebnisse der lufttechnischen Untersuchung zeigen, dass für beide Prognose-Gestaltungsvarianten keine Grenzwertüberschreitungen nach TA-Luft und 39.BImSchV hinsichtlich PM10 und NO<sub>2</sub> zu erwarten sind, dementsprechend werden rechnerisch an allen Immissionssaufpunkten sämtliche Grenzwerte bzw. zulässigen Grenzwertüberschreitungstage eingehalten.

Wie in den Rasterschadstoffkarten im Anhang ersichtlich, ist generell die immissionsseitige Zusatzbelastung der Prognose-Gestaltungsvariante 1 in drei Knotenarmen des Leipziger Dreiecks (in der Leipziger Straße, der Langen Brücke und der Friedrich-Engels-Straße) geringfügig höher, als in der Prognose-Gestaltungsvariante 2. Im südlichen Knotenarm des Leipziger Dreiecks (Heinrich-Mann-Allee) ist die immissionsseitige Zusatzbelastung in der Prognose-Gestaltungsvariante 1 jedoch etwas geringer, als in der Prognose-Gestaltungsvariante 2.

Für PM10 zeigen die Rasterschadstoffkarten im Anhang zwar geringfügige Differenzen, jedoch weichen die berechneten Ergebnisse an den jeweiligen Immissionsaufpunkten nur maximal 0,5μg/m³ voneinander ab, daher sind die beiden Prognose-Planfälle hinsichtlich der zusätzlichen Feinstaubbelastung als gleichwertig zu betrachten.

Für NO<sub>2</sub> zeigen die Rasterschadstoffkarten im Anhang etwas deutlichere Unterschiede zwischen den Prognose-Gestaltungsvarianten, die rechnerisch ermittelten Ergebnisse an den jeweiligen Immissionsaufpunkten variieren mit einer maximalen Differenz des Jahresmittelwertes von 1,7μg/m³ bzw. des Tagesmittelwertes von 2,6μg/m³ ebenfalls nur in geringem Maße.

Die Situierung der Immissionspunkte ist in den Rasterschadstoffkarten im Anhang ersichtlich. Darin ist ebenfalls der höchste Jahresmittelwert (JMW) der relevanten Luftschicht von 1,0 bis 2,0m des jeweiligen luftfremden Stoffes ersichtlich.

#### 7 Verzeichnis der Quellen

[B-PLAN\_36-1, 2014] Landeshauptstadt Potsdam, Fachbereich Stadtplanung und Stadter-

neuerung, Bereich Verbindliche Bauleitplanung, Bebauungsplan Nr. 36-1, "Speicherstadt / Leipziger Straße", Entwurf zur Beteiligung der

Öffentlichkeit an der Bauleitplanung, 26.02.2014

[B-PLAN\_36-2, 2014] Landeshauptstadt Potsdam, Fachbereich Stadtplanung und Stadter-

neuerung, Bereich Verbindliche Bauleitplanung, Bebauungsplan Nr. 36-2, "Leipziger Straße / Brauhausberg", Entwurf zur Beteiligung der

Öffentlichkeit an der Bauleitplanung, 31.03.2014

[ERSCHLIESSUNG, 2011] StadtPlan Ingenieur GmbH, Äußere und innere Verkehrserschließung

der Speicherstadt in Potsdam, Potsdam, April 2011

[LUTU, 2013] Dr. Brenner Ingenieurgesellschaft mbH, Retter & Partner Ziviltechni-

ker Ges.m.b.H., Lufttechnische Untersuchen zur Bewertung der Luftschadstoffbelastung an der Leipziger Straße und deren Auswirkun-

gen auf die nördliche Speicherstadt Potsdam vom Juli 2013

[MASTERPLAN, 2010] Krier - Kohl Ges. v. Architekten mbH mit GfP Gesellschaft für Pla-

nung, im Auftrag der Landeshauptstadt Potsdam, Potsdam Spei-

cherstadt Brauhausberg, Masterplan, Berlin, 2010

[METEOROLOGIE, 2013] Landesamt für Umwelt, Gesundheit und Verbraucherschutz (LUGV),

Sachverständiger: Hr. Friedrich, E-Mail "[13026] Leipziger Straße in Potsdam - Luftschadstoffuntersuchung, Meteorologische Daten", vom

01. und 02.08.2013

[PTV VISUM, 2013] PTV Planung Transport Verkehr AG, Software für Verkehrsanalysen,

Verkehrsprognosen und GIS-orientierte Datenverwaltung, Karlsruhe,

2013

[STEK, 2011] Stadtverwaltung Potsdam, Bereich Stadtentwicklung - Verkehrsent-

wicklung, Stadtentwicklungskonzept Verkehr für die Landeshauptstadt Potsdam, Fortschreibung des Verkehrsentwicklungsplanes bis

2025, Potsdam, Dezember 2011

[SUV-UIC, 2008] STADT + VERKEHR Ingenieurbüro Terfort, UIC Umwelt Ingenieur

Consult Werder GmbH, Masterplan Speicherstadt Potsdam (2. Bearbeitungsstufe), Verkehrs- und lärmtechnischer Fachbeitrag, Endbe-

richt, Potsdam, Juni 2008

[TA & 39.BIMSCHV, 2010] Erste Allgemeine Verwaltungsvorschrift zum Bundes- Immissions-

schutzgesetz (Technische Anleitung zur Reinhaltung der Luft - TA Luft), Bundesministerium für Umwelt, Naturschutz und Reaktorsicherheit, 24.07.2002 und 39. Verordnung zur Durchführung des Bundes-Immissionsschutzgesetzes, Verordnung über Luftqualitätsstan-

dards und Emissionshöchstmengen (39. Blm-SchV), 02.08.2010



[VERKEHRSKONZ., 2011] DR. BRENNER INGENIEURGESELLSCHAFT MBH, STADT +

VERKEHR Ingenieurbüro Terfort, Erarbeitung einer integrativen verkehrlichen und städtebaulichen Konzeption für das Leipziger Dreieck in der Landeshauptstadt Potsdam, Endbericht, Potsdam, 26.10.2011

[VORBELASTUNG, 2013] DR. BRENNER INGENIEURGESELLSCHAFT MBH, in Abstimmung mit dem Sachverständiger Hr. Friedrich des LUGV, E-Mail "[13026]

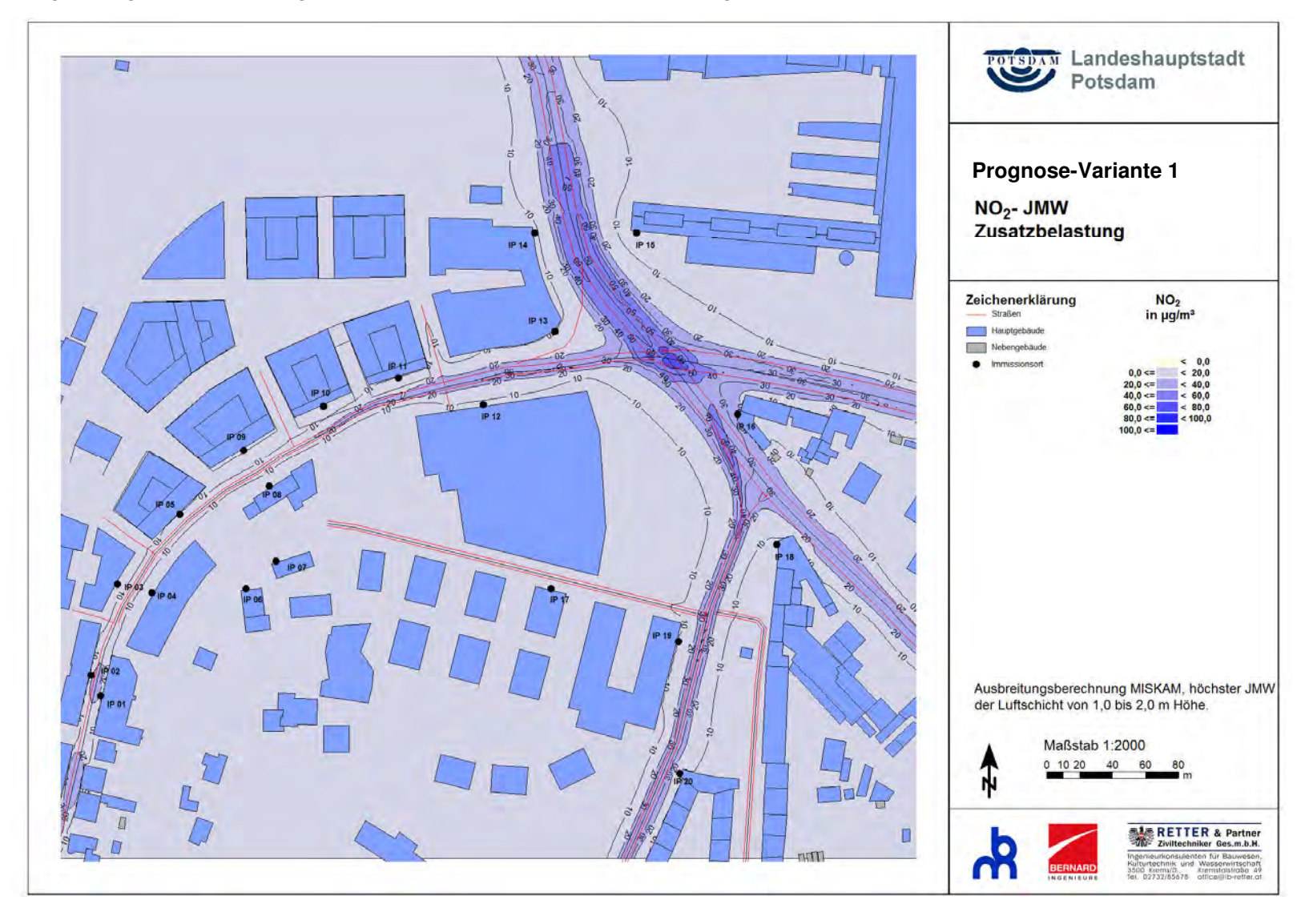
Leipziger Straße in Potsdam - Luftschadstoffuntersuchung, Meteoro-

logische Daten", vom 24.07.2013

DR. BRENNER INGENIEURGESELLSCHAFT MBH

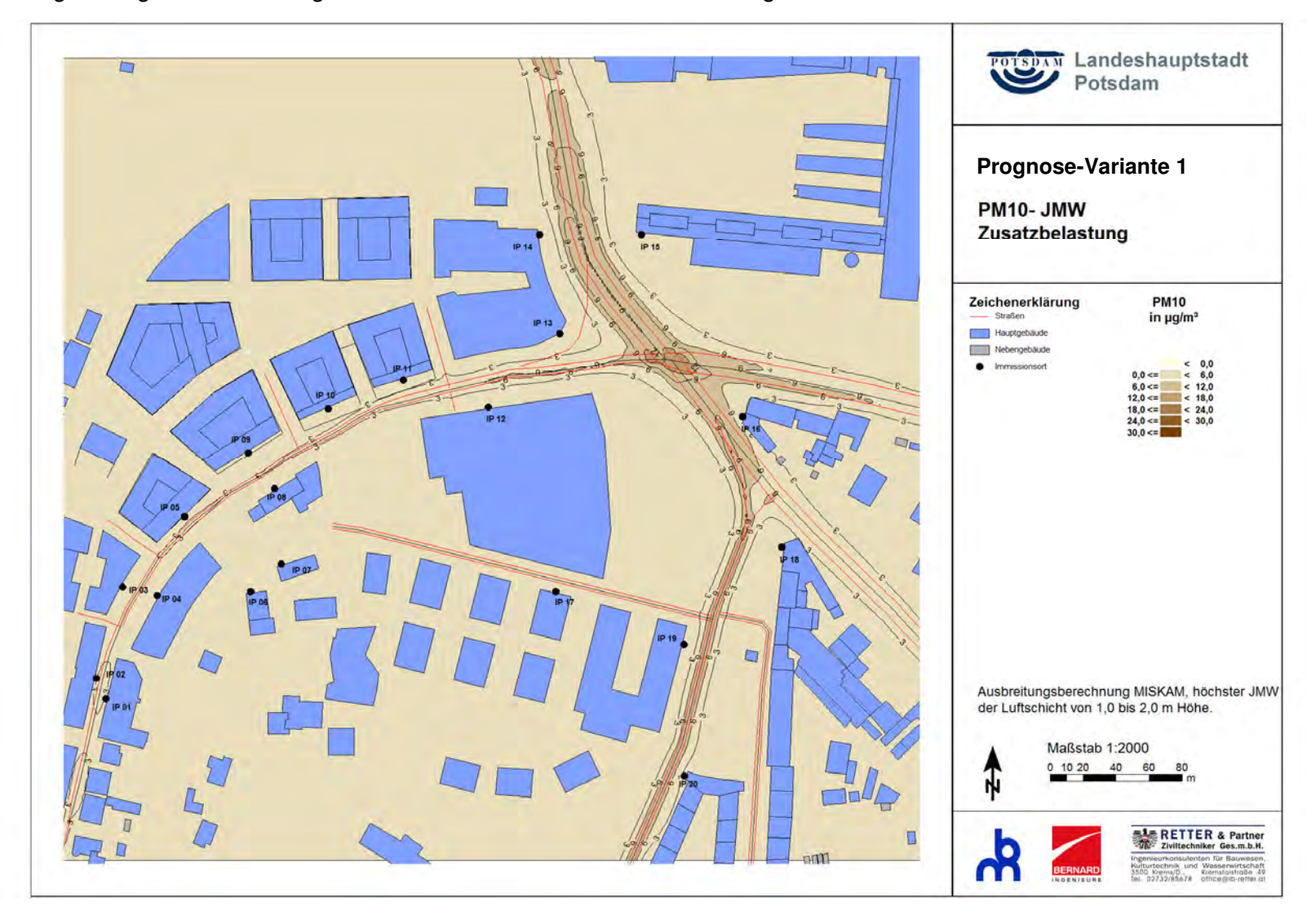
Dipl.-Ing. Matthias Eirich

Anhang I: Prognose Gestaltungsvariante 1 – NO<sub>2</sub>-JMW Zusatzbelastung

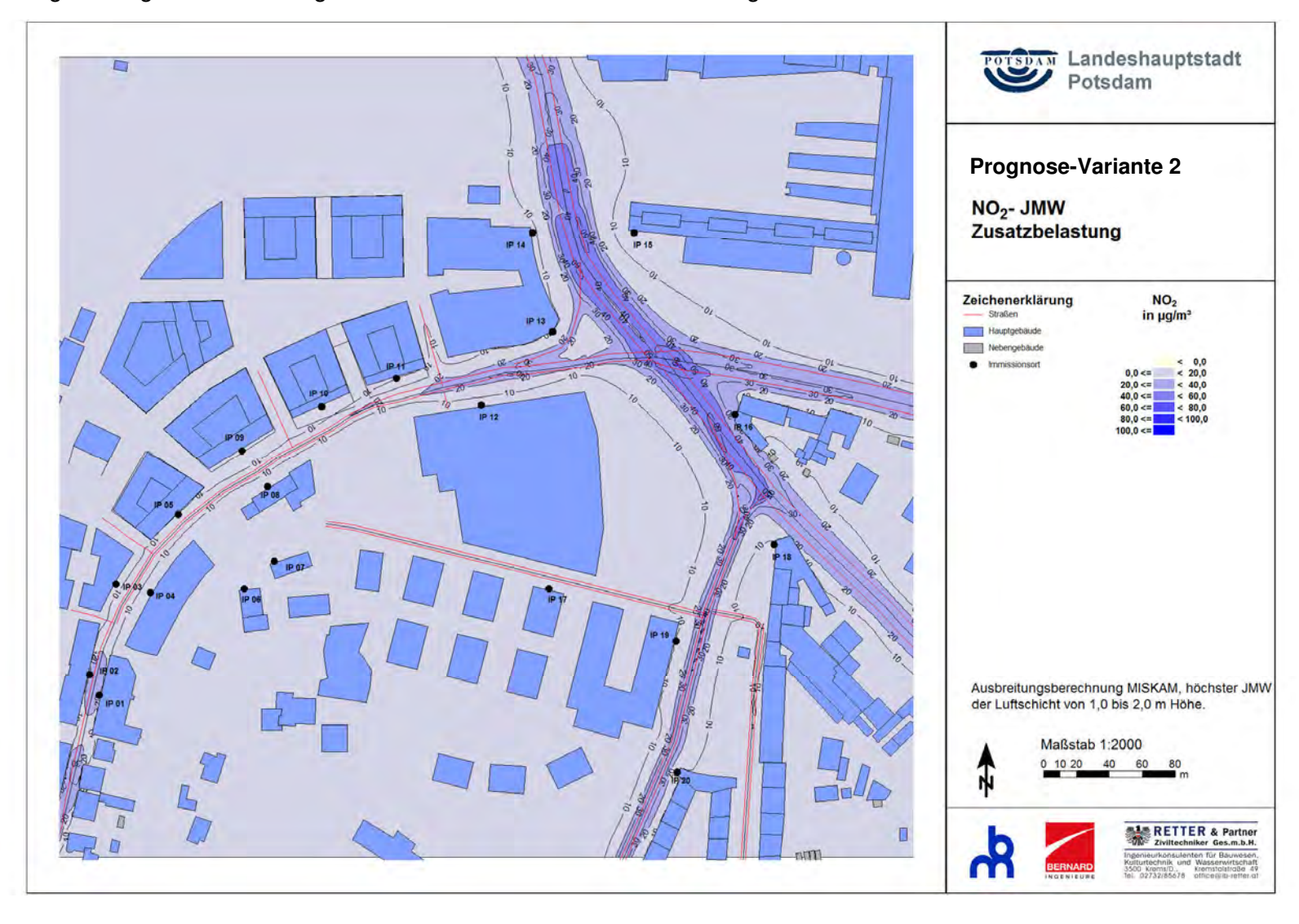




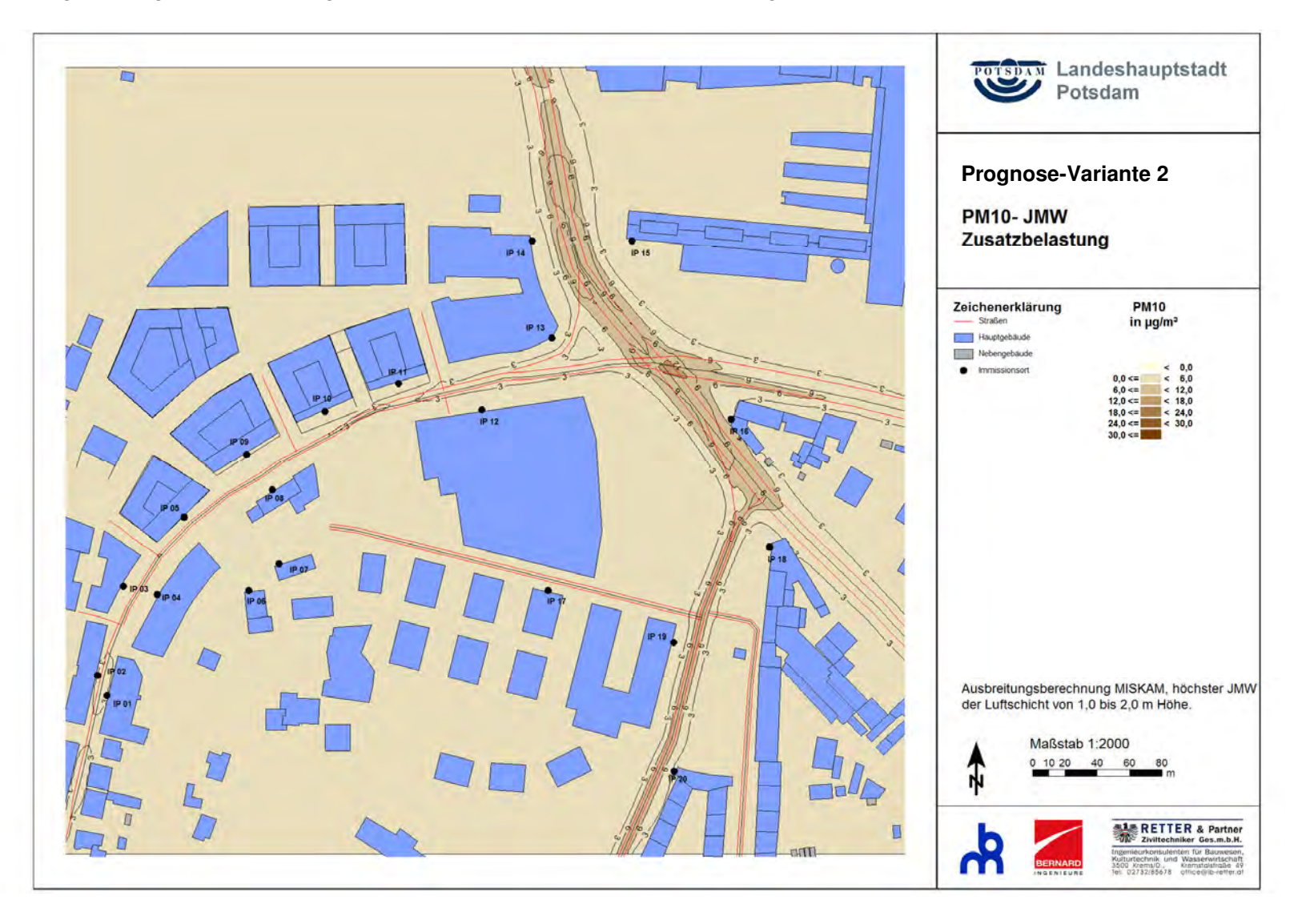
Anhang II: Prognose Gestaltungsvariante 1 – PM10-JMW Zusatzbelastung



Anhang III: Prognose Gestaltungsvariante 2 – NO<sub>2</sub>-JMW Zusatzbelastung



Anhang IV: Prognose Gestaltungsvariante 2 – PM10-JMW Zusatzbelastung





Anhang V: Unterschiede zwischen Prognose Gestaltungsvariante 1 und 2 bzgl. NO2-JMW Zusatzbelastung



Anhang VI: Unterschiede zwischen Prognose Gestaltungsvariante 1 und 2 bzgl. PM10-JMW Zusatzbelastung

